

**INVENTAIRE ARCHÉOLOGIQUE (2015)
PONT DE LA RIVIÈRE MISTASSINI, ROUTE 169.
PROJET 154-08-0424**

**DIRECTION TERRITORIALE DU SAGUENAY-LAC-SAINT-JEAN-
CHIBOUGAMAU**



Illustration de la page couverture :

⇒ Projet 154-08-0424, archéologues au travail

MINISTÈRE DES TRANSPORTS, DE LA MOBILITÉ DURABLE ET DE
L'ÉLECTRIFICATION DES TRANSPORTS

**INVENTAIRE ARCHÉOLOGIQUE (2015).
PONT DE LA RIVIÈRE MISTASSINI, ROUTE 169.
PROJET 154-08-0424**

DIRECTION TERRITORIALE DU SAGUENAY-LAC-SAINT-JEAN-
CHIBOUGAMAU

N° de dossier, ministère des Transports : dossier 1104-14-AD01

Permis de recherche archéologique au Québec : 15-LANE-09

Titulaire du permis de recherche archéologique : Érik Langevin

Rapport préparé par :

Subarctique Enr.
1428, rue des Maristes
Chicoutimi (Québec) G7H 4K7
Téléphone : 418-693-5444
Adresse courriel : subarctique@hotmail.com

Ministère des Transports, de la Mobilité durable et de l'Électrification des transports
Direction de la programmation, des ressources territoriales
Service de la coordination des affaires autochtones, de l'archéologie et du Plan Nord
Direction régionale du Saguenay-Lac-Saint-Jean-Chibougamau

Février 2016

Sommaire

Le mandat confié à Subarctique Enr. par le Ministère des Transports, de la Mobilité durable et de l'Électrification des Transports (MTMDET) a donné lieu à la réalisation d'un inventaire archéologique dans le cadre d'un projet de déplacement d'un pont surplombant la rivière Mistassini dans la municipalité de Dolbeau-Mistassini située à l'intérieur des limites de la direction territoriale du Saguenay-Lac-Saint-Jean-Chibougamau du MTMDET (tableau 1).

Projet	Municipalité	Nature des travaux routiers	Type d'intervention	Superficie de l'emprise à potentiel archéologique (m ²)	Nombre de sondages réalisés	Date de réalisation	Résultat
154-08-0424	Dolbeau-Mistassini	Déplacement d'un pont	Inventaire	~ 11 809	57	27 novembre au 2 décembre 2015	Positif

Tableau 1 : Sommaire de l'intervention archéologique

Les limites du projet 154-08-0424, dont une portion d'environ 11 809 m² a été considérée comme recelant un potentiel archéologique, ont fait l'objet d'une inspection visuelle. De cette superficie, environ 700 m² n'ont pu être expertisés par sondages en raison des conditions climatiques hivernales. Cinquante-sept sondages exploratoires ont été effectués, parmi lesquels 24 se sont avérés positifs.

Aucun site archéologique n'était connu dans les limites de l'emprise de ce projet, mais l'inventaire a donné lieu à l'identification de deux nouveaux sites.

Il est recommandé de procéder à des travaux archéologiques supplémentaires avant le début des travaux sur le terrain.

Table des matières

Sommaire	v
Équipe de réalisation	vi
Liste des figures	viii
Liste des photos	ix
Liste des tableaux	x
1. Introduction	1
2. Localisation générale	2
3. Méthodologie générale	4
3.1 Inventaire	4
3.2 Découverte de biens ou de sites archéologiques	5
3.2.1 Évaluation de la découverte : Contexte d'occupation préhistorique	6
3.2.2 Évaluation de la découverte : Contexte d'occupation historique	7
3.3.3 Découverte de sépulture humaine	8
3.3.4 Délimitation d'un site archéologique confirmé ou à confirmer	9
3.3.5 Relevé et plan d'un site archéologique confirmé	9
3.3.6 Collecte des données archéologiques	10
4. Compte rendu de la recherche	12
4.1 Description du projet 154-08-0424, municipalité de Dolbeau-Mistassini	12
4.1.1 Contexte environnemental	22
4.1.2 État des connaissances historiques et archéologiques sur le sous-bassin de la rivière Mistassini (<i>Kagouia</i>)	34
5. Résultats de l'intervention archéologique	46
5.1 Sud-ouest de la rivière Mistassini (DfFb-5)	49
5.1.1 Type de vestiges	50
5.1.2 Quantité de vestige et caractérisation typologique	50
5.1.3 Provenance du matériel	52
5.1.4 Distribution des vestiges	53
5.2 Nord-est de la rivière Mistassini (DfFb-6)	57
5.2.1 Type de vestiges	57
5.2.2 Nombre et caractérisation des vestiges	58
5.2.3 Provenance du matériel	58
5.2.4 Distribution des vestiges	59
6. Discussion	61
7. Recommandations	64
8. Conclusion	66
Bibliographie	67
Annexe 1 : Catalogue des objets	
Annexe 2 : Fiches de site	
Annexe 3 : Planches photos et catalogue	
Annexe 4 : Photos de terrain et catalogue	
Annexe 5 : Plans stratigraphiques	
Annexe 6 : Notes de terrain	

Liste des figures

Figure 1 : Localisation générale du projet 154-00-0514.....	3
Figure 2 : Projet 154-00-0514, plan de localisation de l'emprise et du secteur d'intervention situé dans la portion nord-est	13
Figure 3 : Projet 154-00-0514, plan de localisation de l'emprise et du secteur d'intervention situé dans la portion sud-ouest	14
Figure 4 : Projet 154-08-0424, contexte géographique et vue aérienne de l'emprise	21
Figure 5 : Limites du sous-bassin de la rivière Mistassini.....	25
Figure 6 : Principaux affluents de la rivière Mistassini	26
Figure 7 : Projet 154-08-0424, portrait géologique des secteurs inventoriés	28
Figure 8 : Projet 154-08-0424, portrait pédologique du secteur à l'étude	29
Figure 9 : Projet 154-08-0424, sondage test # 1, portion sud-ouest	32
Figure 10 : Projet 154-08-0424, sondage test # 2, portion nord-est	33
Figure 11 : Distribution des sites archéologiques répertoriés sur le sous-bassin de la rivière Mistassini.....	35
Figure 12 : Projet 154-08-0424, agrandi d'un plan transmit par les Trappistes5	37
Figure 13 : Carte de Jolliet 1679.....	39
Figure 14 : Extrait d'une carte de l'atelier Delisle (1703).....	40
Figure 15 : Extrait d'une carte de Pierre Laure du lac Saint-Jean (1733).....	41
Figure 16 : Distribution des sites archéologiques et des interventions effectués à l'intérieur du centroïde de cinq km du projet 154-08-0424.....	45
Figure 17 : Projet 154-08-0424, répartition des sondages exploratoires situés à l'intérieur de la section archéologique de l'emprise de la portion sud-ouest, Direction territoriale du Saguenay-Lac-Saint-Jean-Chibougamau	47
Figure 18 : Projet 154-08-0424, répartition des sondages exploratoire situés à l'intérieur de la section archéologique de l'emprise de la portion nord-est. Direction territoriale du Saguenay-Lac-Saint-Jean-Chibougamau	48
Figure 19 : Projet 154-08-0424, localisation des deux stations de la portion sud-ouest de l'emprise	55
Figure 20 : Projet 154-08-0424, projet 154-08-0424, localisation des sondages positifs préhistorique de la portion nord-est de l'emprise	60
Figure 21 : Projet 154-08-0424, aires d'occupation présumées des sites DfFb 5 et DfFb-6.....	65

Liste des photos

Photo 1 : Projet 154-08-0424, secteur boisé situé à l'intérieur de la section archéologique de la portion nord-est (Mistassini), direction nord-ouest.....	15
Photo 2 : Projet 154-08-0424, secteur boisé situé à l'intérieur de la section archéologique de l'emprise de la portion sud-ouest (Dolbeau), direction nord-est.....	15
Photo 3 : Projet 154-08-0424, bas de pente abrupte située à l'intérieur de la section archéologique de l'emprise de la portion sud-ouest (Dolbeau) et archéologues au travail, direction nord	16
Photo 4 : Projet 154-08-0424, embouchure de la rivière Mistassini, aperçu de la section archéologique de la portion sud-ouest (Dolbeau), direction ouest	16
Photo 5 : Projet 154-08-0424, embouchure de la rivière Mistassini, aperçu de la section archéologique de la portion nord-est (Mistassini), direction est.....	17
Photo 6 : Projet 154-08-0424, plage de sable située à l'intérieur de l'emprise de la section archéologique de la portion sud-ouest (Dolbeau), direction ouest	17
Photo 7 : Projet 154-08-0424, plage de sable et galets arrondis située à l'intérieur de la section archéologique de l'emprise de la portion sud-ouest (Dolbeau), direction sud-sud-ouest	18
Photo 8 : Projet 154-08-0424, plage enneigée située à l'intérieur de la section archéologique de l'emprise de la portion nord-est (Mistassini), direction nord	18
Photo 9 : Projet 154-08-0424, milieu humide situé à l'intérieur de la section archéologique de l'emprise de la portion nord-est (Mistassini), direction est	19
Photo 10 : Projet 154-08-0424, affleurement rocheux situé à l'intérieur de la section archéologique de l'emprise de la portion sud-ouest (Dolbeau), direction nord.....	19
Photo 11 : Projet 154-08-0424, affleurement rocheux situé à l'intérieur de la section archéologique de l'emprise de la portion nord-est (Mistassini), direction nord	20
Photo 12 : Projet 154-08-0424, chemin d'accès situé à l'intérieur de la section archéologique de l'emprise de la portion sud-ouest (Dolbeau), direction sud-ouest.....	20

Liste des tableaux

Tableau 1 : Sommaire de l'intervention archéologique	v
Tableau 2 : Projet inventorié	1
Tableau 3 : Principaux affluents de la rivière Mistassini	27
Tableau 4 : Bassins hydrographiques accessibles depuis le bassin de la rivière Mistassini	27
Tableau 5 : Description des ordres de sols mis au jour à l'intérieur de l'emprise du projet 154-08-0424	30
Tableau 6: Description des ordres de sols mis au jour à l'intérieur de l'emprise du projet 154-08-0424 (suite)	31
Tableau 7 : Sites archéologiques associés au bassin hydrographique de la rivière Mistassini	34
Tableau 8 : Interventions archéologiques réalisées dans un rayon de 5 km du centroïde du projet 154-08-0424	44
Tableau 9 : Projet 154-08-0424, synthèse de l'inventaire archéologique	49
Tableau 10 : Typologie des artefacts	51
Tableau 11 : Technique de taille présumée	51
Tableau 12 : Nombre et pourcentage de matière première de nature lithique présente mis au jour lors de l'inventaire de DfFb-15 (2015)	53
Tableau 13 : Site DfFb-5, type de vestiges et distribution par sondages	56
Tableau 14 : Site DfFb-5, distribution verticale des vestiges	57
Tableau 15 : Site DfFb-6, type de vestiges et distribution par sondages	58
Tableau 16 : Site DfFb-6, technique de taille présumée	58

1. Introduction

Ce rapport présente les résultats d'un inventaire archéologique effectué pour le compte du ministère des Transports, de la Mobilité durable et de l'Électrification des transports (MTMDET) sur le territoire de la Direction générale du Saguenay-Lac-Saint-Jean-Chibougamau (tableau 2) lors de l'automne 2015. L'inventaire archéologique s'inscrit dans le cadre de l'application de la *Loi sur le Patrimoine culturel*, de la *Loi sur le Développement Durable* et l'approche préventive mise de l'avant par le MTMDET afin de protéger le patrimoine archéologique du Québec. L'objectif de l'inventaire était de vérifier la présence ou l'absence de sites archéologiques à l'intérieur de l'emprise du projet de construction (incluant les zones de dépôts et les servitudes). En cas de découverte archéologique, le mandat consistait à localiser, à délimiter, à évaluer et à identifier d'éventuels sites archéologiques dont l'intégrité pourrait être menacée par la réalisation des travaux de construction.

Projet	Municipalité	Localisation et description	Superficie à potentiel archéologique (m²)
154-08-0424	Dolbeau-Mistassini	Construction d'un nouveau pont surplombant la rivière Mistassini	~ 11 809

Tableau 2 : Projet inventorié

Le mandat confié à Subarctique Enr. était le suivant :

- Effectuer les expertises archéologiques nécessaires à l'identification de tout objet constituant un vestige témoignant de l'occupation humaine dans les limites du projet 154-08-0424
- Signaler, documenter et évaluer les objets découverts dans le but de déterminer s'il s'agit d'un bien ou d'un site archéologique
- Évaluer quantitativement et qualitativement tout site connu ou mis au jour à l'intérieur des limites du projet
- Mettre en place des mesures de protection temporaires et recommander des mesures de protection des biens et des sites archéologiques à mettre en place suite au présent mandat afin de réduire les impacts relatifs à la présence de patrimoine archéologique dans les limites du projet

2. Localisation générale

Cette campagne d'inventaire réalisée au cours de l'automne 2015 a eu lieu à l'intérieur de la région administrative du Saguenay-Lac-Saint-Jean (figure 1). Cette région, qui couvre environ 95 893 km², se compose de milliers de lacs et de rivières qui, à travers un réseau constitué de 24 sous bassins hydrographiques, se déversent dans la rivière Saguenay, principal cours d'eau de ce bassin hydrographique et second tributaire d'importance du fleuve Saint-Laurent. Faisant partie de la région physiographique du Bouclier canadien, la majeure partie du territoire régional est occupée par de vastes forêts. Par le fait même, les principaux écoumènes d'habitation de la région prennent place le long ou à proximité de la rivière Saguenay ainsi qu'autour de son principal tributaire, le Lac Saint-Jean. La grande variabilité des écosystèmes de cette région se traduit par la présence de sept régions écologiques et d'une multitude de sous-régions écologiques se retrouvant en entier ou en partie à l'intérieur des limites régionales.

Dans le cadre de cette intervention, l'inventaire archéologique effectué n'a touché qu'à une seule région écologique, soit celle de la Plaine du Lac Saint-Jean et du Saguenay et, plus précisément, au district écologique P003 de l'unité de paysage régional de la Plaine du Lac Saint-Jean (Blouin et Berger 2003: 2.3). Cette région écologique ainsi que le district écologique qui nous concerne se retrouvent à l'intérieur de la zone tempérée nordique, à la sous-zone de la forêt mélangée ainsi qu'au domaine bioclimatique de la sapinière à bouleau jaune et du sous-domaine bioclimatique de l'Est (Ibid. 2.4). L'environnement physique et bioclimatique du secteur d'intervention, ainsi que les variations locales rencontrées sont présentées plus en détail dans le chapitre 4.

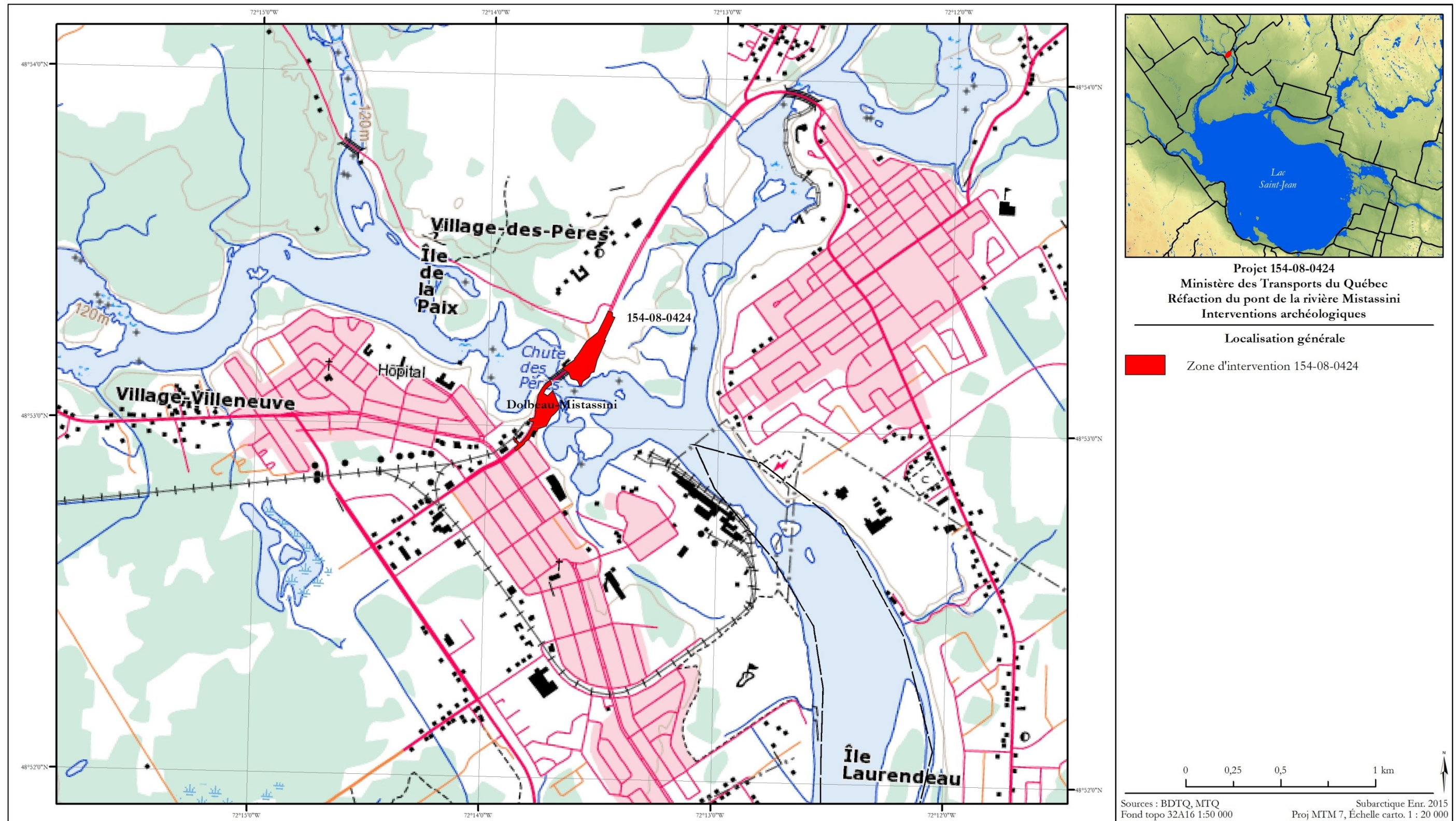


Figure 1 : Localisation générale du projet 154-00-0514, Direction territoriale du Saguenay-Lac-Saint-Jean-Chibougamau

3. Méthodologie générale¹

3.1 Inventaire

La méthodologie appliquée à l'aspect inventaire du projet est celle prescrite par le MTMDET. Ainsi :

- Tout inventaire archéologique doit prioriser la méthode d'échantillonnage par sondages excavés manuellement, à la pelle, en respectant la méthodologie de base prescrite par le Ministère. Lorsque le contexte de l'intervention ne permet pas l'usage de cette méthode, une évaluation des besoins doit être réalisée et une méthodologie alternative pour l'accomplissement de l'inventaire, proposée. Le Ministère peut autoriser un prestataire de services à recourir à un support mécanique, telle une rétro excavatrice à godet édenté, un appareil de labour, ou toute autre technique jugée nécessaire.
- Toutes les superficies propices doivent faire l'objet de sondages disposés systématiquement en quinconce et espacés entre eux d'une distance approximative de 15 m ou selon les stipulations du Ministère. Chaque sondage doit avoir une dimension minimale de 30 cm X 30 cm (surface de 900 cm²).
- Le contenu excavé dans chaque sondage doit être vérifié minutieusement à la truelle et le couvert végétal et organique superficiel, déstructuré lorsqu'il est susceptible de renfermer des biens ou des sites archéologiques. Lorsque les excavations sont réalisées dans un secteur ayant fait l'objet d'un aménagement paysagé (ex. : halte routière, parterre de fleurs, propriété à usage résidentiel, etc.), le couvert végétal doit être prélevé de manière à permettre la remise en état des lieux et le terrain doit être nettoyé une fois les sols remis en place. Lorsque le contexte le permet, le Ministère recommande l'usage de bâches disposées de manière à isoler les déblais d'excavations des aménagements à préserver.
- Le responsable d'intervention peut diminuer l'intervalle entre les sondages lorsqu'il juge le risque de découverte archéologique élevé. Une autorisation préalable du Ministère doit toutefois être obtenue si un tel changement nécessite un dépassement de coût.
- Chaque sondage doit être comptabilisé en distinguant les positifs des négatifs et la répartition par secteur.

¹ La méthodologie générale est celle prescrite par le ministère des Transports, de la Mobilité durable et de l'Électrification des transports à l'intérieur du devis technique.

- Des sondages tests doivent être réalisés et être d'une dimension de 50 cm X 50 cm et d'une profondeur minimale de 80 cm, dans la mesure où la nature des sols le permet. Toutes les informations pertinentes pour chacun d'eux doivent être consignées. De plus, un croquis stratigraphique doit être produit, et les coordonnées géographiques, la marge de précision de l'appareil GPS ainsi que l'altitude (NMM) de chaque sondage test, notées.
- Lorsqu'un mandat se déroule dans les limites d'un projet ne comprenant aucun aménagement routier existant, les sondages tests doivent être exécutés tous les 500 m le long du centre ligne du projet et chaque fois qu'une différence significative est observée au niveau des sols ou de l'environnement physique.
- Lorsqu'un mandat se déroule dans les limites d'un aménagement routier, un sondage test doit être effectué pour chaque secteur archéologique identifié et chaque fois qu'une différence significative au niveau des sols et du terrain est observée.
- Les secteurs dont les sols sont irrémédiablement perturbés par des activités anthropiques ou des bouleversements divers, les secteurs en fortes pentes, les milieux humides et les affleurements rocheux qui ne sont pas propices à la réalisation de sondages doivent systématiquement faire l'objet d'une inspection visuelle dans la mesure où l'environnement physique le permet.

3.2 Découverte de biens ou de sites archéologiques

En cas de découverte de biens ou de site archéologique, la méthodologie applicable est également celle prescrite par le MTMDET. Ainsi :

- Tout bien ou site archéologique susceptible de représenter une contrainte archéologique et de subir des préjudices lors des travaux doit être signalé au Ministère à l'intérieur d'un délai de 24 heures. Les informations transmises doivent inclure la superficie et les coordonnées géographiques approximatives du site. La mise en place d'un point de référence et l'évaluation qualitative et quantitative de la découverte doivent immédiatement être réalisées. Cette évaluation nécessite généralement des sondages complémentaires.
- Le dégagement des biens archéologiques mobiliers ou immobiliers doit se faire manuellement, à la truelle. Toute autre méthodologie doit être prévue au devis ou au programme de travail.
- Les données prélevées lors d'une évaluation doivent permettre au Ministère de produire une estimation détaillée de la découverte et des coûts d'application des

recommandations et mesures d'atténuation émises, ce qui comprend au moins les éléments suivants :

- Estimation de la superficie du site;
- Estimation du nombre, de la superficie et de la profondeur des aires d'occupation;
- Estimation du volume en mètres cubes (m³) de l'ensemble des niveaux d'occupation;
- Estimation du nombre d'artefacts au mètre carré;
- Description des structures observées;
- Estimation de la dimension des structures;
- Type d'intervention requise pour lever toute contrainte à la réalisation des travaux du Ministère;
- Nature des expertises requises;
- Équipe professionnelle et technique requise pour la réalisation des expertises;
- Nombre de jours requis pour la réalisation des expertises;
- Logistique matérielle requise pour la réalisation des expertises;
- Évaluation et description des contraintes techniques prévisibles.

Pour chaque type de découverte, les exigences techniques générales stipulées ci-dessous doivent être appliquées.

3.2.1 Évaluation de la découverte : Contexte d'occupation préhistorique

Si la nature des biens ou des sites archéologiques s'avèrent être de nature préhistorique, le MTMDET prévoit une méthodologie particulière. Ainsi:

- Lorsque des biens archéologiques préhistoriques sont mis au jour à l'intérieur d'un sondage, l'évaluation doit se poursuivre à la truelle et le sondage doit être agrandi pour atteindre une dimension minimale de 50 cm X 50 cm (surface de 2 500 cm²). Des sondages complémentaires de même dimension doivent ensuite être réalisés en périphérie du sondage positif initial. L'ensemble des sols excavés dans le sondage initial et dans les sondages complémentaires doit être tamisé à travers une grille perforée aux 3 mm (1/8").
- Les sondages complémentaires doivent être pratiqués selon la procédure suivante :

- a) Réaliser une série de sondages complémentaires disposés en croix à une distance maximale de 3 m de centre à centre autour du sondage positif initial. Répéter la manœuvre autour de chaque sondage positif;
- b) Lorsqu'un sondage complémentaire est négatif, réaliser un nouveau sondage à 1 m de centre à centre en direction du dernier sondage positif. Si le nouveau sondage est positif, reprendre la procédure de l'étape a) à partir du sondage de la ligne de 3 m. Si le sondage est négatif, réaliser une série de sondages complémentaires disposés en croix à une distance maximale de 5 m de centre en centre en direction de la périphérie du site archéologique confirmé ou à confirmer;
- c) Si le sondage de 5 m est positif, reprendre la procédure de l'étape a) à partir du dernier sondage de 3 m. S'il est négatif, cesser la réalisation de sondages sur cette ligne.

3.2.2 Évaluation de la découverte : Contexte d'occupation historique

Si la nature des biens ou des sites archéologiques s'avèrent être de nature historique, le MTMDET prévoit une méthodologie particulière. Ainsi:

- Lorsque des biens archéologiques historiques sont mis au jour à l'intérieur d'un sondage, l'évaluation doit se poursuivre à la truelle et le sondage doit être agrandi pour atteindre une dimension minimale de 50 cm X 50 cm (surface de 2 500 cm²). Des sondages complémentaires de même dimension doivent être ensuite réalisés en périphérie du sondage positif initial. L'ensemble des sols excavés dans le sondage initial et dans les sondages complémentaires doit être tamisé à travers une grille perforée aux 6 mm (1/4").
- Lorsque des vestiges architecturaux sont mis au jour dans les limites d'un projet, le prestataire de services doit réaliser une tranchée ayant une longueur minimale de 1 m par une largeur minimale de 50 cm, perpendiculairement à chaque vestige dans le but de déterminer sa hauteur et sa largeur ainsi que la profondeur des fondations. Les dimensions de la tranchée doivent être ajustées en fonction de la dimension du vestige de manière à obtenir un dégagement de 50 cm X 50 cm de part et d'autre de celui-ci.
- La périphérie de chaque vestige observé doit faire l'objet d'une série de sondages complémentaires réalisés à une distance maximale de 5 m. Par la suite, le prestataire de services doit appliquer la procédure relative à la réalisation des sondages complémentaires.

- Des sondages complémentaires doivent être pratiqués en périphérie du sondage positif selon la procédure suivante :
 - a) Réaliser une série de sondages complémentaires disposés en croix à une distance maximale de 5 m de centre à centre autour du sondage positif. Répéter la manœuvre autour de chaque sondage positif;
 - b) Lorsqu'un sondage complémentaire est négatif, réaliser un nouveau sondage à 2 m de centre à centre en direction du dernier sondage positif. Si le nouveau sondage est positif, reprendre la procédure de l'étape a) à partir du sondage de la ligne de 5 m. Lorsque le sondage est négatif, réaliser une série de sondages complémentaires disposés en croix à une distance maximale de 10 m de centre en centre en direction de la périphérie du site archéologique confirmé ou à confirmer.
 - c) Lorsque le sondage de 10 m est positif, reprendre la procédure à l'étape a) à partir du dernier sondage de 5 m. S'il est négatif, cesser la réalisation de sondages sur cette ligne.

3.3.3 Découverte de sépulture humaine

Advenant la découverte d'une sépulture humaine, le MTMDET prévoit une méthodologie particulière. Ainsi:

- Toute information théorique relative à la présence possible de sépulture à l'intérieur des limites d'un projet doit être transmise au Ministère sans délai.
- Lors de découverte de restes humains ou de matériel funéraire faite dans le cadre d'une intervention pratique, le Ministère doit être avisé sans délai et, à moins d'avis contraire de la part du Ministère, tout bien archéologique associé à une sépulture humaine doit être laissé en place.
- La procédure suivante doit être appliquée lors de toute évaluation de sépulture humaine :
 - Localiser et piqueter les limites de chaque fosse identifiée ou l'aire où des sépultures sont présentes ou présumées présentes, selon les données disponibles;
 - Décrire les données stratigraphiques recueillies (dessin de coupe, compacité des sols, granulométrie, inclusions, etc.);
 - Définir le nombre minimal et maximal d'individus présents dans l'aire expertisée selon les informations collectées;

- Définir l'état de conservation présumé ou réel des restes humains d'après les informations disponibles.

3.3.4 Délimitation d'un site archéologique confirmé ou à confirmer

Suite à l'éventuelle découverte d'un bien ou d'un site archéologique, le prestataire se doit d'en délimiter la superficie. Ainsi, le ministère stipule que :

- La périphérie de tout site archéologique dont la présence est confirmée ou à confirmer à l'intérieur des limites d'un projet doit être localisée et délimitée avec précision. À moins d'une stipulation contraire de la part du Ministère, des piquets d'arpentage doivent être implantés tous les 5 m au maximum, là où la nature du terrain le permet. Aucun marquage au sol ne peut être fait sur la chaussée sans l'autorisation préalable de l'ingénieur chargé de projet du Ministère.
- Lorsqu'un piquet peut représenter une contrainte à la circulation ou que les caractéristiques du terrain ne permettent pas sa mise en place, il doit être relocalisé à l'endroit propice le plus près et comporter une inscription indiquant la distance du site archéologique confirmé ou à confirmer et sa direction par rapport au piquet.
- Le Ministère exige aussi qu'un piquet soit implanté au centre de tous les sondages positifs associés à un site archéologique confirmé ou à confirmer.
- Tout piquet implanté doit comporter un code d'identification temporaire du site archéologique ou son code Borden. Chaque sondage positif doit être identifié par un numéro unique inscrit sur le piquet.

3.3.5 Relevé et plan d'un site archéologique confirmé

Advenant que la découverte d'un site archéologique soit confirmée, le ministère prévoit que :

- Pour tout site archéologique confirmé à l'intérieur des limites d'un projet, un relevé précis et détaillé des éléments observés doit être réalisé et l'ensemble des données suivantes doit être reporté sur les feuillets appropriés du plan de construction du projet (état des lieux, plan de levée, etc.) :
 - Les sondages positifs;
 - Les sondages négatifs en périphérie des sondages positifs;
 - Les interventions archéologiques en aire ouverte;
 - Le quadrillage implanté;

- Les vestiges mobiliers ou immobiliers observés;
 - Les données générales sur l'organisation de l'espace.
- Lorsqu'aucun plan de construction approprié n'est disponible, un plan précis du site archéologique comprenant tous les éléments exigés ci-dessus ainsi que les aménagements anthropiques contemporains observés dans les limites du site (maison, trottoir, utilité publique, etc.) doit être produit.

3.3.6 Collecte des données archéologiques

La mise au jour et le traitement de différents artefacts préhistoriques doivent également suivre une méthodologie particulière. Ainsi, le ministère prévoit que :

- Lors d'une intervention dans un contexte d'occupation préhistorique, tous les éléments suivants doivent être localisés avec précision, horizontalement à partir des parois nord et est (X et Y) et verticalement à partir d'un repère topométrique (Z) :
- Outil et fragment d'outil;
 - Tesson de poterie;
 - Éclat et fragment d'éclat lithique individuel dont l'un des axes est égal ou supérieur à 20 mm;
 - Charbon de bois;
 - Concentration d'éclats, de poterie, de charbon, d'os, ou de tout autre bien archéologique pertinent;
 - Pierres, à moins que leur présence soit attribuable à un facteur naturel hors de tout doute et qu'elle ne soit associée à aucune activité anthropique perceptible;
 - Écofact;
 - Aménagements et structures (trous de piquet, foyers, etc.) et autres biens archéologiques associés;
 - Autres biens archéologiques.
- Le volume de chaque concentration doit être estimé et consigné.
- Lorsque des biens archéologiques préhistoriques sont collectés en surface, les outils et fragments d'outils associés à un site archéologique confirmé ou à confirmer doivent être localisés individuellement avec précision. Il en va de même pour les foyers et

autres vestiges visibles à la surface. Les éclats et déchets de taille doivent être prélevés par quadrant, ce qui peut nécessiter l'implantation d'un quadrillage de l'aire d'occupation expertisée.

- Tous les biens archéologiques doivent être localisés selon la couche archéologique de provenance.
- Indifféremment du contexte d'occupation, un relevé stratigraphique de tous les sondages positifs ainsi que des croquis stratigraphiques types des sondages négatifs en périphérie doivent être produits. De plus, une description détaillée du cadre environnemental local doit être faite pour tout site identifié dans les limites d'un projet.
- Toutes les données requises pour compléter les documents de suivi contractuel exigés dans le présent document doivent être collectées. Les échantillons de sol, de charbon de bois, de matériel organique ou toute autre matière nécessaire à la compréhension d'éventuels sites archéologiques doivent être prélevés adéquatement. Le cas échéant, le Centre de conservation du Québec (CCQ) doit être contacté afin de déterminer la méthodologie appropriée pour le prélèvement et la conservation des artefacts.
- Les données collectées sur le terrain doivent inclure l'ensemble des mesures et autres informations nécessaires à la compréhension des biens archéologiques, du site et de son contexte, ainsi qu'à la production des plans exigés pour la production du rapport de recherche.

4. Compte rendu de la recherche

4.1 Description du projet 154-08-0424, municipalité de Dolbeau-Mistassini

Dans le cadre du projet 154-08-0424, les travaux projetés par le MTMDET ont pour objectif la construction d'un nouveau pont à trois voies surplombant la rivière Mistassini dans la municipalité de Dolbeau-Mistassini (figures 2 et 3).

L'emprise du projet à l'étude se situait, tant sur le versant nord-est (Mistassini) que sud-ouest (Dolbeau) de la rivière Mistassini, au nord et au sud de la route 169. La portion jugée à potentiel archéologique se limitait quant à elle sur la bordure sud de la route 169, à l'intérieur de zones boisées (photos 1 et 2) situées au bas de pentes abruptes (photos 3 à 5). Ces portions de l'emprise, parce qu'elles constituent naturellement les rives nord-est et sud-ouest de l'embouchure de la rivière, présentent des plages de sables et de galets arrondis, de même que des affleurements rocheux parfois escarpés (photos 6 et 7). En périphérie de la section nord-est (secteur Mistassini) du projet 154-08-0424, a été observé un milieu humide (photo 8). Des affleurements rocheux étaient observables sur les deux sections de l'emprise jugée à potentiel archéologique (photos 9 et 10). Finalement, des sentiers traversant les deux sections d'emprises permettent d'accéder à ces dernières (photo 11). Au total, sur les deux versants de la rivière, c'est une superficie sondable approximative de 6 486 m² sur un total de 7186 m² qui fut expertisée.

Compte tenu de la situation climatique qui a prévalu au moment de l'intervention et de découverte rapide de vestiges archéologiques, il a été convenu en accord avec le chargé d'activité du MTMDET d'adapter la méthodologie afin de maximiser la prise d'informations. Quoiqu'il en soit, il s'est avéré impossible d'inventorier la totalité de la portion « à potentiel archéologique » de la zone d'emprise (figure 4). C'est ainsi que sur le versant sud-ouest de la rivière Mistassini, environ 700 m² n'ont pu être sondés. La portion sondée a été inventoriée par sondages manuels de 30 x 30 cm ou 50 x 50 cm, en plus de la réalisation de sondages tests de 50 x 50 cm et d'une inspection visuelle systématique.

Dès la découverte de vestiges archéologiques, la méthodologie prescrite par le MTMDET dans le cas de découvertes archéologiques a été appliquée avec des sondages aux 3 m pour être adaptée par la suite compte tenu des conditions climatiques. L'intervention archéologique ayant eu lieu dans le cadre du projet 154-08-0424 a été réalisée entre le 27 novembre 2015 et le 2 décembre 2015 par une équipe de cinq techniciens, d'un assistant et d'un responsable d'intervention.

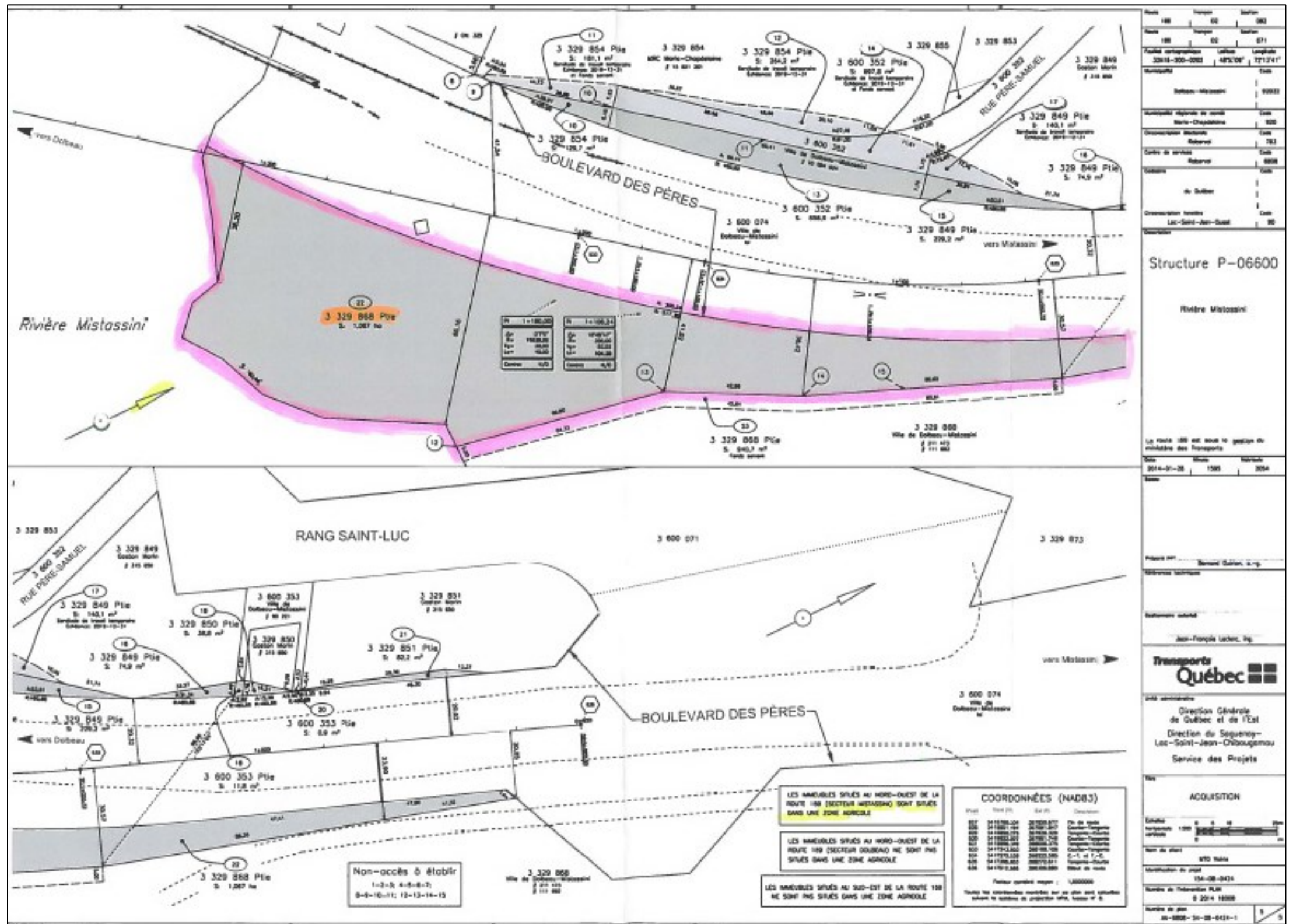


Figure 2 : Projet 154-00-0514, plan de localisation de l'emprise et du secteur d'intervention situé dans la portion nord-est, Direction territoriale du Saguenay-Lac-Saint-Jean-Chibougamau

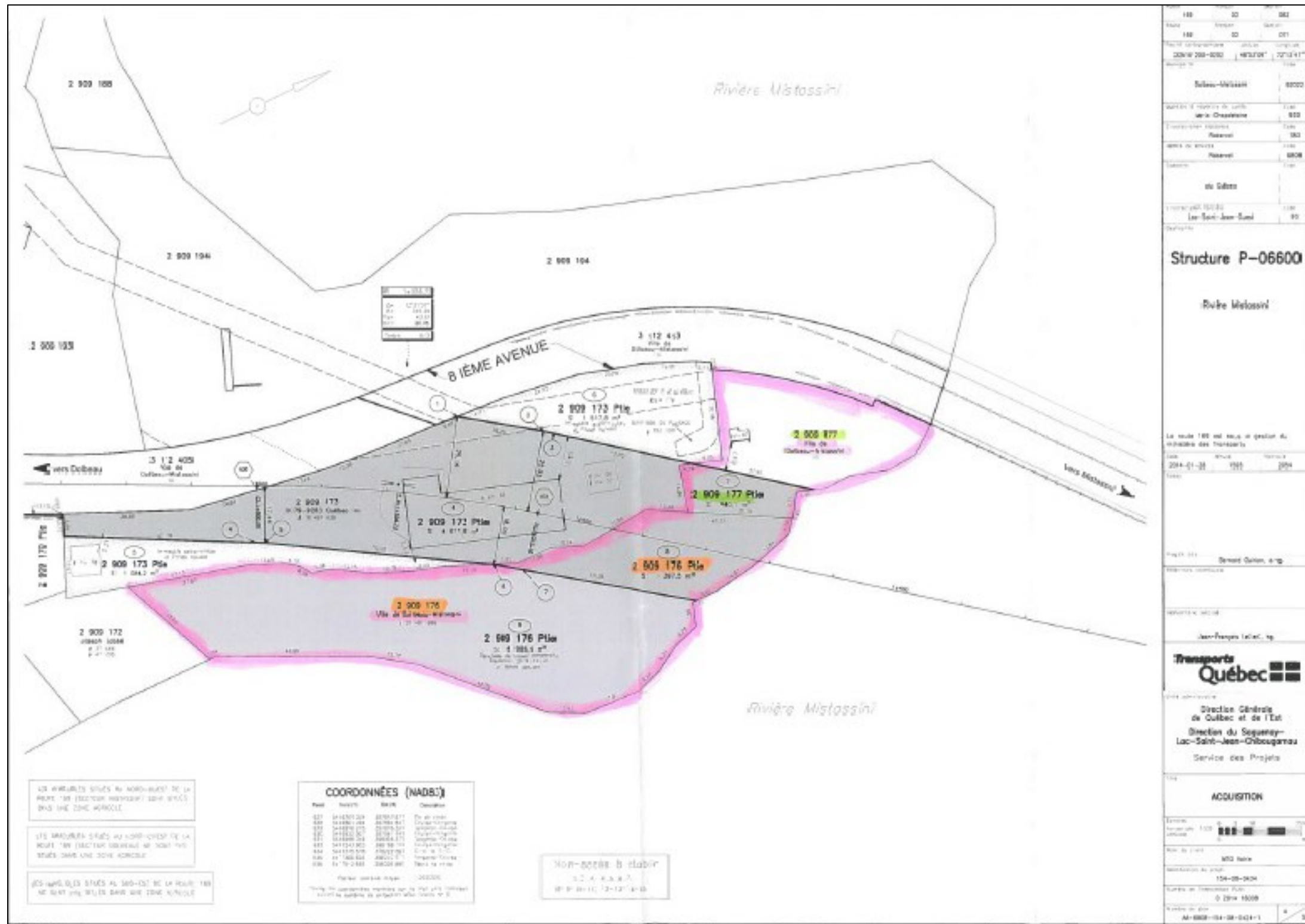


Figure 3: Projet 154-00-0514, plan de localisation de l'emprise et du secteur d'intervention situé dans la portion sud-ouest, Direction territoriale du Saguenay-Lac-Saint-Jean-Chibougamau



Photo 1 : Projet 154-08-0424, secteur boisé situé à l'intérieur de la section archéologique de la portion nord-est (Mistassini), direction nord-ouest



Photo 2 : Projet 154-08-0424, secteur boisé situé à l'intérieur de la section archéologique de l'emprise de la portion sud-ouest (Dolbeau), direction nord-est



Photo 3 : Projet 154-08-0424, bas de pente abrupte située à l'intérieur de la section archéologique de l'emprise de la portion sud-ouest (Dolbeau) et archéologues au travail, direction nord



Photo 4 : Projet 154-08-0424, embouchure de la rivière Mistassini, aperçu de la section archéologique de la portion sud-ouest (Dolbeau), direction ouest



Photo 5 : Projet 154-08-0424, embouchure de la rivière Mistassini, aperçu de la section archéologique de la portion nord-est (Mistassini), direction est



Photo 6 : Projet 154-08-0424, plage de sable située à l'intérieur de l'emprise de la section archéologique de la portion sud-ouest (Dolbeau), direction ouest



Photo 7 : Projet 154-08-0424, plage de sable et galets arrondis située à l'intérieur de la section archéologique de l'emprise de la portion sud-ouest (Dolbeau), direction sud-sud-ouest



Photo 8 : Projet 154-08-0424, plage enneigée située à l'intérieur de la section archéologique de l'emprise de la portion nord-est (Mistassini), direction nord



Photo 9 : Projet 154-08-0424, milieu humide situé à l'intérieur de la section archéologique de l'emprise de la portion nord-est (Mistassini), direction est



Photo 10 : Projet 154-08-0424, affleurement rocheux situé à l'intérieur de la section archéologique de l'emprise de la portion sud-ouest (Dolbeau), direction nord



Photo 11 : Projet 154-08-0424, affleurement rocheux situé à l'intérieur de la section archéologique de l'emprise de la portion nord-est (Mistassini), direction nord



Photo 12 : Projet 154-08-0424, chemin d'accès situé à l'intérieur de la section archéologique de l'emprise de la portion sud-ouest (Dolbeau), direction sud-ouest



Figure 4 : Projet 154-08-0424, contexte géographique et vue aérienne de l'emprise totale, Direction territoriale du Saguenay-Lac-Saint-Jean-Chibougamau

4.1.1 Contexte environnemental

Le secteur à l'étude se situe à l'intérieur des limites municipales de la ville de Dolbeau-Mistassini située quant à elle à l'intérieur de la MRC de Maria-Chapdelaine. De plus, le secteur à l'étude est également situé à un peu moins de 35 kilomètres de la communauté Innu de Mashteuiatsh. Finalement, l'emprise du projet à l'étude se situe à l'intérieur d'un seul bassin hydrographique, celui de la rivière Saguenay, et plus précisément à l'intérieur de son sous bassin de la rivière Mistassini. La zone à l'étude, d'un rayon de 5 km depuis le point central du projet ne dépasse pas les limites de ces différents ensembles géographiques.

Hydrographie

Le bassin de la rivière Saguenay d'une superficie de 88 000 km², constitue le deuxième bassin en importance au Québec, après celui de la rivière des Outaouais (Atlas électronique du Saguenay Lac Saint-Jean). Il est cerné, à l'est par le fleuve Saint-Laurent, à l'ouest par le bassin de la rivière Saint-Maurice et, au nord, par les bassins orientaux de la Baie James (Langevin 2015). De manière générale, les eaux de ce bassin hydrographique s'écoulent le long de trois axes principaux. Le premier en importance suit un axe nord-sud qui draine à lui seul une superficie de plus de 64 500 km² (Marsan et Associés 1983). Le second axe s'écoule sur un axe évoluant du sud vers le nord et son troisième évolue sous un axe ouest-est.

Le sous-bassin hydrographique de la rivière Mistassini est le second plus vaste sous-bassin hydrographique de la rivière Saguenay (après celui de la rivière Péribonka) avec une superficie d'environ 22 000 km². La rivière prend sa source à 310 km au nord du lac Saint-Jean, à moins de 4 km du lac à l'eau Claire qui alimente la rivière Témiscamie et à environ 50 km à l'est du lac Albanel (figure 5). La rivière Mistassini compte au moins deux affluents importants : les rivières Mistassibi (cours de 478 km pour un bassin de 12 357 km²) et Ouasiemsca (Patchikamistik) (cours de 200 km pour un bassin de 3446 km²) (figure 6, tableau 3). Ses autres affluents majeurs sont, du nord au sud, les rivières: des Framboises, aux Papillons, Samaqua et aux Rats. Pour la plupart, ces affluents montrent un cours nord-sud.

De sa source jusqu'au lac Saint-Jean, la rivière est tantôt paresseuse, tantôt rapide avec de nombreux portages obligés. Peu de lacs de grande superficie se trouvent dans ce périmètre. En fait, si ce n'est du lac aux Rats (superficie d'environ 93 km²) et du lac Pirabe (superficie d'environ 86 km²), qui est un élargissement naturel de la rivière du même nom, aucun des lacs alimentant l'un ou l'autre des affluents de la rivière Mistassini ne montre une superficie supérieure à 50 km². Depuis la rivière Mistassini, il était aisé

pour ceux qui en parcouraient les eaux d'avoir accès à quelques autres bassins hydrographiques d'importance (tableau 4).

Région écologique

Le secteur à l'étude appartient à la région écologique des Plaines du Lac Saint-Jean et du Saguenay ainsi qu'à l'unité de paysage régional de la Plaine du Lac Saint-Jean (Blouin et Berger 2003: 2.6). Ce territoire connaît des températures annuelles moyennes de 2.5 °C ainsi que des précipitations annuelles moyennes de 800 à 1000 mm (ibid. : 2.4). Le climat de ce secteur est qualifié de frais et la saison de croissance varie entre 160 et 170 jours. Le relief de cette région écologique et de son unité de paysage régional y est doux et se traduit par des plaines légèrement ondulées dans le pourtour de lac Saint-Jean pouvant atteindre des altitudes moyennes situées entre 100 et 200 m (ibid. : 2.8 et 2.13).

Le couvert végétal de la région est typique de la zone tempérée nordique et de sa sous-zone de la forêt mélangée. En effet, ce dernier se caractérise par le domaine bioclimatique de la sapinière à bouleau jaune et de son sous-domaine de l'Est (ibid. : 2.4). Ainsi situé à la transition entre la zone tempérée nordique et la zone boréale, cet écotone se définit par la présence principale de bouleaux jaunes (*Betula alleghaniensis*) côtoyant le sapin baumier (*Abies balsamea*), l'épinette blanche (*Picea glauca*), l'épinette noire (*Picea mariana*) et le thuya (*Thuja occidentalis*) (MRNF 2014).

Géomorphologie et pédologie

En raison du relief peu accidenté de l'unité de paysage régional et des feux de forêt anciens; il n'est pas rare de rencontrer des peuplements de pins gris (*Pinus banksiana*) (Op. Cit. : 2.7). Cependant, lorsque le relief s'avère plus accidenté, les peuplements de pins gris laissent place à des peuplements de feuillus majoritairement composés par le peuplier faux tremble (*Populus tremuloides*) (ibid.).

Les caractéristiques géologiques de la zone à l'étude s'inscrivent à l'intérieur de celles du massif des Laurentides avec un socle rocheux appartenant à la province de Greenville. De nature allochtone, cette dernière est essentiellement composée de roches ignées ou métamorphiques. Plus précisément, la zone à l'étude est définie par un socle offrant des formations de roches granitoïde à orthopyroxène majoritairement composées de roches charnockitiques massives et grenues, de mangérites, de jotunités et de syénites à hypersthène (figure 7).

Bien que le secteur à l'étude se soit autrefois situé sous l'étendue maximale de la mer Laflamme ayant eu lieu il y a de cela 10 000 ans, sa situation géographique, située sur les rives nord et sud de l'embouchure de la rivière Mistassini, a favorisé la présence de dépôt

fluviale. Notons cependant que si ces derniers dépôts dominent l'emprise à l'étude, il faut également compter sur la présence de dépôts éoliens. De moindres envergures, ces derniers ne s'inscrivent pas moins en codominance.

Selon les données de l'institut de recherche et de développement en agroenvironnement (IRDA 2013), outre les sols organiques localisés à l'intérieur du milieu humide de la portion nord-est, différents ordres de sols minéraux sont en présence dans le secteur à l'étude (figure 8.). En effet, des podzols et des régosols composent les dépôts meubles du secteur à l'étude en plus de quelques affleurements rocheux (tableaux 5 et 6, figures 9 et 10). La granulométrie des sols minéraux est quant à elle représentée par des matériaux argileux, sableux. Toujours selon les données de l'IRDA, la capacité de drainage des sols du secteur à l'étude varie de très mal drainés à bien drainés.

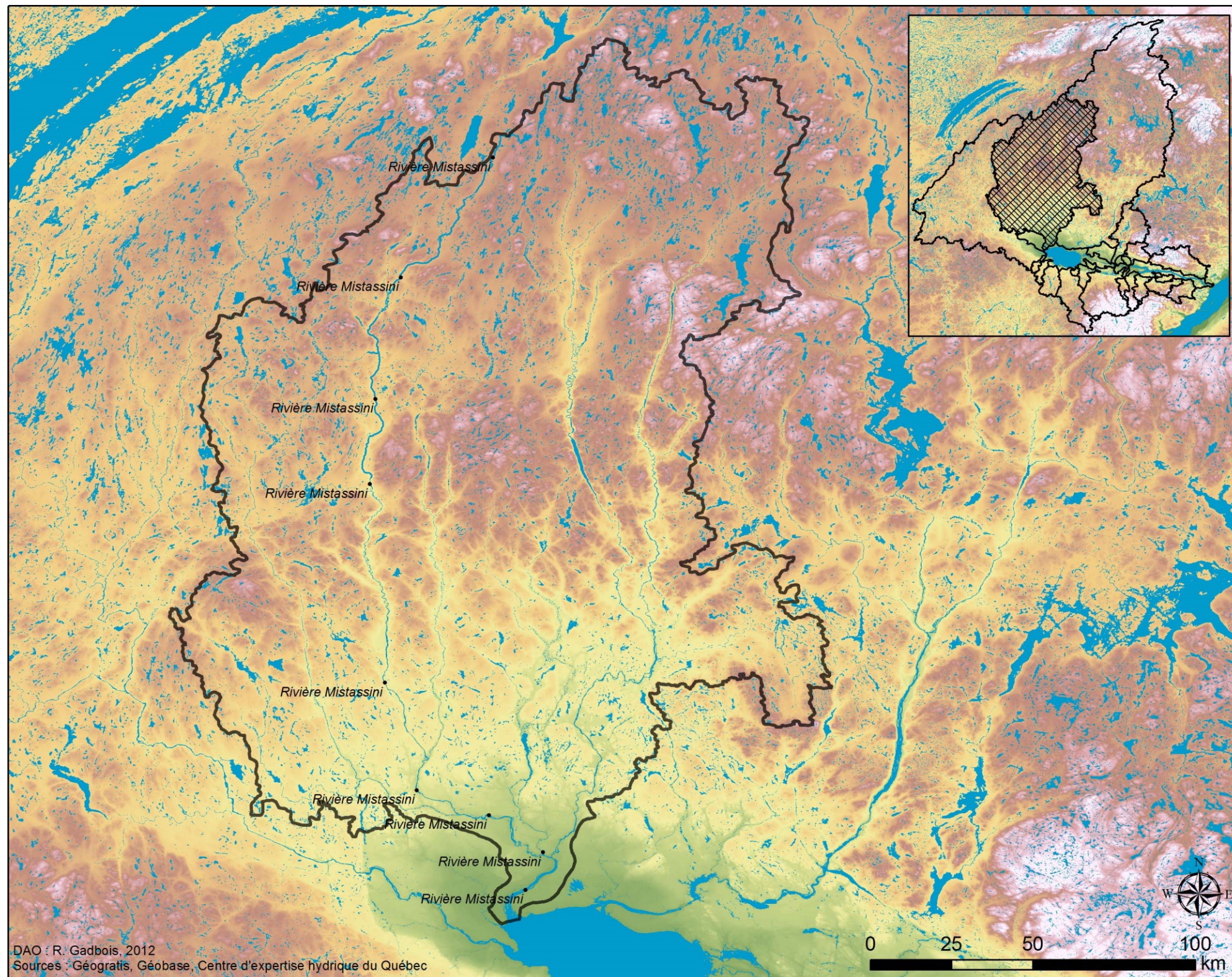


Figure 5 : Limites du sous-bassin de la rivière Mistassini



Figure 6 : Principaux affluents de la rivière Mistassini

Nom	Orientation	Feuillets 1 : 50 000	Site répertorié
riv. Mistassibi	nord/sud	32 A/16, 32 H/1, 32 H/8, 32 H/9, 32 H/16, 32 I/1, 32 I/8, 32 I/9, 32 I/16, 22 E/5 et 22 E/12, 22 E/13, 22 L/4, 22 L/5, 22 L/12 et 22 L/13	EdEw-1 à 6, 8
riv. aux Rats	nord/sud	32 A/16, 32 H/1, 32 H/8, 32 H/9 et 32 H/16	nil
riv. Ouasiemsca	nord-ouest/sud-est	32 H/1, 32 H/2, 32 H/7, 32 H/10, 32 H/11, 32 h/14 32 I/2, 32 I/3 et 32 I/6	nil
riv. Samaqua	nord/sud	32 H/02, 32 H/7, 32 H/10, 32 H/15, 32 I/2	nil
riv. Papillon	nord-ouest/sud-est	32 H/10, 32 H/15	nil
riv. des Framboises	nord-est/sud-ouest	32 I/2, 32 I/7, 32 I/8, 32 I/9	nil

Tableau 3 : Principaux affluents de la rivière Mistassini.

Depuis :	Orientation (sens du courant)	Via :	Vers	Distance (km)
riv. Mistassini	nord-ouest/sud-est nord-ouest/sud-est est/ouest est/ouest	riv. Ouasiemsca* riv. Micosas lac Damville riv. aux Brochets	riv. Ashuapmushuan	< 2,0
riv. Mistassini	sud-ouest/nord-est sud/nord	riv. à l'Eau froide lac Témiscamie	riv. Témiscamie	< 2,0
riv. Mistassini	nord-ouest/sud-est nord/sud	riv. Ouasiemsca riv. Nestaocano	riv. Ashuapmushuan	< 9,0
riv. Mistassini	nord/sud nord-est/sud-ouest est/ouest nord-ouest/sud-est	riv. Mistassibi riv. Mistassibi nord-est riv. Piraube riv. St-Onge	riv. Péribonka	< 7,0
riv. Mistassini	nord/sud nord-est/sud-ouest nord-est/sud-ouest nord/sud nord-ouest/sud-est	riv. Mistassibi riv. Mistassibi nord-est riv. Henri riv du Sapin Croche riv. au Serpent	riv. Péribonka	< 7,0
riv. Mistassini	nord/sud nord-est/sud-ouest nord/sud nord-ouest/sud-est	riv. Mistassibi riv. Mistassibi nord-est riv du Sapin Croche riv. au Serpent	riv. Péribonka	< 8,0

* Les couleurs font références au bassin hydrographique auquel appartient les affluents secondaires

Tableau 4 : Bassins hydrographiques accessibles depuis le bassin de la rivière Mistassini.

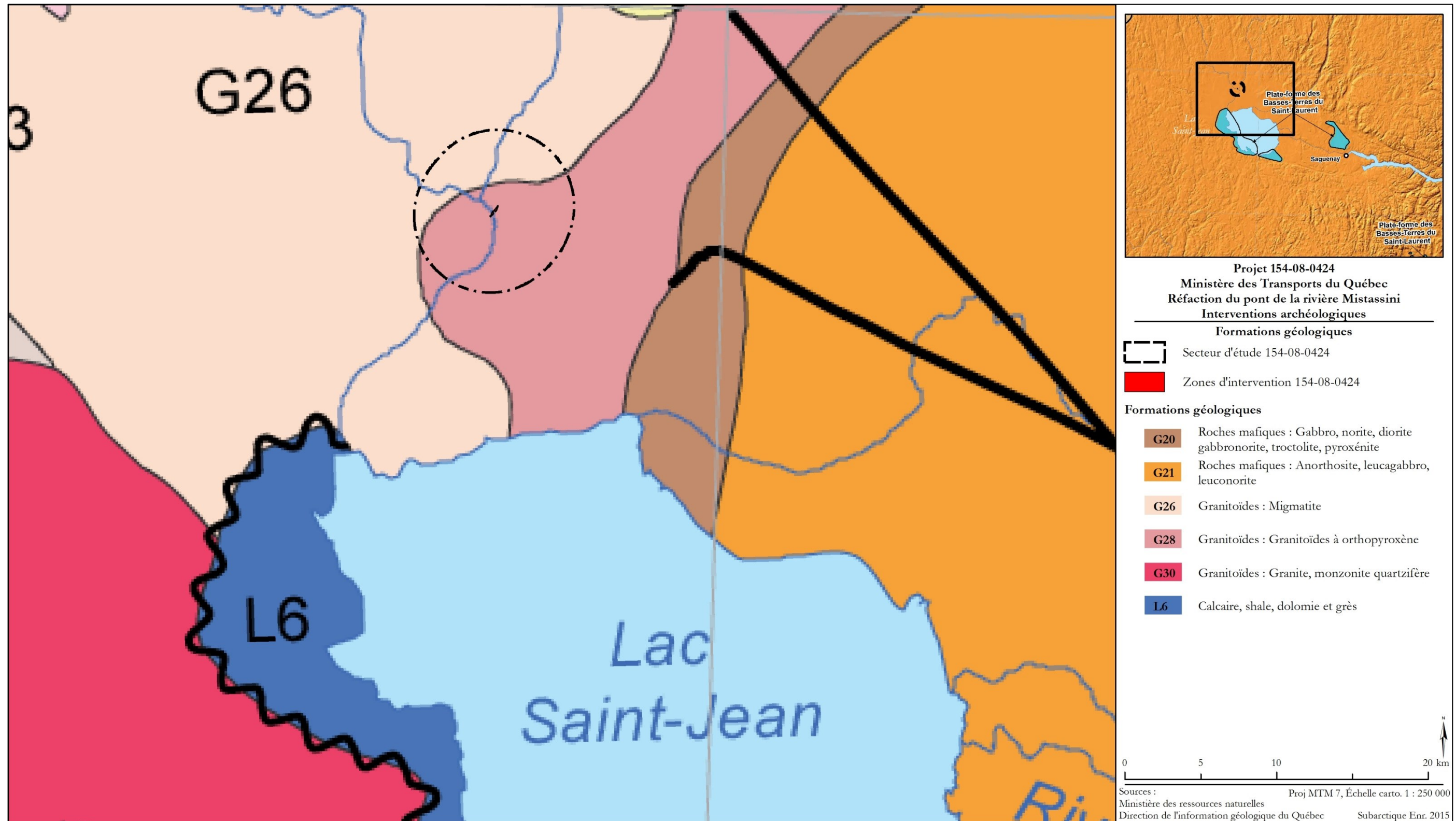


Figure 7 : Projet 154-08-0424, portrait géologique des secteurs inventoriés, Direction territoriale du Saguenay-Lac-Saint-Jean-Chibougamau

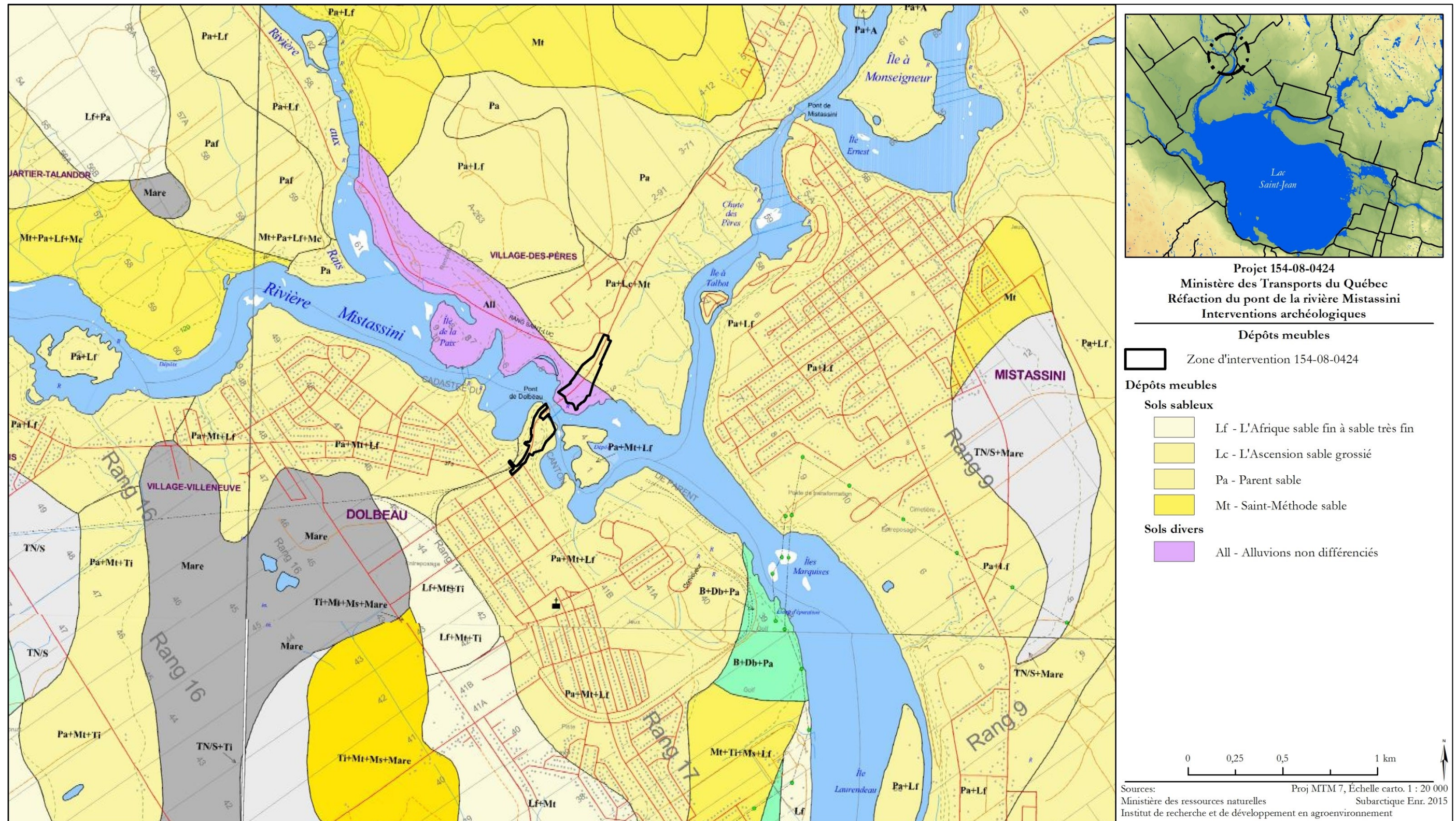


Figure 8 : Projet 154-08-0424, portrait pédologique du secteur à l'étude, Direction territoriale du Saguenay-Lac-Saint-Jean-Chibougamau

Ordre de sols	Description ²
Podzol	<p>Ces sols se rencontrent sur des matériaux parentaux acides de texture grossière à moyenne, sous une végétation de forêt ou de bruyère, dans des pédoclimats frais à très froid, humide à perhumide. Cependant, certains podzols se rencontrent sous des conditions d'environnement différentes. Par exemple, des podzols, couvrant de petites étendues, se rencontrent là où le pédoclimat est subhumide, sur des stations sableuses hydriques. D'autres podzols se forment à l'occasion sur des matériaux parentaux calcaires à l'origine. Habituellement, les podzols peuvent se reconnaître facilement sur le terrain. Généralement, ils ont des horizons de surface organiques, habituellement L, F et H, mais aussi Of ou Om, suivi d'un horizon éluvial (Ae) de couleur pâle, qui peut cependant être absent. La plupart des podzols présentent un B brun rougeâtre à noir, dont la limite supérieure est abrupte, et des horizons inférieurs B ou BC dont les couleurs deviennent progressivement de teintes plus jaunes et de saturation de couleur plus faible en profondeur, exception faite des matériaux parentaux de couleur rougeâtre à l'origine. Les podzols sont définis d'après une combinaison de critères morphologiques et chimiques des horizons B. (SCCS 2002 : 111-112).</p>
Ordre Organique	<p>Ces sols sont généralement composés de matériaux organiques. La plupart montrent des sols, généralement connus sous les noms de tourbe, de terre noire ou de tourbière. La plupart des sols organiques sont saturés d'eau pour une durée prolongée. Ils sont très répandus sur les terrains en dépression mal à très mal drainé, et sur les terrains horizontaux des régions au pédoclimat subhumide à perhumide et ils tirent leur origine de la végétation qui croît en ces endroits. Cependant, un groupe de sols organiques (folisols) se compose de matériaux organiques des hautes terres (foliques), généralement d'origine forestière. Ces folisols sont de bien à imparfaitement drainés, même s'ils peuvent devenir saturés d'eau après des précipitations ou lors de la fonte des neiges (Ibid : 102).</p>

Tableau 5 : Description des ordres de sols mis au jour à l'intérieur de l'emprise du projet 154-08-0424

² La description des ordres de sols rencontrés est tirée de la troisième édition du Système canadien de classification des sols (SCCS 2002).

Ordre de sols	Description
<p style="text-align: center;">Régosol</p>	<p>Les régosols n'ont pas d'horizon B diagnostique d'au moins 5 cm d'épaisseur et sont reconnus pour être faiblement développés. L'absence d'un horizon B, peu ou pas développés, peut-être dû à n'importe quel facteur parmi plusieurs, comme la jeunesse des matériaux (p, ex. alluvion récente), l'instabilité des matériaux (p.ex. colluvium sur des pentes affectées par des mouvements de masses) la nature des matériaux (p, ex. sable de quartz presque pur) ou le climat sec et froid. Généralement, le drainage des régosols va de rapide à imparfait. Ils se rencontrent sous une grande variété de végétations et de pédoclimats.</p> <p>Le développement pédogénétique est trop faible dans les régosols pour former un horizon B discernable qui peut rencontrer les critères des sols des autres ordres de sols. Ainsi, ils n'ont pas d'horizons B solonetzique, Bt, B podzolique, ou Bm d'au moins 5 cm d'épaisseur, ni d'évidence de gleyification assez prononcée pour satisfaire aux exigences des gleysols, ni d'horizon organique de surface assez épais pour rencontrer les critères des sols organiques, ni de pergélisol à moins de 1 m de la surface du sol minéral ou 2 m si fortement cryoturbés. Ils peuvent avoir des horizons L, F et H ou O, un horizon Ah ou Ap de moins de 10 cm d'épaisseur et si les caractéristiques de l'horizon Ah ou Ap rencontrent pas les critères d'un A chernozémique (123).</p>

Tableau 6: Description des ordres de sols mis au jour à l'intérieur de l'emprise du projet 154-08-0424 (suite)



46 cm

ST-001, N48° 53. 042' W072° 13. 707', 112m, ± 3m
Ah : ± 11 cm
B : ± 25 cm
Notes : L'induration des sols additionnée au gel ne nous a pas permis d'atteindre une profondeur allant à plus de 46 cm

Figure 9 : Projet 154-08-0424, sondage test # 1, portion sud-ouest



80 cm

ST-002, N48° 53. 160' W072° 13. 570', 112m, ± 4m
Ah : ± 30 cm
Ae + B : ± 50 cm
Notes : L'eau remonte à la surface du sol à une profondeur de 80 cm

Figure 10 : Projet 154-08-0424, sondage test # 2, portion nord-est

4.1.2 État des connaissances historiques et archéologiques sur le sous-bassin de la rivière Mistassini (*Kagouia*)

À ce jour, le bassin de la rivière Mistassini compte 13 sites archéologiques parmi lesquels neuf ne recèlent qu'une ou plusieurs composantes de la Paléohistoire, trois des indices d'occupations préhistoriques et historiques et, finalement un seul aurait été exclusivement occupé après le XVI^e siècle (figure 11; tableau 7). Deux de ces gisements ont été partiellement fouillés et sont les seuls à compter plus de 100 objets. Par ailleurs, parce que ces sites n'ont été pour la plupart qu'inspectés visuellement, l'état vertical de la majorité d'entre eux est inconnu. Cinq des 13 gisements semblent cependant jouir d'une certaine intégrité stratigraphique.

La plupart des interventions effectuées sur le bassin hydrographique de la rivière Mistassini l'ont été sur son cours inférieur (Langevin 2001, 2002 et 2005 ; Langevin et Leblanc 1999 et 2001a ; Langevin et Lavoie 2011 ; Patrimoine Experts 2003 ; Pintal 1998d et 2000) ainsi que sur une partie du cours supérieur de la rivière Mistassibi dans le cadre d'une activité ponctuelle menée au milieu des années soixante-dix (Blanchette 1976)

Code Borden	Feuillet 1 : 50 000	Type intervention	Nb d'objets	Typologie					État vertical	Chronologie	Référence liée à la dernière intervention
				lit.	cér.	hist.	oss.	str.			
DeFb-1	32 A/09	sondages	10	qzt-ca	-	-	-	-	stratigr.	Préhistorique ind.	Langevin 1991
DfFb-1	32 A/16	fouille	800	qzt-ca	14	-	X	X	surf/strat	Sylvicole moyen Sylvicole supérieur	Langevin et LeBlanc 1999
DfFb-2	32 A/16	insp. vis.	1	plu	-	-	-	-	surface	Archaïque	Langevin et LeBlanc 1999
DfFb-3	32 A/16	insp. vis.	5	qzt	-	X	-	X	surface	Préhistorique ind. Historique Ind.	Langevin et LeBlanc 1999
DfFb-4a	32 A/16	sondages	6	qzt	-	-	-	-	surface	Préhistorique ind.	Langevin et LeBlanc 2001
DfFb-4b	32 A/16	fouille	582	qzt	-	-	X	X	surface	Préhistorique ind.	Langevin et LeBlanc 2001
EdEw-1	22 L/12	sondages	3	qzt	-	X	X	-	surf/strat	Préhistorique ind. Historique (20 ^e)	Blanchette 1976
EdEw-2	22 L/12	sondages	1	qzt	-	-	-	-	surface	Préhistorique ind.	Blanchette 1976
EdEw-3	22 L/12	sondages	3	qzt	-	-	-	-	surface	Préhistorique ind.	Blanchette 1976
EdEw-4	22 L/12	sondages	1	qzt	-	-	-	-	surface	Préhistorique ind.	Blanchette 1976
EdEw-5	22 L/12	sondages	-	-	-	-	-	X	stratigr.	Préhistorique ind.	Blanchette 1976
EdEw-6	22 L/12	sondages	1	qzt	-	X	-	X	surf/strat	Préhistorique ind. Historique (20 ^e)	Blanchette 1976
EdEw-8	22 L/12	sondages	12	-	-	X	X	X	surface	Historique (20 ^e)	Blanchette 1976

Tableau 7 : Sites archéologiques associés au bassin hydrographique de la rivière Mistassini.

Pour l'heure, les sites les mieux connus sur le bassin hydrographique de cette rivière se trouvent à la confluence des rivières Mistassibi et Mistassini. Des recherches ethnographiques, de même qu'un inventaire systématique et des fouilles limitées y ont eu lieu à la fin des années 90, ce qui a permis de dresser les grandes lignes de l'occupation humaine du cours inférieur de la rivière Mistassini.

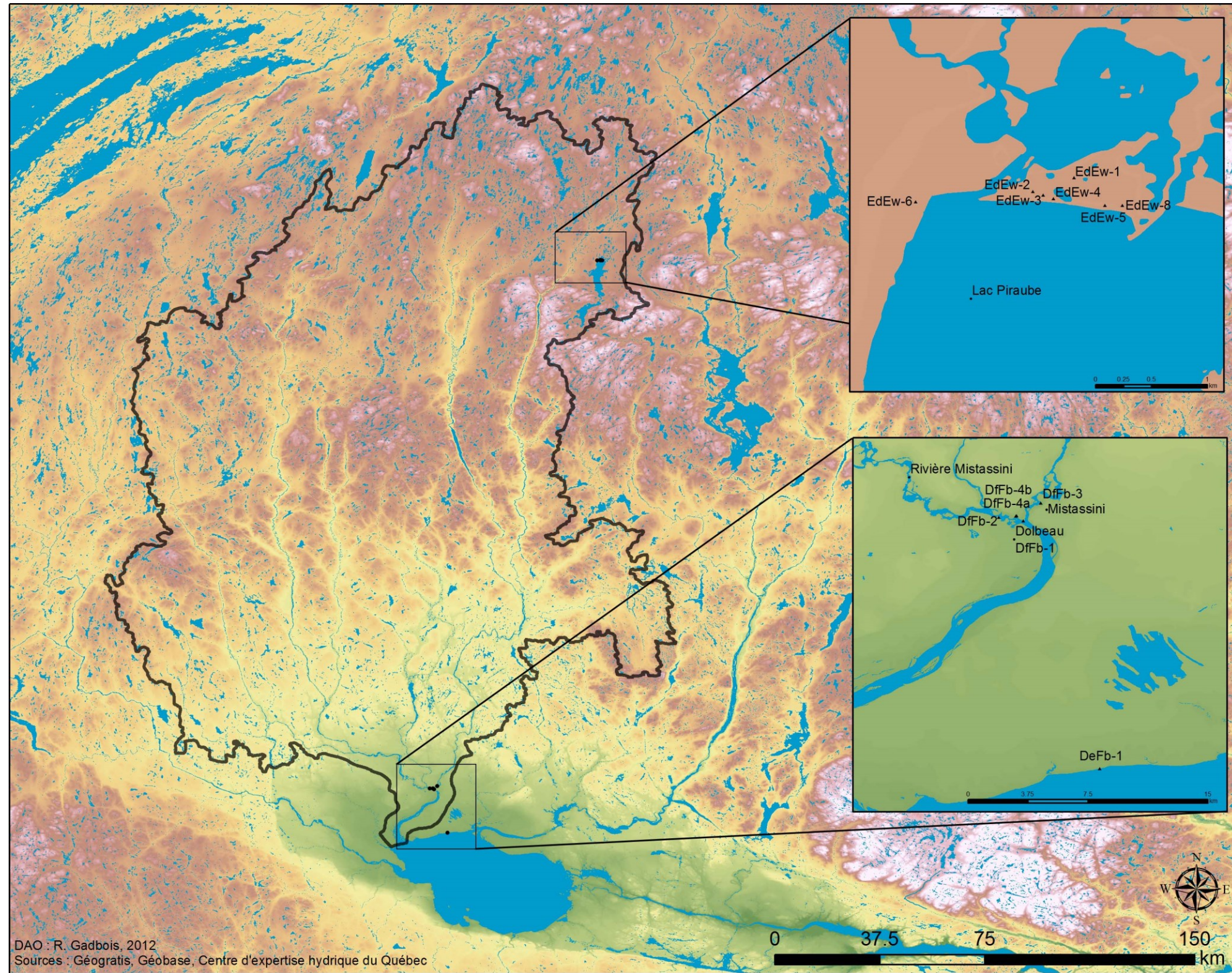


Figure 11 : Distribution des sites archéologiques répertoriés sur le sous-bassin de la rivière Mistassini

Histoire

La ville de Dolbeau-Mistassini est issue de la fusion des municipalités de Dolbeau et de Mistassini qui eut lieu le 17 décembre 1997. Au point de vue historique, c'est d'abord le territoire de Mistassini (alors nommé canton Dolbeau) qui vit arriver les premiers défricheurs. En effet, dès 1884 les premiers colons vinrent s'installer sur le territoire aujourd'hui nommé «Pointe des Pères». Invités par Mgr Calixte Gaudreault, alors agent de colonisation du Lac-Saint-Jean, les pères cisterciens suivirent dès 1892 afin de stimuler l'agriculture et la colonisation du territoire. Rapidement, les années suivantes virent s'ériger un pont au-dessus de la rivière Mistassibi, alors qu'on construisit un magasin général, un bureau de poste, une église et un presbytère ainsi qu'un moulin à farine et à scie³³ qu'opéraient les ecclésiastiques, affirmant ainsi de plus en plus l'identité de la nouvelle municipalité à venir.

Il fallut attendre quelques années de plus pour que le territoire au sud-ouest de la rivière Mistassini soit à son tour développé. C'est en 1925 que le suédois Émil Andrew Walberg s'intéressa au potentiel hydroélectrique et forestier du canton Parent. Dès le printemps suivant, l'homme d'affaire obtint le droit d'exploiter 1000 m² de forêt tout autant que celui d'exploiter le potentiel hydraulique que représentent les rivières Mistassini et Mistassibi. De cet effort industriel naquit la ville de Dolbeau.

À une échelle plus vaste, selon Speck (1927), au début du XX^e siècle, le cours inférieur du sous-bassin hydrographique de la rivière Mistassini était divisé en cinq territoires familiaux, trois à l'est de la rivière Mistassibi et deux à l'ouest. Quant aux cours moyen et supérieur de la rivière Mistassini, ils étaient divisés en quatre territoires dont certains jouxtaient à la fois les territoires de la bande de Pessamit et ceux de la bande de Mistassini. Globalement, cette division des territoires si elle ne reflète pas nécessairement la réalité préhistorique, n'en demeure pas moins symptomatique de la grande fréquentation de cette rivière.

³³ Une carte identifiée sur les *Greffes de l'arpenteur général du Québec* (figure 12), présente un aperçu de la répartition des terres à l'intérieur des cantons Pelletier, Dolbeau et Parent en date de 1895. Constitué pour les pères Trappistes, ce plan mentionne également la présence d'un moulin à scie dans les environs de la Pointe des Pères. Il est pour l'instant impossible de savoir si, d'une part, ce moulin à scie correspond à celui bâti par les ecclésiastiques au début de la colonisation de ces cantons (quoique fort possible vue la date de création de la carte) et, d'autre part, si le X dessiné près de l'appellation *moulin à scie* peut correspondre à l'emplacement de ce dernier. Si tel est le cas, nous pourrions supposer que l'emplacement du Moulin se trouvait un peu plus en amont de la rivière Mistassini, du côté nord de la route 169, donc en dehors de l'emprise actuelle du projet routier 154-08-0424.

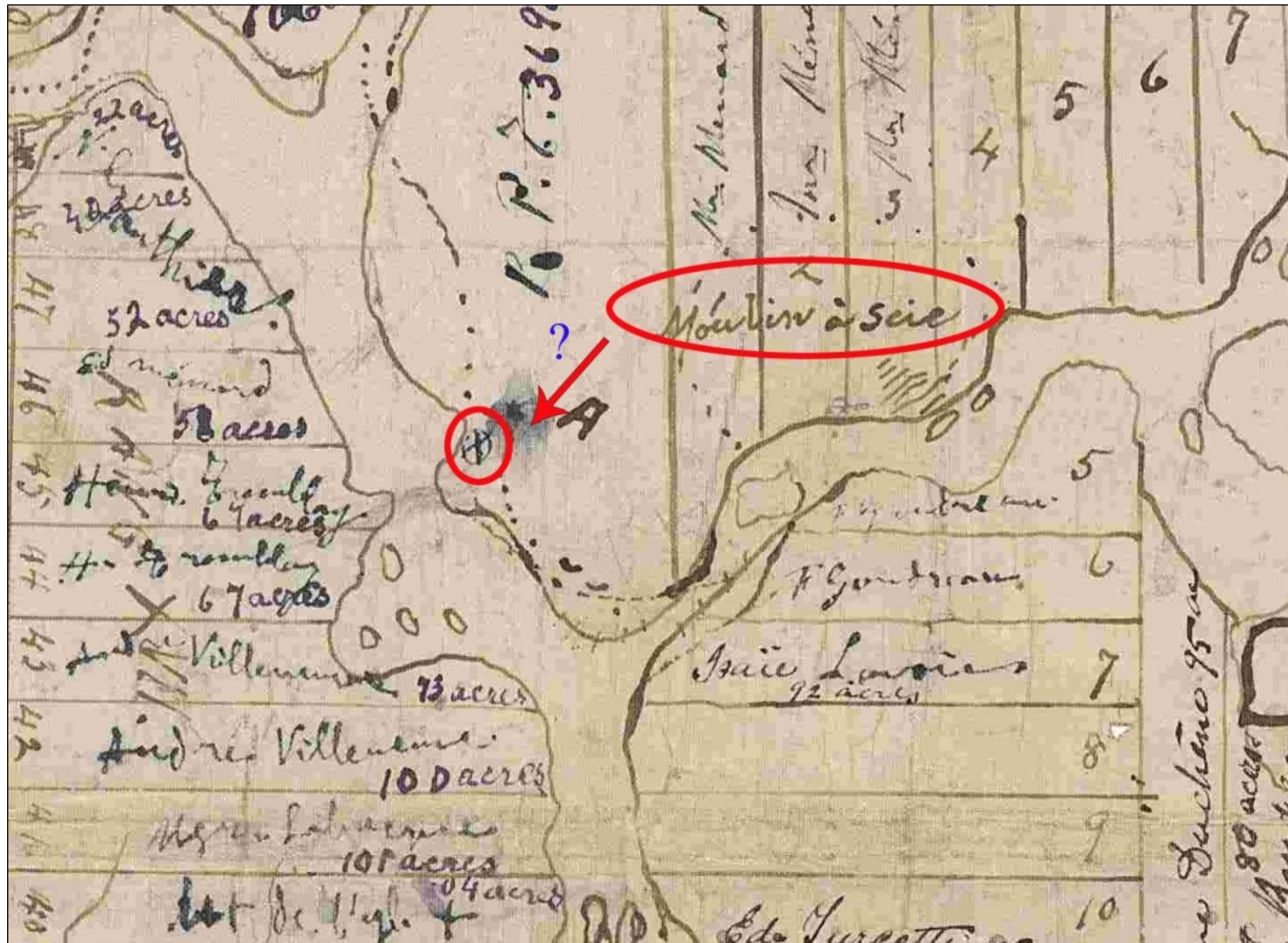


Figure 12 : Projet 154-08-0424, agrandi d'un plan transmis par les Trappistes, auteur inconnu, année 1895 (Source : Greffe en ligne de l'arpenteur général)

Les mentions historiques concernant le bassin hydrographique de la rivière Mistassini sont nettement moindres. Les mentions les plus anciennes signalant les affluents nordiques du Lac Saint-Jean, concernent principalement les rivières Péribonka et Ashuapmushuan. Ce fait n'empêche nullement la rivière Mistassini (de même que la rivière Mistassibi) d'être illustrée, et ce, plus ou moins clairement, sur plusieurs cartes du XVII^e siècle et sur la quasi-totalité de celles du XVIII^e. Lorsque la rivière est nommée on la retrouve sous différentes appellations : rivière Kakigaousipi pour Jolliet (1679) qui fut le premier Européen à la baptiser, Kikigoussini pour Delisle (1703) et rivière des Sables pour Laure (1731, 1733) et Anville (1733) (figures 13 à 15).

Notons par ailleurs que sur ces dernières cartes, la rivière des Sables se termine à l'endroit où se situe actuellement la municipalité de Dolbeau-Mistassini. À l'ouest, se trouve alors la rivière Ouashcheïamiskau, alors qu'à l'est, l'actuelle Mistissibi prend le nom de rivière Ousakakounou pour Laure (1733) (voir figure 15) et Ouatchchitchiou pour Anville (1733). On peut donc émettre l'hypothèse que pour les groupes des Premières Nations, la dénomination d'une rivière subit des changements selon ce qui est arrivé ou observable sur certains tronçons.

Sur la carte de Jolliet (voir figure 13), ce que l'on peut interpréter comme des axes de circulation passent par les rivières Péribonka et Mistassini, alors que l'Ashuapmushuan, dénommée rivière Necouba, s'en trouve exemptés. Sur la carte de Delisle (voir figure 14), des sentiers semblent passer par la tête de la rivière. Les axes de pénétration depuis le lac Saint-Jean ne sont pas indiqués. Sur les cartes de 1731 et 1733 de Laure, ne se trouve aucune indication de portages permettant de relier la rivière Mistassini et/ou la Mistassibi à d'autres sous-bassins hydrographiques. Toutes ces informations suggèrent que sans être autant fréquentée que la rivière Péribonka, la rivière Mistassini était, tout au moins à la fin de la Paléohistoire, un cours d'eau régulièrement emprunté par les Premières Nations du bassin hydrographique du lac Saint-Jean qui en exploitaient les richesses et qui l'utilisaient vraisemblablement pour rencontrer les populations plus au nord. Rappelons à ce sujet que Speck (1927) n'identifie aucune famille dont le territoire familial se situait en aval de la confluence des rivières Mistassini et Mistassibi. On peut donc émettre l'hypothèse que tout un chacun pouvait circuler à leur gré, confirmant du coup qu'il s'agissait d'un axe de circulation vers des territoires plus nordiques.

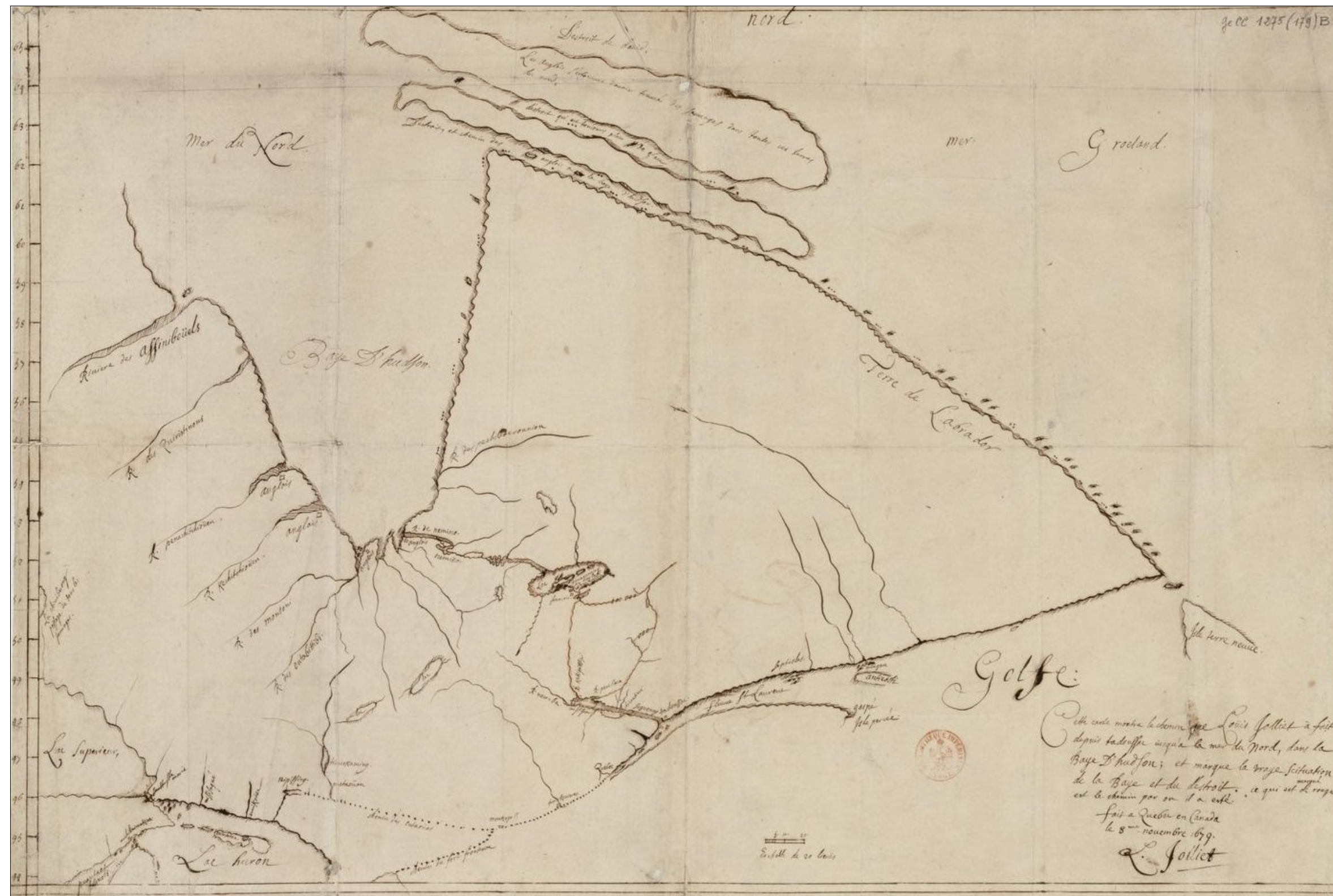


Figure 13 : Carte de Jolliet 1679 (source : Gallica.bnf.fr)



Figure 14 : Extrait d'une carte de l'atelier Delisle (1703)

Paléohistoire⁴

Il n'y a à ce jour aucune certitude absolue quant à une occupation plus ancienne que le Sylvicole moyen sur le bassin hydrographique de la rivière Mistassini (Langevin 2015). Notons cependant la découverte isolée d'une hache en pierre sur les berges de la rivière Mistassini (DfFb-2) et dont les dimensions rappellent ce qui fut découvert dans des contextes de 3000-5000 A.A. de la Grande-Décharge. A également été mise au jour (DfFb-4a), une cache de lames bifaciales en quartzite de la rivière Témiscamie, dont les morphologies ne sont pas sans ressembler aux lames de cache de la période Meadowood (2400-3000 A.A.). Rappelons par ailleurs que cette dominance du quartzite de la rivière Témiscamie sur les basses terres du lac Saint-Jean s'accorde souvent avec une occupation antérieure à 2400 A.A. (Langevin 2015).

En fait, un seul des 11 gisements témoignant d'une occupation préhistorique contenait des vestiges (céramique amérindienne) pouvant être associés à quelques moments bien spécifiques de la préhistoire, soit depuis 2400 A.A. Le plus ancien des deux vases découverts sur le site DeFb-1 supporte une décoration de type PSS (Pseudo Scallop Shell) qui s'accompagne de ponctuations vers l'intérieur, typique de la tradition Laurel (Clermont et Chapdelaine 1982). Au Québec, cette tradition aurait principalement eu cours entre 200 B.C.-1 200 A.D. Au moins trois autres vases de ce genre ont été découverts au Lac-Saint-Jean, le long de la rivière Péribonka, à l'embouchure de la Grande Décharge et sur la rivière Ticouapé. La quantité de vases représentés est encore trop réduite pour interpréter la signification de cette distribution géographique. Cependant, la présence de ces vases pourrait constituer un témoignage de l'expansion humaine vers l'intérieur des terres.

Quant au second tesson, il représente la céramique de la fin du Sylvicole moyen, à denticulés quadrangulaires. Celle-ci est nettement mieux représentée à l'échelle du Lac-Saint-Jean. On en trouve autant à l'est, qu'au sud, à l'ouest et au nord du lac Saint-Jean. Dans ce cas-ci on pourrait parler de la phase finale de la tradition Pointe Péninsule (Spence, Pihl et Murphy 1990). Il s'agit d'une époque où les populations régionales étaient bien implantées et que des réseaux d'échanges étaient en activité avec les groupes de l'ouest, qui non seulement utilisent, mais conçoivent cette poterie. Le matériel lithique découvert en association avec les tessons de poterie n'est cependant pas diagnostique. Il s'agit pour l'essentiel d'éclats de taille et de quelques outils fragmentaires typologiquement non assignables.

Toujours sur le même site, le Sylvicole supérieur est représenté par un tesson de bord, vraisemblablement de la tradition iroquoise du Saint-Laurent. Découvert en surface,

⁴ Cette section est fortement inspirée de la thèse de doctorat de Langevin (2015)

sur la plage attenante au site, ce tesson montre deux champs de décorations linéaires distincts. Dans la région, des éléments traditionnels des Iroquoiens du Saint-Laurent sont surtout présents le long de la rivière Saguenay jusqu'à Chicoutimi, et au Lac-Saint-Jean, sur le Grand Marais de Saint-Gédéon.

Par sa nature de lieu occupé au cours d'une brève période de temps, les activités pratiquées à la confluence des rivières Mistassini et Mistassibi auraient été réduites au minimum. La découverte de tessons représentant trois vases distincts semble déjà, dans ce contexte, très surprenante et pourrait constituer une preuve importante du fait que la rivière, et plus particulièrement cette portion, était passablement fréquentée. Les probabilités que des nomades brisent un vase (denrée rare en soit) à cet endroit sont relativement faibles compte tenu du nombre d'endroits visités au cours d'une année et du peu de poterie qui devait circuler sur le bassin hydrographique du Saguenay. Or, le nombre relativement élevé (à l'échelle régionale évidemment) de vases ($n=3$) qu'on y a trouvé constitue une indication que de très nombreuses visites ont eue lieu sur l'extrémité sud de la Pointe des Pères (Langevin et LeBlanc 1999).

La faible quantité de vestiges lithiques recueillie tend à confirmer ce fait. La poterie est, par définition, plutôt fragile au contraire des objets en pierre. Les vestiges céramiques découlent d'accidents ponctuels alors que les objets en pierre, particulièrement les déchets de taille, témoignent d'une activité de fabrication, donc d'un comportement plus réfléchi, plus intégré dans le temps et dans l'espace. La variable temps importe peu lorsqu'il s'agit d'un accident, mais est fondamentale lorsqu'on parle de taille, de fabrication d'objets. Or, la faible quantité d'éclats de taille indique que tout au long de son occupation, les populations qui ont fréquenté ces lieux n'ont pas, ou très peu taillé la pierre, indice s'il en est un, de la brièveté de l'occupation.

Les matières premières qui ont été taillées sur DeFb-1 provenaient pour l'essentiel de la proximité immédiate du site, ce qui tend à appuyer l'hypothèse d'une occupation par des populations locales. L'utilisation relativement importante de calcédoine suggère qu'il s'agissait de Kakouchacks, groupe des Premières Nations qui occupait les basses terres du lac Saint-Jean à la fin de la Paléohistoire (Langevin 2015). Le quartzite de la rivière Témiscamie et des cherts sont par ailleurs présents dans l'assemblage ce qui témoigne d'une circulation tous azimuts des matières premières lithiques lors de l'une et/ou de l'autre occupation du site.

En ce qui a trait aux outils découverts sur place, ils pourraient résulter de la perte, d'oubli ou de rejet. Tous ont une fonction bien déterminée (pointe de jet, grattoir, perçoir, éclat retouché, etc.), mais aucun ne se trouve en quantité suffisante pour suggérer la tenue sur le site d'une activité spécifique. Les quelques fragments osseux tendent à confirmer qu'on

a pris quelques repas sur la pointe. Ils ne suggèrent cependant pas qu'on y ait érigé un campement d'envergure comprenant un feu central où de nombreux repas auraient été préparés et les restes de ce repas jeté. Les aires de combustion de DfFb-1 seraient petites et n'auraient pas nécessairement été réutilisées.

À l'intérieur d'un périmètre de cinq km autour de la zone impactée neuf interventions archéologiques ont eu lieu (tableau 8: figure 16). Trois promoteurs sont à la source de ces interventions qui, pour la plupart, se sont limitées à des inventaires. Les interventions de Langevin et Leblanc (1999 et 2000) sont les seules qui ont mené à la découverte de vestiges et quelques-uns des sites concernés ont été partiellement fouillés.

Référence	Localisation cadastrale	Distance du projet (km)	Résultats	Promoteur
Pintal 1998d	Dolbeau, rg X, lots 15 et 16	~ 3,1 km	nil	MTQ
Langevin et LeBlanc 1999	Dolbeau, bloc A 263 Dolbeau, rg X, lot 5a	< 0,1 km	DfFb-1 à DfFb-3	Ville de Dolbeau
Langevin et LeBlanc 2001a	Dolbeau, bloc A 263	< 0,1 km	DfFb-4	Ville de Dolbeau
Pintal 2000c	Dolbeau, rg X, lot 11 Dolbeau, rg IX, lots 6 à 8	~ 2,4 km	nil	MTQ
Langevin 2001	Dolbeau, rg IX, lots 9 et 10	~ 2,8 km	nil	Rio-Tinto Alcan
Langevin 2002	Dolbeau, rg X, lots 8 et 9	~ 1,1 km	nil	Rio-Tinto Alcan
Patrimoine Experts 2003	Dolbeau, bloc A 263	< 0,1 km	nil	MTQ
Langevin 2005	Dolbeau, rg IX, lots 9 et 10	~ 2,8 km	nil	Rio-Tinto Alcan
Langevin et Painchaud 2011	Dolbeau, rg X, lot 12	~2,3 km	nil	MTQ

Tableau 8 : Interventions archéologiques réalisées dans un rayon de 5 km du centroïde du projet 154-08-0424.

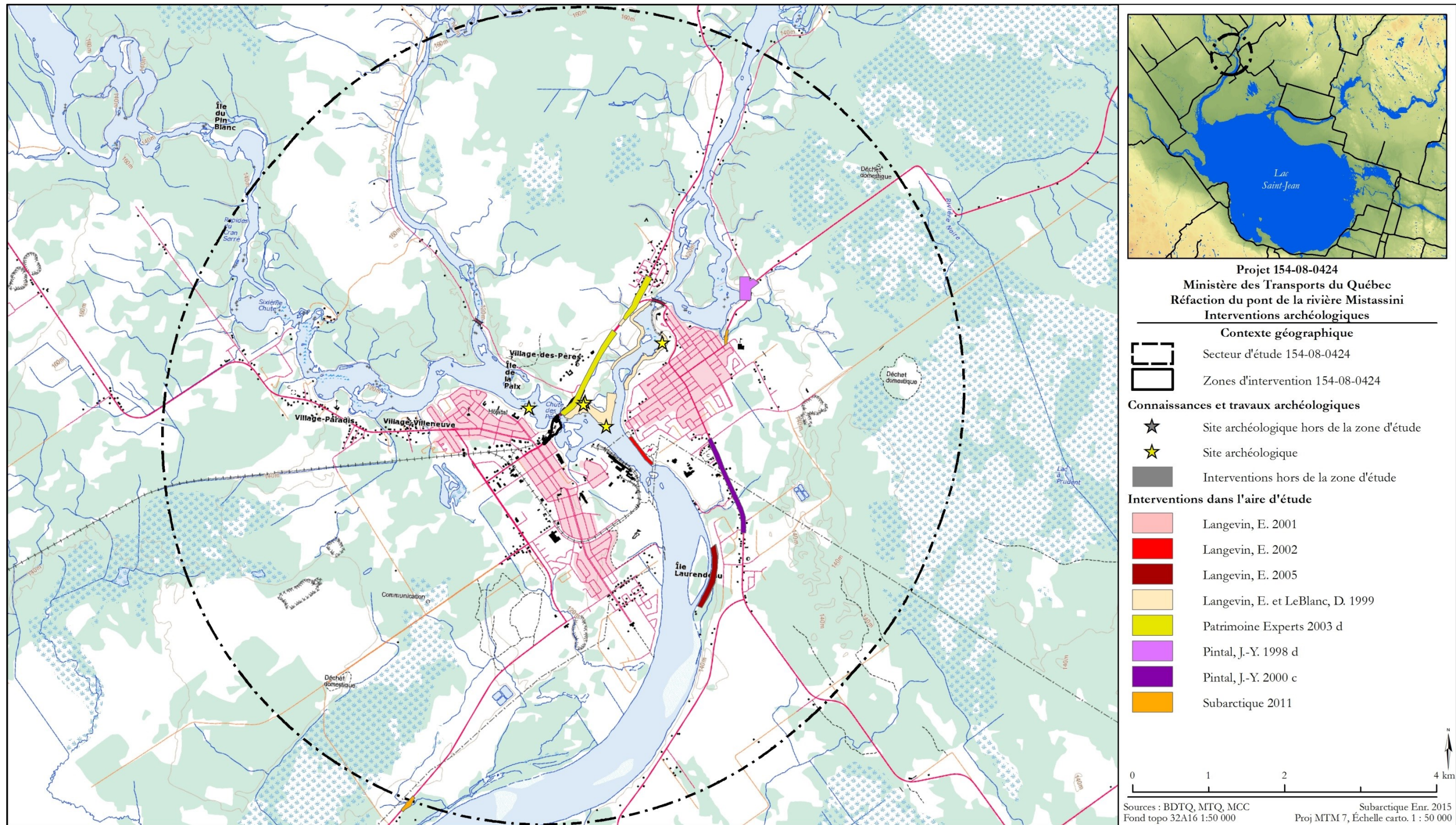


Figure 16 : Distribution des sites archéologiques et des interventions effectués à l'intérieur du centroïde de cinq km du projet 154-08-0424.

5. Résultats de l'intervention archéologique

L'intervention archéologique sur une portion de l'emprise du projet de construction d'un nouveau pont surplombant la ville de Dolbeau-Mistassini a été réalisée sur une période de six jours, entre le 27 novembre et le 2 décembre 2015. L'inventaire a dû cesser en raison de conditions climatiques hivernales (neige et gel au sol).

La partie de l'emprise du projet 154-08-0424 qui n'avait pas été inventoriée lors d'interventions antérieures et qui avaient été jugées à potentiel archéologique a ainsi fait l'objet d'un inventaire archéologique partiel. Cinquante-sept sondages exploratoires parmi lesquels deux d'entre eux étaient des sondages tests ont été réalisés selon les normes prescrites par le MTMDET (intra chapitre 3.1) (figures 17 et 18, tableau 9). S'ajoute à cela une inspection visuelle minutieuse de la totalité de l'emprise jugée à potentiel archéologique autant dans la portion sud-ouest que dans la portion nord-est du projet 154-08-0424.

Le projet de construction du nouveau pont surplombant la rivière Mistassini touchait à deux secteurs à potentiel archéologique distincts, l'un sur la rive sud-ouest de la rivière Mistassini et l'autre sur la rive nord-est (voir figure 4).

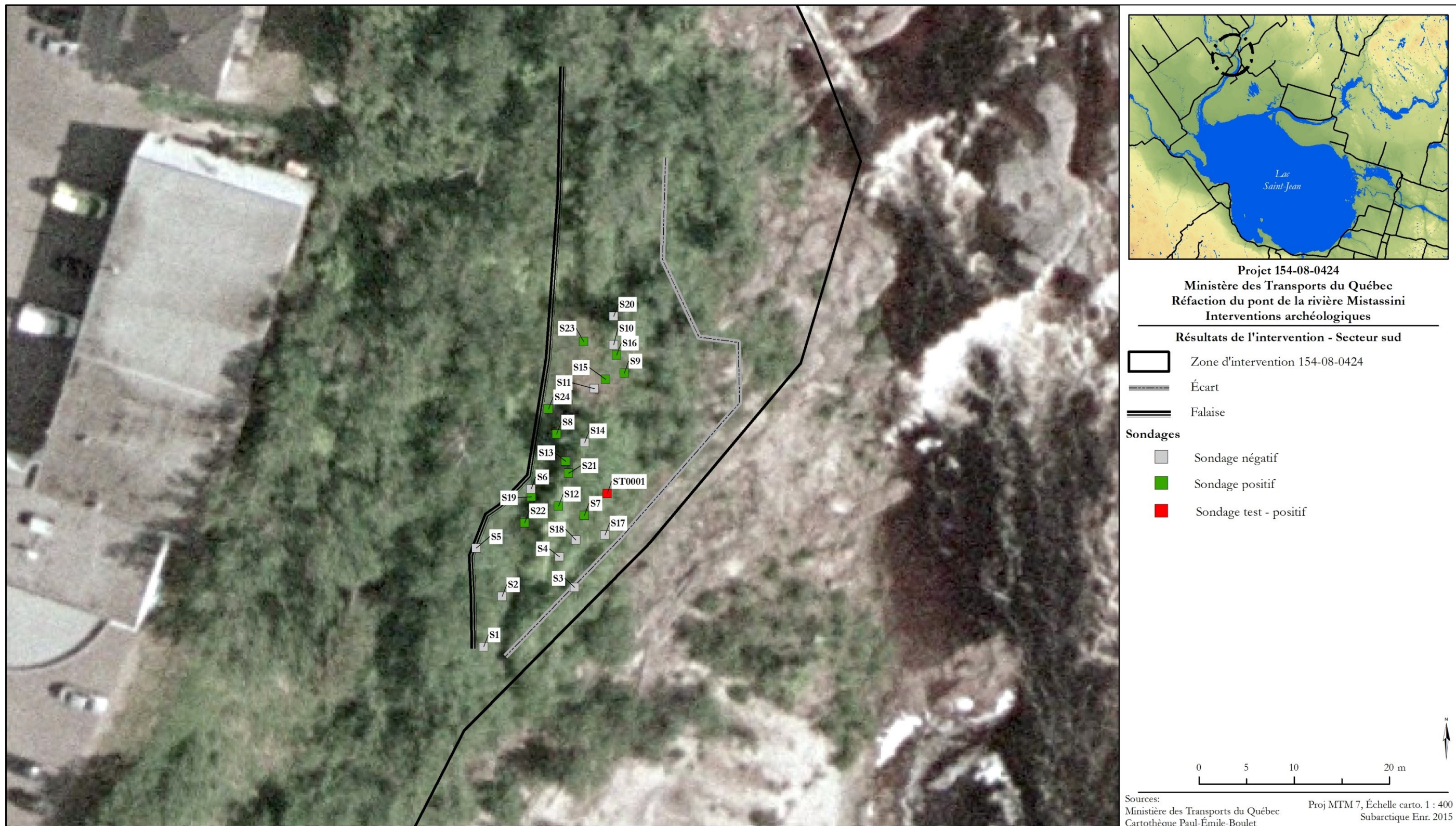


Figure 17 : Projet 154-08-0424, répartition des sondages exploratoires situés à l'intérieur de la section archéologique de l'emprise de la portion sud-ouest, Direction territoriale du Saguenay-Lac-Saint-Jean-Chibougamau



Figure 18 : Projet 154-08-0424, répartition des sondages exploratoire situés à l'intérieur de la section archéologique de l'emprise de la portion nord-est. Direction territoriale du Saguenay-Lac-Saint-Jean-Chibougamau

# Projet	Superficie (m ²)	Environnement	Perturbations anthropiques	Contextes pédologiques	Intervention archéologique	Nb. sondages	
						+	-
154-08-0424	~11 809	Milieu boisé (jeunes feuillus), affleurements rocheux, pentes abruptes, milieux urbains, emprises routières.	Présence à courte distance d'aménagements anthropiques (routes, parc, piste cyclable, agriculture)	Sols minéraux d'ordre podzologique et régosolique, sols organiques et affleurement rocheux	Sondages exploratoires et inspection visuelle	24	33

Tableau 9 : Projet 154-08-0424, synthèse de l'inventaire archéologique

5.1 Sud-ouest de la rivière Mistassini (DfFb-5)

Ce sous-secteur du secteur inventorié située au sud-ouest de la rivière Mistassini et au sud de l'actuelle route 169 montre une superficie d'environ 6363 m² et recouvre deux types d'emprises distinctes. Une partie (1398 m², lot 2909176 pt. 8) se trouve dans une emprise permanente du MTMDET, alors que la plus grande partie (4955 m², lot 2909176 pt 9) se trouve dans une servitude de travail temporaire (voir figure 3) accordée par la municipalité de Dolbeau-Mistassini. Seule la partie se trouvant dans la servitude de travail a pu être partiellement inventoriée par sondages au cours des travaux de l'automne 2015.

En plus d'une inspection visuelle, 25 sondages exploratoires ont été réalisés dans ce secteur, parmi lesquels un sondage test. De ce nombre, 12 se sont avérés positifs. Au départ, il avait été convenu avec le qu'en raison du fort potentiel archéologique des lieux, deux lignes de sondages, distancés à un peu moins de 10 m de distance l'une de l'autre, seraient effectuées depuis l'extrémité ouest (vers l'est) de la zone à potentiel archéologique. Rapidement, dès le quatrième sondage, des vestiges archéologiques lithiques ont été identifiés, ce qui a nécessité une façon de faire différente, en accord avec les exigences du lors de la découverte de matériel archéologique (voir intrant 3.2.1). Des sondages ont donc été effectués à chaque 3 m autour des sondages positifs alors agrandi à 50 x 50 cm, en tenant compte de l'allégement méthodologie autorisé par l'archéologue chargé d'activité du MTMDET. Ainsi, de nombreux sondages intermédiaires n'ont pas été effectués et, de façon plus générale, il n'a pas été possible d'inventorier la partie la plus à l'est de la terrasse (voir figures 3 et 17).

5.1.1 Type de vestiges

La seule grande période représentée dans les vestiges des sondages positifs de ce secteur témoigne d'une fréquentation au cours de la Paléohistoire. En effet, outre des vestiges très récents découverts en surface, seules ont été recueillies des pièces lithiques qui semblent témoigner de la Paléohistoire récente.

5.1.2 Quantité de vestige et caractérisation typologique

En tout et pour tout, 270 pièces lithiques ont été découverts dans les 12 sondages positifs. De ce nombre, 247 pièces sont soit des éclats ou débris témoignant du débitage de blocs ou galets. Parmi les autres objets se trouvaient des nucléus (nb=9), éclats retouchés (nb=6), grattoirs (nb=3), etc. (tableau 10). Aucun de ces outils ou encore pièces témoignant de la chaîne opératoire ne semblent typique d'une période chronologique spécifique.

Ce que ces vestiges suggèrent, c'est que les gens qui se sont arrêtés sur le site DfFb-5 arrivaient sur place avec les galets de calcédoine et d'argilite qu'ils taillaient sur place. Toutes les étapes de la chaîne opératoire sont en effet représentées depuis le décorticage jusqu'à la finition par pression (tableau 11).

Typologie	Nombre	Pourcentage
Débris	73	27.03%
Ébauche (incertain)	1	0.3%
Éclat	170	62.9%
Éclat retouché	6	2.2%
Enclume	1	0.3%
Fragment angulaire	4	1.48%
Grattoir	3	1.1%
Marteau ou percuteur	2	0.7%
Nucléus	9	3.3%
Percuteur (incertain)	1	0.3%
Total	270	100%

Tableau 10 : Typologie des artefacts

Technique présumée	Nombre	Pourcentage	
Percussion bipolaire sur enclume	1	0.3%	
Percussion directe dure	9	3.3%	
Percussion directe dure (incertaine)	20	7.4%	
Percussion directe tendre	53	19.6%	
Percussion directe tendre (incertaine)	23	8.5%	
Percussion directe tendre/pression	6	2.1%	
Pression	15	5.5%	
Pression incertaine	4	1.4%	
Nucléus	1 plan de frappe	1	0.3%
	2 plans de frappe	4	1.4%
	3 plans de frappe	3	1.1%
	4 plans de frappe	1	0.3%
Indéterminée	47	17.4%	
Ne s'applique pas	83	30.7%	
Total	270	100%	

Tableau 11 : Technique de taille présumée

5.1.3 Provenance du matériel

Depuis plusieurs années (Langevin 2015), les vestiges lithiques découverts sur le bassin hydrographique de la rivière Saguenay (dont le lac Saint-Jean fait partie) ont été, entre autres études, analysés selon la provenance des matières premières. Trois groupes distincts ont été créés. Cette façon de faire résulte de la démonstration de l'importance de l'identification des sources de matières premières utilisées par les occupants paléohistoriques pour comprendre les comportements économiques. En effet, de l'identification de ces sources dépend notre capacité à percevoir les tendances socio-économiques et même l'identification culturelle et géographique des populations concernées (ibid.).

Depuis 2000, une méthode de ségrégation évolutive des matières premières est systématiquement utilisée à l'échelle régionale (Langevin 2015). Les matières premières sont divisées non pas selon leur origine géochimique, mais selon l'éloignement présumé de leur source.

Une matière première est considérée comme :

Locale: lorsque sa source se situe vraisemblablement à l'intérieur d'une journée de marche ou de navigation (aller-retour) du site. Dans le cadre de l'Anse-à-la-Croix, il s'agit souvent de matières premières d'origine plutoniques (anorthosite, andésite, gneiss, etc.) que les occupants du site se procuraient à même la berge.

Régionale: lorsque sa source est susceptible d'être présente à l'intérieur d'un rayon de 100 km du site. Le quartz, parce qu'il abonde dans le bouclier sans pourtant que des sources exploitables soient connues à proximité de l'anse a été considéré comme tel. La calcédoine, parce qu'elle peut venir du lac Saint-Jean ou de la région de Chicoutimi, de même que les quartzites blancs qui contrairement à ce que l'on croyait auparavant proviendraient, dans le cas des sites de l'Anse-à-la-Croix, du fjord du Saguenay, ont été considérés comme d'origine régionale. Cette attribution est également donnée pour les matériaux sédimentaires, tels le schiste et le siltstone, essentiellement absents de façon naturelle dans les environs du fjord du Saguenay, mais à proximité dans la vallée du Saint-Laurent.

Suprarégionale: lorsque sa source est fortement susceptible d'être présente au-delà d'un rayon de 100 km du site. Il s'agit de la catégorie la plus difficile à cerner d'un point de vue méthodologique, car elle inclut des matériaux dont la source est *présumée* ou carrément inconnue. Les cherts, les jaspes et la rhyolite ont été inclus dans cette catégorie.

L'analyse des vestiges lithiques découverts au cours de cette première intervention sur le site DfFb-5 révèle que deux matières premières se partagent 77.6% de l'assemblage : la calcédoine bleue-grise d'origine locale et une argilite grise/noire dont il est présumé qu'elle provient de galets découverts sur la plage (tableau 12).

Matière première	Nombre	Pourcentage
Argilite (incertaine)	40	14.8%
Calcédoine	170	62.8%
Chert (incertain)	32	11.8%
Métaquartzite	1	0.3%
Quartz	12	4.3%
Quartzite	2	0.7%
Quartzite (Témiscamie)	1	0.3%
Quartzite (incertain)	2	0.7%
Quartzite grossier	1	0.3%
Schiste	1	0.3%
Plutonique	7	2.6%
Indéterminé	1	0.3%
Total	270	100%

Tableau 12 : Nombre et pourcentage de matière première de nature lithique présente mis au jour lors de l'inventaire de DfFb-15 (2015)

À cette étape, les comparaisons avec d'autres sites régionaux ne sont pas aisées. En fait la principale comparaison concerne le site DfFb-1, situé à moins d'un km du nouveau site. Les travaux effectués sur ce dernier site ont révélé que la calcédoine bleue grise et l'argilite comptait pour 26% de l'ensemble. Le quartzite, pour l'essentiel une variété hétérogène souvent noirâtre et une variété blanche, comptait pour sa part pour 51% du total. Notons que l'assemblage de DfFb-5 ne compte actuellement que 6 pièces de quartzite, dont seulement une proviendrait du quartzite de la rivière Témiscamie.

Des constats récemment tirés de l'analyse des collections régionales suggèrent un accroissement de la calcédoine dans les assemblages principalement à partir du Sylvicole moyen tardif, donc vers 1500 A.A. Dès lors, le quartzite de la rivière Témiscamie et, de façon générale, les matériaux d'origine suprarégionale verraient leur présence fortement diminuer, tout au moins sur les basses terres du lac Saint-Jean. Sur les hautes terres nordiques, le quartzite et le quartz demeurent majoritaires, la calcédoine locale ne réussissant jamais à s'imposer comme matière première de choix au-delà de 50 km des affluents.

5.1.4 Distribution des vestiges

Distribution horizontale

L'inventaire archéologique réalisé sur la portion sud-ouest de l'emprise du projet 154-08-0424 a permis d'identifier deux aires d'occupation (stations #1 et #2) qui, à première vue, semblent être distinctes l'une de l'autre (figure 19). Cependant, il est important de



rappeler que les conditions météorologiques de même que le moment tardif de l'intervention n'ont pas permis de déterminer si ces deux aires sont reliées l'une à l'autre.



Figure 19 : Projet 154-08-0424, localisation des deux stations de la portion sud-ouest de l'emprise

De fait, les deux aires d'occupation présumées ne sont éloignées que d'environ douze mètres l'une de l'autre. Située au sud de la station 2, la station 1 s'est révélée la plus riche des deux par la mise au jour de neuf sondages exploratoires positifs (tableau 14). L'aire occupée par ces neuf sondages positifs et leur périphérie immédiate couvre environ 122 m². La seconde station a quant à elle livré quatre sondages positifs. L'aire occupée par ces derniers et leur périphérie immédiate couvre environ 52 m².

# sondage	Éclat/Débris	Outil/Étape	Total	Pourcentage
7	36	3	39	14.4%
8	1	2	3	1.1%
9	12	0	12	4.4%
12	122	10	132	48.9%
13	6	3	9	3.3%
14	1	0	1	0.4%
15	4	1	5	1.9%
16	5	3	8	3.3%
19	10	1	11	4.1%
20	0	1	1	0.4%
21	13	2	15	5.6%
22	2	0	2	0.8%
23	31	1	32	11.9%
Total	243	27	270	100%

Tableau 13 : Site DfFb-5, type de vestiges et distribution par sondages

En ce qui a trait au secteur sud-ouest de l'emprise du projet 154-08-0424, seuls 615 m² des 1315 m² propices ont été soumis à la réalisation de sondages exploratoires.

Distribution verticale

Les podzols dominent les dépôts meubles de l'emprise inventoriée au sud-ouest de la rivière Mistassini (voir tableaux 3 et 4). Ainsi, des horizons minéraux de type Ah, Ae et Bf ou Bfc ont été mis au jour lors de la réalisation des différents sondages exploratoires.

Les témoins lithiques découverts sur la portion sud-ouest ont été principalement recueillis à la base de l'horizon Ah et, dans quelques autres cas, dans les premiers cm de l'horizon suivant⁵ (tableau 15; annexe 5). Tout dépendamment de l'endroit où furent réalisés ces sondages, la localisation verticale des vestiges paléohistoriques varie entre 12 et 35 cm sous la surface du sol.

⁵ Les horizons minéraux suivant l'horizon Ah varient selon les sondages exploratoires. Ainsi, dans certains cas nous faisons face à un horizon Ae. Dans d'autres cas cependant nous faisons face à un horizon B etc. (voir annexe 4).

Niveau	Nombre	Pourcentage
Humus	3	1.1%
Ah	168	62.2%
Ae	60	22.22%
Interface Ah/Ae	3	1.1%
Interface Ae/B	36	13.3%
Total	270	100%

Tableau 14 : Site DfFb-5, distribution verticale des vestiges

5.2 Nord-est de la rivière Mistassini (DfFb-6)

Sur papier, le secteur à potentiel archéologique présentait une surface d'environ 10 700 m² (voir figure 2, lot 3329868). Une fois sur le terrain, il s'est avéré qu'environ 50% du total de l'emprise à potentiel archéologique recelait réellement un tel potentiel, soit environ 5446 m². Les lignes d'inventaire ont été tout d'abord orientées dans une direction allant de l'ouest vers l'est, pour ensuite se rediriger dans une direction allant du sud-ouest de l'emprise vers le nord-est de cette dernière. C'est donc une aire approximative de 5446 m² qui fut couverte par la réalisation de sondages exploratoires ainsi que par une inspection visuelle méticuleuse.

Au total, 33 sondages exploratoires ont été réalisés, parmi lesquels un sondage test. De ce nombre, 12 se sont avérés positifs. L'exercice archéologique s'est déroulé au cours d'une seule journée en tenant compte de l'allègement méthodologie autorisé par l'archéologue chargé d'activité du MTMDET. Ainsi, pour ce sous-secteur, il fut convenu d'établir des lignes d'inventaire distancées les unes des autres de 15 m afin de réaliser des sondages exploratoires d'une dimension de 30 x 30 cm distancés, eux aussi, de 15 m. Contrairement à la méthodologie de départ, il n'était pas nécessaire à cette étape-ci d'effectuer des sondages supplémentaires au 3 m lors de la mise au jour de sondages exploratoires positifs. De fait, les sondages positifs ont été localisés et identifiés sans plus.

5.2.1 Type de vestiges

Les sondages exploratoires positifs ont révélé au moins deux périodes distinctes d'occupation. La première occupation témoigne d'une fréquentation ayant eu lieu au cours de la Paléohistoire. En effet, trois sondages exploratoires ont révélé des vestiges lithiques. La seconde occupation révèle quant à elle une occupation ayant eu lieu lors de la période historique récente. Des vestiges de nature industrielle et usuelle ont en effet été mis au jour. Précisons que compte tenu du peu d'ancienneté de ces différents témoins et leur présence dans un niveau de remblais, ces derniers ont été élagués.

5.2.2 Nombre et caractérisation des vestiges

À ce jour, le site DfFb-6 ne se démarque pas à travers sa productivité. En effet, seulement 12 vestiges lithiques provenant de trois sondages ont été découverts et de ce nombre tous sont des produits de débitage (tableau 15).

Si ces vestiges sont significatifs des activités de taille qui ont eu lieu sur le gisement, il semble que l'on se soit surtout attardé à des activités de finition ou encore de réaffutage (tableau 16)

# sondage	Éclat/débris	Outil	Total	Pourcentage
26	7	0	7	59%
29	4	0	4	33%
32	1	0	1	8%
Total	12	0	12	100%

Tableau 15 : Site DfFb-6, type de vestiges et distribution par sondages

Technique présumée	Nombre	Pourcentage
Percussion directe dure	1	8%
Percussion directe tendre	1	8%
Percussion directe tendre (incertaine)	2	17%
Percussion directe tendre/pression	2	17%
Indéterminée	6	50%
Total	12	100%

Tableau 16 : Site DfFb-6, technique de taille présumée

5.2.3 Provenance du matériel

Quoiqu'un si faible échantillon puisse difficilement être interprétable au niveau des comportements économiques, il appert que l'essentiel des vestiges ont été tirées de deux matières premières, parmi lesquelles le quartzite blanc avec ou sans enfumures est le principal (nb =7). Deux sources sont envisageables à ce moment-ci, la première étant celle de la rivière Témiscamie, l'autre étant une source locale représentée par plusieurs des bifaces découverts sur le site DfFb-4 à proximité de DfFb-6.

5.2.4 Distribution des vestiges

Distribution horizontale

L'inventaire archéologique réalisé sur la portion nord-est de la portion à potentiel archéologique de l'emprise du projet 154-08-0424 a permis d'identifier une seule aire d'occupation paléohistorique (figure 20). Situé au nord-ouest de l'emprise inventorié, le site DfFb-6 pourrait ne pas s'étendre sur plus de 206 m².

Distribution verticale

Les régosols dominent les dépôts meubles de l'emprise située au nord-est de la rivière Mistassini (voir tableaux 3 et 4). Ainsi, des horizons minéraux de type Ah, ont majoritairement été mis au jour lors de la réalisation des différents sondages exploratoires. D'autres, cependant, ont révélé une succession d'horizon Ah, Ae et B.

Lors de l'excavation des sondages exploratoires positifs, il a été constaté que les témoins lithiques témoignant de l'occupation Paléohistorique de la terrasse nord-est provenaient tous de l'horizon Ae.



Figure 20 : Projet 154-08-0424, projet 154-08-0424, localisation des sondages positifs préhistorique de la portion nord-est de l'emprise

6. Discussion

L'inventaire archéologique réalisé dans le cadre du projet 154-08-0424 a mené à la découverte de deux nouveaux sites archéologiques témoignant d'occupations paléohistoriques.

Ce projet d'inventaire et les résultats qui en découlent s'ajoutent au corpus de données obtenu lors d'inventaires précédents réalisés dans un rayon de 5 km autour du projet à l'étude (Langevin 2001, 2002 et 2005; Langevin et Leblanc 1999; Langevin et Painchaud 2011; Patrimoine Experts 2003d; Pintal 1998d et 2000c) (voir figure 16 et tableau 8). Ces inventaires furent réalisés dans le cadre de divers projets ponctuels du MTMDET et de la Ville de Dolbeau ainsi que dans le cadre du Programme de stabilisation des berges du lac Saint-Jean commandité par Rio Tinto Alcan. Ces résultats, mis en lien avec les différentes occupations paléohistoriques et historiques répertoriés à l'intérieur du bassin hydrographique de la rivière Saguenay et de son sous-bassin de la rivière Mistassini réaffirment, une fois de plus, l'utilisation de cette rivière et de ses affluents par les populations amérindiennes anciennes (Intrant chapitre 4.1.2).

Les premières analyses des gisements mis au jour lors de l'inventaire 154-08-0424, tendent à démontrer des occupations paléohistoriques distinctes l'une de l'autre. Tout d'abord, elles se différencient dans l'espace. De fait, comme nous l'avons mentionné précédemment, une première occupation fût d'abord mise au jour sur une terrasse d'une altitude de 115 m située au sud-ouest de la rivière Mistassini. La seconde est située sur une terrasse de 112 m, sur la rive nord-est de la même rivière.

Ces deux mêmes occupations semblent dans un second temps se différencier également dans le temps. En effet, les premières analyses du matériel lithique mis au jour semblent démontrer la présence de trois matières premières distinctes. Sur la terrasse sud-ouest, ce sont principalement deux matières premières qui furent identifiées : de la calcédoine bleue-grise ainsi qu'une variété d'argilite locale de couleur noire. La terrasse nord-est ne semble représentée quant à elle que par le quartzite de la rivière Témiscamie. Or, comme nous l'avons précédemment mentionné (Intrant chapitre 4.1.2), la somme des connaissances actuelles concernant les matières premières lithiques sur le bassin de la rivière Saguenay et ses affluents tend à démontrer que l'utilisation du quartzite de la rivière Témiscamie sur les basses terres du lac Saint-Jean laisse, au fil du temps, progressivement place à une plus grande présence de la calcédoine bleu-grise. À la lumière des données actuelles concernant ces deux nouveaux sites, il semblerait donc que la portion sud-ouest (DfFb-5) soit moins ancienne que celle ayant eu lieu sur la terrasse nord-est (DfFb-6).

Les vestiges qui sont ressortis des trois sondages du site DfFb-6 suggèrent donc une occupation plus ancienne, probablement antérieure à 2400 A.A. et qui s'accorderait avec les découvertes effectuées sur le site DfFb-4 situé à quelques centaines de mètres de ce nouveau site. Or, dans la mesure où les deux stations du site DfFb-4 ont été détruites dans le cadre de travaux antérieurs, ce nouveau site présente un potentiel scientifique particulièrement intéressant, d'autant plus que cette période chronologique n'est pour l'heure que peu ou pas documentée sur le cours de la rivière Mistassini.

Quant au site DfFb-5, il présente de nombreuses similitudes avec le site DfFb-1 situé sur l'autre versant de la rivière à la confluence des rivières Mistassini et Mistassibi. Or, les fouilles partielles effectuées sur ce DfFb-1 ont révélé que celui-ci avait été perturbé lors de l'exploitation agricole de la Pointe des Pères (Langevin et LeBlanc 1999). La contribution scientifique que pourrait avoir DfFb-5 est dès lors majeure. En effet, en plus de documenter une période peu connue sur ce sous-bassin hydrographique, ce site constitue l'un des rares exemples de lieu sur les basses terres du lac Saint-Jean dont la stratigraphie n'a pas été perturbée par une activité anthropique ultérieure à sa formation. Qui plus est, malgré certaines données historiques (tradition orale) qui suggéraient que les portages se faisaient sur le versant est de la rivière, la présence de DfFb-5 (située sur le versant ouest) suggère que les deux versants étaient fréquentés (Langevin et LeBlanc 1999; LeBlanc 1997). L'ancienneté de l'occupation pourrait expliquer pourquoi il ne reste aucune trace dans la mémoire vivante de passages à cet endroit.

De manière tout aussi prudente, ces deux gisements pourraient contribuer à la question de l'identité culturelle des groupes qui fréquentaient la rivière Mistassini d'une part et les basses terres du lac Saint-Jean d'autre part. En effet, une synthèse récente des connaissances archéologiques de la région du Saguenay Lac-Saint-Jean suggère que les Kakouchacks, qui occupaient les basses terres du lac Saint-Jean à la fin de la Paléohistoire, auraient favorisé l'emploi de la calcédoine plutôt qu'une autre. Ainsi, il serait envisageable que le site archéologique mis au jour sur la terrasse sud-ouest puisse témoigner de leur présence (Langevin 2015). Quant à la terrasse sud-est, selon la date qui pourra éventuellement lui être attribuée, il pourrait s'avérer possible de déterminer si (1) la rivière Mistassini à environ à 20 km de sa sortie dans le lac Saint-Jean est fréquentée par les mêmes familles qui fréquentent les rives du lac Saint-Jean, (2) avec qui les populations originales entretenaient des relations et (3), tout au moins dans le cas du quartzite de la rivière Témiscamie, sous quelle forme, celui-ci arrivait dans la région du lac Saint-Jean et donc, si son obtention relevait d'un accès direct ou indirect à la source.

Au point de vue géographique, la découverte de ces deux nouveaux sites archéologiques n'est pas surprenante en soi. En effet, ces derniers se situent à proximité de la confluence

des rivières Mistassini et Mistassibi. Déjà, le potentiel archéologique de l'endroit avait été confirmé par la mise au jour des sites DfFb-1 et DfFb-4 (Langevin 1991; Langevin et Leblanc 1999 et 2001a) situés à l'est et au nord des sites DfFb-5 et DfFb-6 (voir figure 16). Ainsi, autant la terrasse nord-est que celle située au sud-ouest deviennent des lieux pouvant favoriser la rencontre des groupes empruntant le cours des rivières Mistassini et Mistassibi ainsi que de ceux évoluant davantage sur les basses terres du lac Saint-Jean, voire du cours supérieur de la rivière Mistassini. Par ailleurs, la présence de forts rapides localisés entre les deux secteurs archéologiques témoigne sans aucun doute du fait que la fonction principale liée à DfFb-5 et 6 en est une de portage afin que soient rejointes les terres nordiques depuis le lac Saint-Jean ou, au contraire, soit atteint ce dernier lors de la descente de la rivière Mistassini. Ce même schéma semble avoir également été celui des occupations des sites DfFb-2 situés un peu plus en amont de la rivière Mistassini et du site DfFb-3 situées pour sa part un peu plus en amont de la rivière Mistassibi (Langevin et Leblanc 1999).

La fouille éventuelle des sites DfFb-5 et DfFb-6 pourrait confirmer ou infirmer les hypothèses émises ci-dessus.

7. Recommandations

Cette intervention ayant mené à la découverte de deux nouveaux sites archéologiques, nous recommandons que le MTMDET procède à des travaux archéologiques supplémentaires préalablement à la réalisation des travaux prévus.

Dans un premier temps, il est recommandé de poursuivre le processus d'inventaire archéologique sur la portion sud-ouest (DfFb-5) par la réalisation de nouveaux sondages exploratoires sur une superficie approximatif de 700 m² où de nouvelles aires d'occupation paléohistorique associée au site DfFb-5 pourraient être mises au jour, augmentant du coup les superficies à fouiller sur la terrasse sud-ouest.

Dans un second temps, nous recommandons que les aires connus du site DfFb-5, situés au sud-ouest de la rivière Mistassini, ainsi l'aire connu du site DfFb-6, situé au nord-est de cette même rivière, soient fouillés. Mis ensemble, les fouilles archéologiques des deux stations présumées du site DfFb-5 ainsi que celle du site DfFb-6 couvriraient une aire approximative 456 m². Cette superficie est sujette un ajustement suite à la réalisation de l'inventaire complémentaire.

Globalement, la superficie des aires à potentiel archéologiques restantes après les expertises de l'automne 2015 est d'environ 1215 m² pour DfFb-5 et de 206,6 m² pour DfFb-6 (figure 21).



Figure 21 : Projet 154-08-0424, aires d'occupation présumées des sites DfFb-5 et DfFb-6

8. Conclusion

Le mandat confié à Subarctique Enr. a donné lieu à la réalisation d'un inventaire archéologique dans le cadre d'un projet de construction d'un nouveau pont au-dessus de la rivière Mistassini dans les limites de la Direction territoriale du Saguenay-Lac-Saint-Jean-Chibougamau.

Au total, une emprise couvrant une superficie de 11 809 m² a été inventoriée par une inspection visuelle, alors que 6486 m² ont été sondés par la réalisation de 57 sondages exploratoires ayant révélé deux nouveaux sites archéologiques : DfFb-5 et DfFb-6. Les secteurs inventoriés avaient été au départ considérés comme étant propices à l'occupation humaine de nature paléohistorique ou historique. Il est recommandé de procéder à un inventaire complémentaire des zones à potentiel identifiées ainsi qu'à des fouilles archéologiques des sites archéologiques mise au jour préalablement à la poursuite des travaux du MTMDET.

Bibliographie

BLANCHETTE, Jean-François, 1976 : *Expédition archéologique au lac Piraube, août 1975*. Société d'archéologie du Saguenay, Chicoutimi, 18 p.

BLOUIN, J. et J.-P. Berger, 2003 : *Guide de reconnaissance des types écologiques des régions écologiques 4d- Hautes collines de Charlevoix et du Saguenay et 4e –Plaine du lac Saint-Jean et du Saguenay*, Québec, ministère des Ressources naturelles, de la Faune et des Parcs, Forêt Québec, Direction des inventaires forestier, Division de la classification écologique et productivité des stations 202 p.

CLERMONT, Norman et Claude Chapdelaine, 1982 : *Pointe-du-Buisson 4: Quarante siècles d'archives oubliées*. Recherches amérindiennes au Québec, Montréal, 170 p.

GROUPE DE TRAVAIL SUR LA CLASSIFICATION DES SOLS, 2002: *Le système canadien de classification des sols*, Presses scientifiques du CNRC, Ottawa, 196 p.

LANGEVIN, Érik, 1991: *Inventaire Archéologique 1991. Rapport d'activité soumis à la Société d'Électrolyse et de Chimie Alcan, Programme de stabilisation des berges du lac Saint-Jean. Groupegénie Inc.*, Chicoutimi, 267 p.

----, 2002: *Inventaire Archéologique Alcan. Bilan des activités de l'automne 2001*. Société d'Électrolyse et de Chimie Alcan Ltée, Programme de stabilisation des berges du lac Saint-Jean. Laboratoire d'archéologie, Université du Québec à Chicoutimi, Chicoutimi, 112 p.

----, 2005 : *Inventaire Archéologique Alcan. Bilan des activités de l'automne 2004*. Alcan, Division Métal Primaire, Programme de stabilisation des berges du lac Saint-Jean. Laboratoire d'archéologie, Université du Québec à Chicoutimi, Chicoutimi, 135 p.

----2015: *Un fjord, une rivière, un lac et des ruisseaux. Variabilité culturelle paléohistorique sur le bassin hydrographique de la rivière Saguenay (Québec, Canada)*, Thèse de Doctorat, Université de Montréal, Montréal.

LANGEVIN, Érik et Jean-Michel Lavoie-Painchaud., 2011: *Inventaire archéologiques (2011), Direction du Saguenay-Lac-Saint-Jean, Service de la Coordination, de la Planification et des Ressources, Direction générale de Québec et de l'Est, Ministère des Transports du Québec, contrat 6203-10-AD03, Subarctique Enr.*, Chicoutimi, 43 p. + CD + annexes. *Rapport en commandite*

LANGEVIN, Érik et David LeBlanc, 1999 : *Préhistoire de la Pointe des Pères, Dolbeau-Mistassini. Activités de l'automne 1998*. Municipalité de Dolbeau-Mistassini. Subarctique Enr., Chicoutimi, 92 p.

----, 2001: *Intervention supplémentaire sur la Pointe des Pères, Dolbeau-Mistassini. Activités de l'automne 2000*. Municipalité de Dolbeau-Mistassini. Subarctique Enr., Chicoutimi, 22 p.

LEBLANC, David, 1997: *Rivières Mistassini, Mistassibi et Petite Péribonka. Étude de potentiel archéologique*. Rapport de recherche présenté dans le cadre du cours Analyse des témoins en archéologie. Université du Québec à Chicoutimi, Chicoutimi, 18 p.

MARSAN, André et Associés, 1983 : *Étude d'impact sur l'environnement et le milieu social. Le milieu, le phénomène d'érosion et l'analyse de gestion des niveaux du lac*. Tome 1. ALCAN, Programme de stabilisation des berges du lac Saint-Jean, Montréal, 262 p.

PATRIMOINE EXPERTS; 2003d : *Inventaires archéologiques (été 2002), Direction du Saguenay-Lac-Saint-Jean-Chibougamau, Direction générale de Québec et de l'Est, MTQ, rapport inédit, 70 p.*

PINTAL, Jean-Yves, 1998d: *Inventaires archéologiques, directions Bas-Saint-Laurent - Gaspésie - Îles-de-la-Madeleine, Saguenay - Lac-Saint-Jean, Côte-Nord, MTQ, rapport inédit, 223 p.*

----, 2000c: *Intervention archéologiques, Direction du Saguenay-Lac-Saint-Jean-Chibougamau, MTQ, rapport inédit, 55 p.*

SPENCE, Michael W., Robert H. Pihl et Carl R. Murphy, 1990: « Cultural Complexes of the Early and Middle Woodland Region », in Chris J. Ellis et Neal Ferris (éd.), *The Archaeology of Southern Ontario to 1650 A.D.*. Publication occasionnelle du chapitre de London, OAS (5), pp. 125-170.

SPECK, Frank G., 1927: «Family Hunting Territories of the Lake St-John Montagnais and Neighbouring Bands» *Anthropos*, vol. 22: 387-403.

En ligne

ATLAS ÉLECTRONIQUE DU SAGUENAY LAC SAINT-JEAN : *Bassins versant du Saguenay et du Lac Saint-Jean* [en ligne].

<http://www.uqac.ca/atlas/saguenay-lac-saint-jean/>

ENERGIE ET RESSOURCES NATURELLES DU QUÉBEC (2015) : *Grefte de l'arpenteur général du Québec* [en ligne].

<https://appli.mern.gouv.qc.ca/GagqConsultation/tb14.aspx?Jeton=f43f8cda-017c-4bfd-8d35-05f232c8bb11&IdTraitement=d92f969f-ced6-4e91-b63d->

[4e135ae4051e&NbrRecords=199](#) (page consultée le 15/02/2015)

INSTITUT DE RECHERCHE ET DÉVELOPPEMENT EN AGROENVIRONNEMENT
(2013) : *Information sur les sols/études pédologiques* [en ligne].

<http://www.irda.qc.ca/fr/> (page consultée le 12/01/2016)

MINISTÈRE DE L'ÉNERGIE ET DES RESSOURCES NATURELLES (2014) :
Géologie du Québec [en ligne].

<http://www.mern.gouv.qc.ca/accueil.jsp> (page consulté le 12/01/2016)

VILLE DE DOLBEAU MISTASSINI (2013) : *Histoire de Dolbeau et Mistassini* [en
ligne].

<http://ville.dolbeau-mistassini.qc.ca/Dolbeau.html> (page consultée le 11/02/2016)

Annexe 1 : Catalogue des objets

No objet	nb	# sondage	Loc Nord	Loc Est	Prof.	PR	Niveau	Intégrité	Typologie	Matière première	Couleur	Texture	Cortex	Poids (g)	Longueur (mm)	Largeur (mm)	Épaisseur (mm)	traitement thermique	Technique présumée	Identification	Caract typo comments
15.001	1	12	32	22	0		Ah	Entier	éclat 1	Calcédoine	gris pale rubanée gris foncé	très fin	3ième stade	3	29.5	24.6	4.8		Percussion directe tendre 1	Éclat de décortilage	Le talon semble être lisse malgré la fracture
15.002	1	12	26	21	16		Ah	Entier	éclat 1	Calcédoine	gris pale rubané gris foncé	très fin	1ière stade	12	33.5	34.5	13		percussion directe dure 1	décortilage	
15.003	1	12	17	24	24	1-2015	Ah	Entier	éclat 1	Calcédoine	gris pale enfumé gris foncé	fin/très fin		3	24.5	30	5.5		indéterminée	éclat de préparation	
15.004	1	16	0	0	0		Ah	Entier	éclat 1	Calcédoine	blanc rubané gris pale	très fin			11.5	8	1.5		percussion directe tendre ?	préparation	
15.005	1	16	0	0	0		Ah	Entier	éclat 1	Calcédoine	Gris pale	très fin			4.5	4.5	1		pression 1	éclat de finition	
15.006	1	16	0	0	0		Ah	Entier	éclat 1	Calcédoine	gris/beige translucide	très fin			8.5	4.5	1.5		pression 1	finition ?	
15.007	1	9	0	0	0	1-2015	interface Ae/B	Entier	éclat 1	Calcédoine	gris verdâtre rubané gris foncé	très fin	2ième stade	5	21	31	9		percussion directe dure ?	éclat de décortilage	
15.008	1	9	0	0	0		interface Ae/B	Entier	éclat 1	Calcédoine	gris verdâtre rubané gris foncé	très fin			4.7	2.4	3.4		percussion directe dure 1	plein débitage	
15.009	1	9	0	0	0		interface Ae/B	Entier	éclat 1	Calcédoine	gris verdâtre rubané gris foncé	très fin			17	12	2		Percussion directe tendre 1	amincissement bifacial	
15.010	1	9	0	0	0		interface Ae/B	Entier	débris	Calcédoine	gris verdâtre rubané gris foncé	très fin			12.5	5	1.5		Ne s'applique pas	éclat secondaire	éclat secondaire à la taille
15.011	1	9	0	0	0		interface Ae/B	Entier	éclat 1	Quartz laiteux	rosé	fin		1	21.5	16	6.5		percussion directe dure 1	plein débitage	
15.012	1	7	0	0	0		Ae	Entier	éclat 1	plutonique	gris foncé rougeâtre	moyen/grossier		8	28.5	44	7		Percussion directe tendre 1	plein débitage	
15.013	1	7	0	0	0		Ae	Fragmentaire	éclat 1	argilite	gris/noir	moyen/grossier		3	35	23.5	4		Percussion directe tendre 1	plein débitage	
15.014	1	14	0	0	0		Ae	Entier	éclat 1	argilite	gris/noir	moyen/grossier		5	43.5	30	5.5		Percussion directe tendre 1	plein débitage	réflexissement en partie distale
15.015	1	7	0	0	0		Ae	Entier	éclat 1	argilite	gris foncé	moyen/grossier		8	30.5	50.5	6		percussion directe tendre ?	plein débitage	
15.016	1	7	0	0	0		Ae	Fragmentaire	éclat 1	argilite	gris foncé	moyen/grossier	1ière stade	5	30	27	4.5		percussion directe tendre ?	plein débitage	fracture en partie distale
15.017	1	7	0	0	0		Ae	Entier	éclat 1	argilite	gris foncé	moyen/grossier		2	27	21.5	4		Percussion directe tendre 1	plein débitage	
15.018	1	7	0	0	0		Ae	Fragmentaire	éclat 1	argilite	gris foncé	moyen/grossier		3	30	31	5.5		indéterminée	plein débitage	talon absent, fracture proximale
15.019	1	7	0	0	0		Ae	Fragmentaire	éclat 1	argilite	gris foncé	moyen/grossier		1	23.5	16	3		Percussion directe tendre 1	plein débitage	
15.020	1	7	0	0	0		Ae	Fragmentaire	éclat 1	argilite	gris foncé	moyen/grossier		2	21.5	27.5	5.5		Percussion directe tendre 1	plein débitage	
15.021	1	7	0	0	0		Ae	Entier	éclat 1	argilite	gris foncé	moyen/grossier		2	27	30.5	3.5		Percussion directe tendre 1	plein débitage	
15.022	1	7	0	0	0		Ae	Entier	éclat 1	argilite	gris foncé	moyen/grossier		1	21	19	3		Percussion directe tendre 1	plein débitage	
15.023	1	7	0	0	0		Ae	Entier	éclat 1	argilite	gris foncé	moyen/grossier		8	20	49	8		Percussion directe tendre 1	plein débitage	
15.024	1	7	0	0	0		Ae	Fragmentaire	éclat 1	argilite	gris foncé	moyen/grossier		3	21.5	31.5	6.5		Percussion directe tendre 1	plein débitage	
15.025	1	7	0	0	0		Ae	Entier	éclat 1	argilite	gris foncé	moyen/grossier		2	19.5	23.5	3		percussion directe dure 1	plein débitage	fracture distale

15.026	1	7	0	0	0		Ae	Fragmentaire	éclat 1	argilite	gris foncé	moyen/grossier		3	17	29.5	5.5		indéterminée	plein débitage	fragment méso-distal.
15.027	1	7	0	0	0		Ae	Entier	éclat 1	argilite	gris foncé	grossier		1	16.5	23.5	5.5		indéterminée	plein débitage	
15.028	1	7	0	0	0		Ae	Entier	éclat 1	argilite	gris foncé	grossier		2	17.5	28	5		Percussion directe tendre 1	plein débitage	
15.029	1	7	0	0	0		Ae	Fragmentaire	éclat 1	argilite	gris foncé	grossier		1	15	26.5	4		indéterminée	plein débitage	fragment mésial d'un éclat, manque la partie proximale. Accident de taille en partie distale, fracture de l'éclat.
15.030	1	7	0	0	0		Ae	Fragmentaire	éclat 1	argilite	gris foncé	grossier			11.5	25.5	4		indéterminée	plein débitage	fragment distal
15.031	1	7	0	0	0		Ae	Fragmentaire	éclat 1	argilite	gris	moyen/grossier			11.5	23	3.5		indéterminée	plein débitage	fragment mésial
15.032	1	7	0	0	0		Ae	Fragmentaire	éclat 1	argilite	gris	moyen			9	22	0		percussion directe tendre ?	plein débitage	longueur incomplète.
15.033	1	7	0	0	0		Ae	Entier	éclat 1	argilite	gris foncé	moyen/grossier		1	24	21.5	5.5		percussion directe dure ?	plein débitage	
15.034	1	7	0	0	0		Ae	Entier	éclat 1	argilite	gris foncé	moyen/grossier		1	16	19.5	3.5		Percussion directe tendre 1	façonnage ?	
15.035	1	7	0	0	0		Ae	Entier	éclat 1	argilite	gris	moyen			12	18.5	1.5		Percussion directe tendre 1	ammincissement bifacial	
15.036	1	7	0	0	0		Ae	Entier	éclat 1	argilite	gris	moyen/grossier		1	17.5	27.5	2.5		Percussion directe tendre 1	plein débitage	
15.037	1	7	0	0	0		Ae	Entier	éclat 1	argilite	gris	moyen/grossier			14.5	15	1.5		Percussion directe tendre 1	façonnage	
15.038	1	7	0	0	0		Ae	Entier	éclat 1	argilite	gris	moyen		1	17.5	20.5	2.5		percussion directe tendre ?	plein débitage	
15.039	1	7	0	0	0		Ae	Entier	éclat 1	argilite	gris	moyen			9.5	14	2		Percussion directe tendre 1	façonnage ?	accident de taille réfléchissement dans la partie distale
15.040	1	7	0	0	0		Ae	Fragmentaire	éclat 1	argilite	gris foncé	moyen/grossier			9	17	0		percussion directe tendre ?	indéterminé	longueur incomplète
15.041	1	7	0	0	0		Ae	Fragmentaire	éclat 1	argilite	gris foncé	moyen/grossier			6.5	14	2.5		indéterminée	indéterminé	fragment distal
15.042	1	7	0	0	0		Ae	Entier	éclat 1	argilite	gris	moyen/grossier			11	9	1.5		Percussion directe tendre 1	façonnage	accident de taille, cassure partie distale
15.043	1	7	0	0	0		Ae	Fragmentaire	éclat 1	argilite	gris foncé	moyen/grossier		5	19	42.5	6.5		indéterminée	plein débitage	fragment mésial d'un gros éclat
15.044	1	7	0	0	0		Ae	Fragmentaire	éclat 1	argilite	gris foncé	moyen/grossier		2	27	16.5	5.5		indéterminée	indéterminée	fragment mésial-distal
15.045	1	7	0	0	0		Ae	Fragmentaire	éclat 1	argilite	gris foncé	moyen/grossier		1	22	23	2.5		indéterminée	façonnage ?	accident de taille, outrepassement important
15.046	1	7	0	0	0		Ae	Entier	éclat 1	argilite	gris foncé	grossier	1ère stade	61	50	51	15		Ne s'applique pas		fragment angulaire.Tache rougeâtre.
15.047	1	12	13	41	0		Ah	Fragmentaire	éclat 1	Calcédoine	gris translucide	très fin	1ère stade	1	16	23	5.5		percussion directe dure 1	décortilage	éclat proximo-mésial
15.048	1	13	41	43	20	surface	Ah	Entier	éclat 1	Métaquartzite ?	beige brunâtre	grossier	1ère stade	24	44.5	49	11.5		percussion directe dure 1	décortilage	
15.049	1	16	13	23	10		Ah	Entier	éclat 1	Schiste ?	gris	grossier			55.5	43	7		indéterminée	indéterminée	
15.050	1	12	25	33	25		Ah	Entier	éclat 1	Calcédoine	gris translucide	fin	2ième stade	3	16.5	21.5	6		percussion directe dure ?	décortilage	
15.051	1	12	25	33	25		Ah	Entier	débris	Calcédoine		fin		1	18.5	11	6		Ne s'applique pas	éclat secondaire	
15.052	1	12	25	33	25		Ah	Entier	débris	Calcédoine	gris translucide	fin		1	21	14	5.5		Ne s'applique pas	fragment angulaire	

15.053	1	12	25	33	25		Ah	Entier	éclat 1	Calcédoine	gris translucide	fin		1	17.5	7.5	3.5		Percussion directe tendre 1	mise en forme	
15.054	1	12	25	33	25		Ah	Entier	débris	Calcédoine	gris translucide	fin			19	10	5.5		Ne s'applique pas	éclat secondaire	
15.055	1	12	25	33	25		Ah	Entier	débris	Calcédoine	gris translucide	fin			12.5	9	4.5		Ne s'applique pas	éclat secondaire	
15.056	1	12	25	33	25		Ah	Entier	débris	Calcédoine	gris translucide	fin			16.5	8	4		Ne s'applique pas	éclat secondaire	
15.057	1	23	0	0	0		interface Ae/B	Fragmentaire	éclat 1	chert 1	gris	fin/moyen			10	14	2.5		indéterminée	façonnage ?	manque la partie proximale
15.058	1	23	0	0	0		interface Ae/B	Entier	débris	chert 1	gris	fin/moyen			11	8	3		Ne s'applique pas	éclat secondaire	
15.059	1	23	0	0	0		interface Ae/B	Fragmentaire	débris	chert 1	gris	fin/moyen			10	11	12		Ne s'applique pas	éclat secondaire	
15.060	1	23	0	0	0		interface Ae/B	Entier	débris	chert 1	gris	fin/moyen			10	8	2.5		Ne s'applique pas	éclat secondaire	
15.061	1	23	0	0	0		interface Ae/B	Fragmentaire	éclat 1	chert 1	gris	fin/moyen	1		12.5	14.5	2.5		indéterminée	façonnage ?	
15.062	1	23	0	0	0		interface Ae/B	Entier	débris	chert 2	gris	fin/moyen			9	4.5	1.5		Ne s'applique pas	éclat secondaire	
15.063	1	23	0	0	0		interface Ae/B	Fragmentaire	éclat 1	chert 1	gris	fin/moyen	1		11	17	3		indéterminée	indéterminée	fragment distal d'un éclat
15.064	1	23	0	0	0		interface Ae/B	Entier	éclat 1	chert 1	gris	fin/moyen	1		10	15.5	3		indéterminée	indéterminée	
15.065	1	23	0	0	0		interface Ae/B	Fragmentaire	débris	chert 1	gris	fin/moyen			12	9	2.5		Ne s'applique pas	éclat secondaire	
15.066	1	23	0	0	0		interface Ae/B	Fragmentaire	éclat 1	chert 1	gris	fin/moyen			11	13.5	1.5		indéterminée	façonnage	
15.067	1	23	0	0	0		interface Ae/B	Fragmentaire	éclat 1	chert 1	gris	fin/moyen			5.5	17	2		indéterminée	indéterminée	fragment mésial, longueur incomplète
15.068	1	23	0	0	0		interface Ae/B	Fragmentaire	débris	chert 2	gris	fin/moyen			9	7.5	1.5		Ne s'applique pas	éclat secondaire	
15.069	1	23	0	0	0		interface Ae/B	Fragmentaire	éclat 1	chert 1	gris	fin/moyen	1		8	21	0		indéterminée	indéterminée	accident de taille, fracture en parti proximale, longueur incomplète et il ne s'agit pas de la largeur maximale de l'éclat.
15.070	1	23	0	0	0		interface Ae/B	Entier	éclat 1	chert 1	gris	fin/moyen	1		14	13	3		indéterminée	mise en forme/façonnage	buble disparu avec l'esquillement
15.071	1	23	0	0	0		interface Ae/B	Entier	débris	chert 1	gris	fin/moyen			11.7	10	2		Ne s'applique pas	éclat secondaire	
15.072	1	23	0	0	0		interface Ae/B	Entier	débris	chert 1	gris	fin/moyen			13.8	8.2	4		Ne s'applique pas	éclat secondaire	

15.073	1	23	0	0	0		interface Ae/B	Entier	éclat 1	chert 1	gris	fin/moyen			8.2	17.6	2		Percussion directe tendre 1	mise en forme/façonnage ?	
15.074	1	23	0	0	0		interface Ae/B	Entier	éclat 1	chert 1	gris	fin/moyen			8.2	12.7	2		percussion directe tendre ?	mise en forme/façonnage ?	
15.075	1	23	0	0	0		interface Ae/B	Entier	éclat 1	chert 1	gris	fin/moyen			9	13.7	2		Percussion directe tendre 1	façonnage	
15.076	1	23	0	0	0		interface Ae/B	Entier	éclat 1	chert 1	gris	fin/moyen			7.5	16.5	1.5		Percussion directe tendre 1	façonnage	
15.077	1	23	0	0	0		interface Ae/B	Fragmentaire	éclat 1	chert 1	gris	fin/moyen			8.8	12.2	2		percussion directe tendre ?	façonnage	
15.078	1	23	0	0	0		interface Ae/B	Entier	éclat 1	chert 1	gris	fin/moyen			9.2	7.3	1		pression 1	façonnage/ finition	
15.079	1	23	0	0	0		interface Ae/B	Entier	débris	chert 1	gris	fin/moyen			9.8	3.7	0		Ne s'applique pas	éclat secondaire	
15.080	1	23	0	0	0		interface Ae/B	Entier	débris	chert 1	gris	fin/moyen			10	4.8	0		Ne s'applique pas	éclat secondaire	
15.081	1	23	0	0	0		interface Ae/B	Entier	éclat 1	chert 1	gris	fin/moyen			7.6	8.3	0.9		percussion directe tendre/pression ?	façonnage/ finition	
15.082	1	23	0	0	0		interface Ae/B	Entier	débris	chert 1	gris	fin/moyen			6.4	6	1.3		Ne s'applique pas	éclat secondaire	
15.083	1	23	0	0	0		interface Ae/B	Fragmentaire	éclat 1	chert 1	gris	fin/moyen			8.4	8.7	1		percussion directe tendre/pression ?	indéterminée	
15.084	1	23	0	0	0		interface Ae/B	Entier	éclat 1	chert 1	gris	fin/moyen			7.3	10	1.5		percussion directe tendre/pression 1	façonnage/ finition	
15.085	1	23	0	0	0		interface Ae/B	Entier	débris	chert 1	gris	fin/moyen			8.1	5.3	1.44		Ne s'applique pas	éclat secondaire	
15.086	1	23	0	0	0		interface Ae/B	Entier	débris	chert 1	gris	fin/moyen			6.5	6.3	1.3		Ne s'applique pas	éclat secondaire	
15.087	1	23	0	0	0		interface Ae/B	Entier	éclat 1	chert 1	gris	fin/moyen		1	8.8	16.9	2.8		percussion directe dure ?	mise en forme	
15.088	1	12	40	10	17		Ah	Entier	fragment angulaire	Calcédoine	gris foncé translucide	fin	lière stade		28.4	19	12		Ne s'applique pas	décorticage	
15.089	1	21	26	20	10		Ah	Entier	fragment angulaire	Calcédoine	gris pale translucide	fin			20	15.3	10		Ne s'applique pas	mise en forme	
15.090	1	7	0	0	0		Ae	Entier	fragment angulaire	Calcédoine	gris foncé translucide	fin			19	11.6	4.7		Ne s'applique pas	mise en forme	
15.091	1	7	0	0	0		Ae	Fragmentaire	éclat 1	Calcédoine	blanc et gris translucide	fin			12	14.4	1.9		Percussion directe tendre 1	mise en forme/façonnage	accident de taille, fracture en partie distale
15.092	1	7	0	0	0		Ae	Entier	fragment angulaire	Calcédoine	gris foncé translucide	fin			12.7	13.3	9.3		Ne s'applique pas	préparation du nucléus	
15.093	1	7	0	0	0		Ae	Entier	débris	Calcédoine	gris foncé translucide	fin			11.8	9	2.3		Ne s'applique pas	éclat secondaire	

15.094	1	9	31	31	0		interface Ah/Ae	Entier	éclat 1	Calcédoine	gris pâle translucide	fin			11.7	10.2	2.6		Percussion directe tendre 1	façonnage	
15.095	1	19	0	0	0		Ae	Entier	éclat 1	Calcédoine	gris foncé translucide	fin	2ième stade		17.4	9.5	5.2		indéterminée	décortilage	
15.096	1	19	0	0	0		Ae	Entier	débris	Calcédoine	gris foncé translucide	fin			11.7	12	2.3		Ne s'applique pas	éclat secondaire	
15.097	1	19	0	0	0		Ae	Entier	débris	Calcédoine	gris pâle translucide	fin			8.9	6.6	3.4		Ne s'applique pas	fragment angulaire	
15.098	1	19	32	18	43	1-2015	Ah	Entier	éclat 1	indéterminé	beige	grossier	2ième stade	73	47.8	94.4	20.6		Percussion directe tendre 1	décortilage	
15.099	1	12	0	0	0		Ah	Entier	éclat 1	Calcédoine	gris foncé translucide	fin			16	13.5	2		Percussion directe tendre 1	mise en forme/façonnage	
15.100	1	12	0	0	0		Ah	Entier	éclat 1	argilite ?	beige	moyen			18.8	12.2	2.4		Percussion directe tendre 1	mise en forme/façonnage	
15.101	1	12	0	0	0		Ah	Entier	éclat 1	Calcédoine	gris foncé translucide	très fin			12.6	14.3	4.2		percussion directe dure 1	mise en forme	
15.102	1	12	0	0	0		Ah	Entier	éclat 1	Calcédoine	gris foncé translucide	très fin			13.9	13.3	5.2		Percussion directe tendre 1	mise en forme	
15.103	1	12	0	0	0		Ah	Fragmentaire	éclat 1	argilite ?	gris	fin/moyen			12.8	9.8	1.2		percussion directe tendre/pression ?	façonnage	
15.104	1	12	0	0	0		Ah	Entier	éclat 1	Calcédoine	gris foncé translucide	très fin	2ième stade		13.5	8.8	2.4		Percussion directe tendre 1	décortilage	
15.105	1	12	0	0	0		Ah	Entier	éclat 1	Calcédoine	gris foncé translucide	très fin			17.1	12.9	4.8		percussion directe tendre ?	plein débitage	
15.106	1	12	0	0	0		Ah	Entier	éclat 1	Calcédoine	gris foncé translucide	très fin			17.3	8.3	2.7		Percussion directe tendre 1	plein débitage	
15.107	1	12	0	0	0		Ah	Entier	éclat 1	Calcédoine	gris foncé translucide	très fin			11.7	12.1	2.1		Percussion directe tendre 1	plein débitage/façonnage	contre éclat a emporté le bulbe
15.108	1	12	0	0	0		Ah	Fragmentaire	éclat 1	Calcédoine	gris foncé translucide	très fin			11.2	10.5	3		percussion directe tendre ?	plein débitage/façonnage	bulbe enlevé par contre éclat
15.109	1	12	0	0	0		Ah	Entier	éclat 1	Calcédoine	gris pâle translucide	très fin			8.8	11.3	1.2		Percussion directe tendre 1	façonnage	
15.110	1	12	0	0	0		Ah	Entier	éclat 1	quartzite 2	blanc translucide avec tache grise	fin			8.7	7.7	1.2		pression ?	façonnage/finition	
15.111	1	12	0	0	0		Ah	Fragmentaire	éclat 1	Calcédoine	gris pâle avec ruban gris foncé	fin			12.6	17.8	1.9		Percussion directe tendre 1	plein débitage	accident de taille, cassure en partie distale
15.112	1	12	0	0	0		Ah	Fragmentaire	éclat 1	Calcédoine	gris foncé translucide	fin			12.9	12.1	4		percussion directe tendre ?	plein débitage	
15.113	1	12	0	0	0		Ah	Fragmentaire	éclat 1	Calcédoine	gris foncé translucide	très fin			19.3	10.6	4.4		indéterminée	plein débitage	manque la partie droite de l'éclat, largeur incomplète
15.114	1	12	0	0	0		Ah	Entier	éclat 1	quartzite 2	blanc grisâtre	fin			14.8	11.8	2		Percussion directe tendre 1	plein débitage/façonnage	
15.115	1	12	0	0	0		Ah	Fragmentaire	éclat 1	Calcédoine	gris foncé rubané gris pâle	très fin			12.9	14.6	0		indéterminée	indéterminée	talon cassé, manque une section de la partie droite
15.116	1	12	0	0	0		Ah	Fragmentaire	éclat 1	Calcédoine	gris foncé translucide	très fin			7.8	12.8	1.9		Percussion directe tendre 1	plein débitage/façonnage	
15.117	1	12	0	0	0		Ah	Fragmentaire	éclat 1	Calcédoine	gris pâle translucide	fin			7.4	6.1	1.1		pression 1	finition	accident de taille, manque l'extrémité distale
15.118	1	12	0	0	0		Ah	Fragmentaire	éclat 1	Calcédoine	gris blanchâtre translucide	très fin			13.9	12.3	2.2		Percussion directe tendre 1	façonnage	longueur talon incomplète, manque la partie distale donc longueur de l'éclat incomplète également
15.119	1	12	0	0	0		Ah	Entier	éclat 1	Calcédoine	blanc	très fin			5.7	7	0.8		percussion directe tendre ?	finition ?	
15.120	1	12	0	0	0		Ah	Fragmentaire	éclat 1	Calcédoine	gris pâle translucide	très fin			6.3	5.6	0.9		pression ?	finition	

15.121	1	12	0	0	0		Ah	Entier	éclat 1	Calcédoine	blanc grisâtre	fin			12.9	8.9	1.6		Percussion directe tendre 1	façonnage	
15.122	1	12	0	0	0		Ah	Fragmentaire	éclat 1	Calcédoine	gris pâle translucide	très fin			5.4	7.7	1.1		indéterminée	indéterminée	manque la partie proximale, fracture nette
15.123	1	12	0	0	0		Ah	Entier	éclat 1	Calcédoine	gris foncé translucide	très fin			8.2	8.1	1.9		Percussion directe tendre 1	façonnage/ finition	
15.124	1	12	0	0	0		Ah	Fragmentaire	éclat 1	Calcédoine	gris foncé translucide	très fin			4.8	9.5	1.8		indéterminée	indéterminée	manque la partie proximale et mésiale, longueur incomplète
15.125	1	12	0	0	0		Ah	Fragmentaire	éclat 1	Calcédoine	beige translucide	très fin			10.8	6	2		pression 1	façonnage/ finition	
15.126	1	12	0	0	0		Ah	Entier	éclat 1	Calcédoine	blanc translucide	très fin			12.5	9.2	1.7		Percussion directe tendre 1	façonnage	
15.127	1	12	0	0	0		Ah	Fragmentaire	éclat 1	Calcédoine	gris foncé translucide	très fin			11.8	17	2.1		indéterminée	indéterminée	fragment distal
15.128	1	12	0	0	0		Ah	Fragmentaire	éclat 1	Calcédoine	blanc translucide	très fin			5.7	5.7	1		indéterminée	finition ?	manque section droite
15.129	1	12	0	0	0		Ah	Fragmentaire	éclat 1	Calcédoine	gris foncé translucide	très fin			6.8	10.9	2		indéterminée	indéterminée	partie distale seulement, accident de taille : réfléchissement
15.130	1	12	0	0	0		Ah	Fragmentaire	éclat 1	Calcédoine	gris foncé translucide	très fin			10.3	10.2	1.5		indéterminée	indéterminée	longueur incomplète.
15.131	1	12	0	0	0		Ah	Fragmentaire	éclat 1	Calcédoine	gris-blanc translucide	très fin			6.3	5.6	1.2		pression 1	finition	
15.132	1	12	0	0	0		Ah	Fragmentaire	éclat 1	Calcédoine	gris foncé translucide	très fin			8.9	11.3	2		percussion directe dure ?	plein débitage	
15.133	1	12	0	0	0		Ah	Fragmentaire	éclat 1	Calcédoine	blanc translucide	très fin			5.5	9.9	1.3		percussion directe tendre ?	façonnage ?	manque extrémité distale et fragments côté droit
15.134	1	12	0	0	0		Ah	Fragmentaire	éclat 1	Calcédoine	gris foncé translucide	fin	3ième stade	3	19	26.1	0		indéterminée	décorticage	partie proximale, accident de taille : fracture
15.135	1	12	0	0	0		Ah	Fragmentaire	éclat 1	Calcédoine	gris foncé translucide	très fin			13.9	17.5	2.3		indéterminée	plein débitage/ façonnage	accident de taille, fracture en partie distale
15.136	1	12	0	0	0		Ah	Fragmentaire	éclat 1	Calcédoine	gris foncé translucide	très fin			13.5	13	1.6		percussion directe tendre ?	plein débitage/ façonnage	fracture longitudinale, manque partie droite de l'éclat
15.137	1	12	0	0	0		Ah	Fragmentaire	éclat 1	Calcédoine	gris foncé translucide	très fin			14.5	21.7	3.3		percussion directe dure ?	plein débitage/ façonnage	
15.138	1	12	0	0	0		Ah	Fragmentaire	éclat 1	Calcédoine	gris pâle translucide	très fin			5.5	11.3	0		indéterminée	indéterminée	fragment proximal
15.139	1	12	0	0	0		Ah	Fragmentaire	éclat 1	Calcédoine	gris translucide	très fin			11.6	10.9	1.8		indéterminée	indéterminée	manque les extrémités gauche et droite de l'éclat, largeur incomplète
15.140	1	12	0	0	0		Ah	Fragmentaire	éclat 1	Calcédoine	gris translucide	très fin			5.8	7.3	1		percussion directe tendre ?	finition	talon cassé
15.141	1	12	0	0	0		Ah	Fragmentaire	éclat 1	Calcédoine	gris foncé translucide	très fin			7.8	6.6	1.4		percussion directe tendre ?	finition ?	
15.142	1	12	0	0	0		Ah	Fragmentaire	éclat 1	Calcédoine	gris pâle	fin	2ième stade		8.9	17.2	0		percussion directe dure 1	plein débitage	cassure dans la partie proximomésiale, cortex interne
15.143	1	12	0	0	0		Ah	Entier	éclat 1	Calcédoine	blanc	très fin			17.4	14.2	3.3		percussion directe dure 1	plein débitage	
15.144	1	12	0	0	0		Ah	Fragmentaire	éclat 1	Calcédoine	blanc translucide	très fin			8.1	10.5	1.3		Percussion directe tendre 1	façonnage	
15.145	1	12	0	0	0		Ah	Entier	éclat 1	Calcédoine	gris foncé translucide	très fin			6.4	4.8	0.6		pression 1	finition	
15.146	1	12	0	0	0		Ah	Fragmentaire	éclat 1	Calcédoine	gris foncé translucide	très fin			8.5	3.5	0.8		percussion directe tendre ?	façonnage/ finition	fracture longitudinale, manque partie gauche de l'éclat
15.147	1	12	0	0	0		Ah	Fragmentaire	éclat 1	Calcédoine	blanc translucide	très fin			3.8	5.3	0.5		percussion directe tendre/ pression ?	finition	manque la partie distale

15.148	1	12	0	0	0		Ah	Entier	éclat 1	Calcédoine	gris translucide	très fin			4.1	4.9	0.7		pression 1	finition	
15.149	1	12	0	0	0		Ah	Entier	éclat 1	Calcédoine	gris translucide	très fin			6.8	2.6	0.6		pression 1	finition	
15.150	1	12	0	0	0		Ah	Entier	éclat 1	Calcédoine	brun pâle	grossier	lière stade		23.1	23.2	8.6		percussion directe dure 1	décortilage	
15.151	1	12	0	0	0		Ah	Entier	éclat 1	Calcédoine	gris foncé translucide	très fin			17.6	12.1	3.2		percussion directe dure ?	plein débitage	plusieurs écarts secondaires se sont formés lors du détachement, plusieurs négatif sur la surface d'éclatement rende sa lecture impossible
15.152	1	12	0	0	0		Ah	Entier	débris	Calcédoine	gris foncé translucide	très fin		2	14.7	12.8	4.6		Ne s'applique pas	fragment angulaire	
15.153	1	12	0	0	0		Ah	Entier	débris	Calcédoine	gris foncé et gris pâle translucide	très fin			20.9	16.4	7.8		Ne s'applique pas	fragment angulaire	
15.154	1	12	0	0	0		Ah	Entier	débris	Calcédoine	gris foncé translucide	très fin			17.8	13.4	10.9		Ne s'applique pas	fragment angulaire	
15.155	1	12	0	0	0		Ah	Entier	débris	Calcédoine	gris foncé translucide	très fin			16.5	14.3	6.6		Ne s'applique pas	fragment angulaire	
15.156	1	12	0	0	0		Ah	Entier	débris	Calcédoine	gris foncé et gris pâle translucide	très fin			18.3	13.1	8.2		Ne s'applique pas	fragment angulaire	
15.157	1	12	0	0	0		Ah	Entier	débris	Calcédoine	gris translucide	très fin			17.9	18	9.1		Ne s'applique pas	fragment angulaire	
15.158	1	12	0	0	0		Ah	Entier	débris	Calcédoine	gris foncé translucide	très fin			13	7.5	6.8		Ne s'applique pas	fragment angulaire	
15.159	1	12	0	0	0		Ah	Entier	débris	Calcédoine	gris translucide	grossier à très fin			16.2	14.1	8.4		Ne s'applique pas	fragment angulaire	
15.160	1	12	0	0	0		Ah	Entier	débris	Calcédoine	gris translucide	très fin			17	8.8	6.2		Ne s'applique pas	fragment angulaire	
15.161	1	12	0	0	0		Ah	Entier	débris	Calcédoine	gris foncé translucide	très fin			19.1	8.3	8.6		Ne s'applique pas	fragment angulaire	
15.162	1	12	0	0	0		Ah	Entier	débris	Calcédoine	gris foncé translucide	très fin			15	12.6	6.6		Ne s'applique pas	fragment angulaire	
15.163	1	12	0	0	0		Ah	Entier	débris	Calcédoine	gris foncé translucide	très fin			19.8	9.9	4.9		Ne s'applique pas	fragment angulaire	
15.164	1	12	0	0	0		Ah	Entier	débris	Calcédoine	gris foncé translucide	très fin			16.4	7.8	6.9		Ne s'applique pas	fragment angulaire	
15.165	1	12	0	0	0		Ah	Entier	débris	Calcédoine	gris translucide	très fin			14.5	9.6	3.6		Ne s'applique pas	fragment angulaire	
15.166	1	12	0	0	0		Ah	Entier	débris	Calcédoine	gris	très fin			11.9	9.1	4.9		Ne s'applique pas	fragment angulaire	
15.167	1	12	0	0	0		Ah	Entier	débris	Calcédoine	gris foncé translucide	très fin			15.8	4.4	4.3		Ne s'applique pas	fragment angulaire	
15.168	1	12	0	0	0		Ah	Entier	débris	Calcédoine	gris foncé translucide	très fin			12.8	9.5	3.1		Ne s'applique pas	fragment angulaire	
15.169	1	12	0	0	0		Ah	Entier	débris	Calcédoine	gris foncé translucide	très fin			10.7	7.3	6.8		Ne s'applique pas	fragment angulaire	
15.170	1	12	0	0	0		Ah	Entier	débris	Calcédoine	gris foncé translucide	très fin			11.2	8.2	2.9		Ne s'applique pas	fragment angulaire	
15.171	1	12	0	0	0		Ah	Fragmentaire	débris	Calcédoine	gris foncé translucide	très fin			35.3	13.5	6.6		Ne s'applique pas	fragment angulaire	
15.172	1	12	0	0	0		Ah	Entier	débris	Calcédoine	gris pâle	très fin			10.3	7	4.6		Ne s'applique pas	fragment angulaire	
15.173	1	12	0	0	0		Ah	Entier	débris	Calcédoine	gris pâle	très fin			9	9.4	4		Ne s'applique pas	fragment angulaire	
15.174	1	12	0	0	0		Ah	Entier	débris	Calcédoine	gris foncé translucide	très fin			6.4	6	3.5		Ne s'applique pas	fragment angulaire	

15.175	1	12	0	0	0		Ah	Entier	débris	Calcédoine	gris pâle translucide	très fin			4.8	4.3	2		Ne s'applique pas	fragment angulaire	
15.176	1	12	0	0	0		Ah	Entier	débris	Calcédoine	gris foncé translucide	très fin			15.73	9.7	3.8		Ne s'applique pas	fragment angulaire	
15.177	1	12	0	0	0		Ah	Entier	débris	Calcédoine	gris foncé translucide	très fin			10.7	10	3.2		Ne s'applique pas	éclat secondaire	
15.178	1	12	0	0	0		Ah	Entier	débris	Calcédoine	gris foncé translucide	très fin			11.9	10	3.3		Ne s'applique pas	éclat secondaire	
15.179	1	12	0	0	0		Ah	Entier	débris	Calcédoine	gris foncé translucide	très fin			11.4	10.3	0		Ne s'applique pas	éclat secondaire	
15.180	1	12	0	0	0		Ah	Entier	débris	Calcédoine	gris pâle translucide	très fin			10.6	10	3		Ne s'applique pas	éclat secondaire	
15.181	1	12	0	0	0		Ah	Entier	débris	Calcédoine	gris foncé translucide	très fin			10.2	9.1	2		Ne s'applique pas	éclat secondaire	
15.182	1	12	0	0	0		Ah	Entier	débris	Calcédoine	gris pâle translucide	très fin			13.3	6	1.7		Ne s'applique pas	éclat secondaire	
15.183	1	12	0	0	0		Ah	Entier	débris	Calcédoine	gris pâle-blanc	très fin			14.2	8.1	1.7		Ne s'applique pas	éclat secondaire	
15.184	1	12	0	0	0		Ah	Entier	débris	Calcédoine	gris foncé translucide	très fin			11.7	4.6	3.1		Ne s'applique pas	éclat secondaire	
15.185	1	12	0	0	0		Ah	Entier	débris	Calcédoine	gris pâle translucide	très fin			19.5	6.4	2		Ne s'applique pas	éclat secondaire	
15.186	1	12	0	0	0		Ah	Fragmentaire	débris	Calcédoine	gris translucide	très fin			10.7	7.3	1.6		Ne s'applique pas	éclat secondaire	
15.187	1	12	0	0	0		Ah	Entier	débris	Calcédoine	beige translucide	très fin			9.3	7.3	1.5		Ne s'applique pas	éclat secondaire	
15.188	1	12	0	0	0		Ah	Entier	débris	Calcédoine	gris pâle translucide	très fin			9.7	6.5	2.2		Ne s'applique pas	éclat secondaire	
15.189	1	12	0	0	0		Ah	Entier	débris	Calcédoine	gris pâle-blanc translucide	très fin			6.6	6	2.1		Ne s'applique pas	éclat secondaire	
15.190	1	12	0	0	0		Ah	Entier	débris	Calcédoine	gris pâle-blanc translucide	très fin			8.3	3.3	2.4		Ne s'applique pas	éclat secondaire	
15.191	1	12	0	0	0		Ah	Entier	débris	Calcédoine	gris pâle translucide	très fin			6.9	3.3	1.4		Ne s'applique pas	éclat secondaire	
15.192	1	12	0	0	0		Ah	Entier	débris	quartz 1	rosé	grossier		4	37.5	7.4	11.4		Ne s'applique pas	fragment angulaire	
15.193	1	12	0	0	0		Ah	Fragmentaire	éclat 1	Calcédoine	gris foncé translucide	très fin		1	13.5	26.5	3.7		indéterminée	plein débitage ?	
15.194	1	12	0	0	0		Ah	Fragmentaire	éclat 1	Calcédoine	gris pâle	très fin			9.5	10.3	1.1		Percussion directe tendre 1	façonnage/ finition	
15.195	1	12	0	0	0		Ah	Entier	éclat 1	Calcédoine	gris pâle translucide avec tache noir	très fin			18	12.8	2.7		percussion directe dure 1	plein débitage	
15.196	1	12	0	0	0		Ah	Entier	éclat 1	Calcédoine	gris pâle-beige translucide	très fin			13.7	8.8	1		percussion directe tendre ?	façonnage	
15.197	1	12	0	0	0		Ah	Entier	éclat 1	Calcédoine	gris pâle rubané blanc et gris	très fin		1	18.1	11.4	4.7		Percussion directe tendre 1	plein débitage	
15.198	1	12	0	0	0		Ah	Entier	éclat 1	Calcédoine	gris foncé translucide	très fin		2	20.2	18.2	5		Percussion directe tendre 1	plein débitage	
15.199	1	12	0	0	0		Ah	Fragmentaire	éclat 1	Calcédoine	gris foncé-gris pâle translucide	très fin			8.2	10.9	2		indéterminée	indéterminée	
15.200	1	12	0	0	0		Ah	Entier	éclat 1	Calcédoine	gris foncé translucide	très fin			10.6	15.9	3.1		Percussion directe tendre 1	plein débitage	
15.201	1	12	0	0	0		Ah	Entier	éclat 1	Calcédoine	gris foncé translucide	très fin			14.8	15.4	4.4		percussion directe dure 1	plein débitage	
15.202	1	12	0	0	0		Ah	Fragmentaire	éclat 1	Calcédoine	gris pâle translucide	très fin			12.6	9.2	1.9		indéterminée	indéterminée	talon absent

15.203	1	12	0	0	0		Ah	Fragmentaire	éclat 1	Calcédoine	gris pâle translucide	très fin			11.4	6	1.6		indéterminée	indéterminée	manque le centre et section gauche de l'éclat, talon absent
15.204	1	12	0	0	0		Ah	Fragmentaire	éclat 1	Calcédoine	gris foncé translucide	très fin			8.5	14.2	4		indéterminée	indéterminée	fragment mésial
15.205	1	12	0	0	0		Ah	Entier	éclat 1	Calcédoine	gris pâle translucide	très fin	3ième stade		12	11.5	4		Percussion directe tendre 1	décortilage	
15.206	1	12	0	0	0		Ah	Entier	éclat 1	Calcédoine	gris pâle translucide	très fin			5.5	5.4	1		pression ?	finition	
15.207	1	12	0	0	0		Ah	Entier	éclat 1	Calcédoine	gris pâle translucide	très fin			6	3.2	1.5		percussion directe dure 1	plein débitage	
15.208	1	12	0	0	0		Ah	Fragmentaire	éclat 1	Calcédoine	blanc translucide	très fin			9.7	2.7	1		pression 1	finition ?	
15.209	1	12	0	0	0		Ah	Entier	éclat 1	argilite ?	beige	grossier	1ième stade		13.8	13.5	2.9		indéterminée	décortilage	
15.210	1	22	0	0	0		interface Ah/Ae	Entier	éclat 1	quartz 1	blanc laiteux avec picot noir	grossier	1ième stade	3	13.2	24.4	7.7		percussion directe dure 1	décortilage	
15.211	1	8	0	0	0		Ah	Fragmentaire	éclat 1	Calcédoine	blanc translucide	très fin			10.1	6.8	1		pression 1	finition	
15.212	1	16	24	22	23		Ae	Entier	éclat 1	Calcédoine	gris foncé translucide et beige	très fin		1	20.3	25	3.8		Percussion directe tendre 1	plein débitage	
15.213	1	19	15	18	21	1-2015	Ae	Entier	éclat 1	Calcédoine	gris foncé translucide	très fin	3ième stade	5	20	33.8	6.7		percussion directe dure 1	décortilage/plein débitage	
15.214	1	9	0	0	0		Ah	Fragmentaire	éclat 1	Calcédoine	gris foncé et gris pâle translucide	très fin/fin		2	20	21.3	5.1		indéterminée	plein débitage	talon cassé lors de la percussion
15.215	1	9	0	0	0		Ah	Entier	débris	Calcédoine	gris foncé translucide	très fin			13.3	10.5	4.3		Ne s'applique pas	éclat secondaire	
15.216	1	9	0	0	0		Ah	Entier	éclat 1	quartz 1	rosé	grossier	1ième stade		11.6	18.6	3.4		indéterminée	décortilage	
15.217	1	9	0	0	0		Ah	Fragmentaire	éclat 1	Calcédoine	gris pâle translucide	fin			10.3	10.6	2		indéterminée	indéterminée	fracture mésiale
15.218	1	9	0	0	0		Ah	Entier	débris	Calcédoine	gris foncé translucide	fin			10.7	10.2	2.9		Ne s'applique pas	éclat secondaire	
15.219	1	9	0	0	0		Ah	Entier	éclat 1	quartz 1	blanc laiteux	grossier			12.3	7.3	3.2		percussion directe tendre ?	plein débitage	
15.220	1	13	0	0	0		Ae	Entier	éclat 1	plutonique	rose	très grossier	1ième stade	5	20.6	27	7.6		percussion directe dure ?	décortilage	
15.221	1	13	0	0	0		Ae	Fragmentaire	éclat 1	Calcédoine	gris pâle translucide	très fin		1	17.3	11.6	4		percussion directe tendre ?	plein débitage	
15.222	1	13	0	0	0		Ae	Entier	éclat 1	Calcédoine	blanchâtre	très fin			12.5	6.3	2.6		percussion directe tendre ?	plein débitage/façonnage	
15.223	1	13	0	0	0		Ae	Entier	débris	Calcédoine	gris pâle translucide	très fin			8.8	3.5	1.8		Ne s'applique pas	éclat secondaire	
15.224	1	13	0	0	0		Ae	Fragmentaire	éclat 1	plutonique	gris foncé	moyen			15.6	21.1	1.9		Percussion directe tendre 1	façonnage ?	partie distale fracturée
15.225	1	15	0	0	0		Ae	Entier	éclat 1	quartzite (Témiscamie)	blanc	fin			10.9	11.4	1		Percussion directe tendre 1	amincissement bifacial	
15.226	1	15	0	0	0		Ae	Entier	éclat 1	Quartzite 1	blanc	très fin			7	4.5	0.8		pression 1	finition	
15.227	1	15	0	0	0		Ae	Fragmentaire	éclat 1	quartz 1	blanc laiteux	grossier			6.3	7.8	1.3		indéterminée	façonnage/ finition	
15.228	1	15	0	0	0		Ae	Entier	éclat 1	Calcédoine	gris pâle translucide	très fin	cortex interne		11.3	17	4		Percussion directe tendre 1	plein débitage	
15.229	1	19	0	0	0		Ah	Entier	éclat 1	quartz 1	blanc laiteux avec picots noirs	grossier			16.2	10.3	4.5		pression 1	plein débitage ?	

15.230	1	19	0	0	0		Ah	Entier	éclat 1	Calcédoine	gris foncé translucide	très fin	lière stade		11	8.8	3		percussion directe dure 1	décortilage	
15.231	1	19	0	0	0		Ah	Entier	éclat 1	Calcédoine	gris foncé translucide et beige	très fin		1	14.2	17.8	4		percussion directe dure 1	plein débitage	
15.232	1	19	0	0	0		Ah	Entier	débris	Calcédoine	gris translucide	très fin			7.7	6.7	3		Ne s'applique pas	éclat secondaire	
15.233	1	19	0	0	0		Ah	Entier	débris	Calcédoine	gris translucide	très fin			4.4	4.8	1		Ne s'applique pas	éclat secondaire	
15.234	1	21	0	0	0		Ah	Entier	éclat 1	Calcédoine	gris pâle translucide	très fin			8.1	6.8	2.1		percussion directe tendre ?	façonnage	
15.235	1	21	0	0	0		Ah	Entier	éclat 1	Calcédoine	gris pâle translucide	très fin			14.6	5.3	2.7		pression ?	façonnage ?	
15.236	1	21	0	0	0		Ah	Entier	éclat 1	Calcédoine	blanc	très fin			6.3	4.7	0.9		pression 1	finition	
15.237	1	22	0	0	0		Ah	Entier	éclat 1	Calcédoine	gris pâle translucide	très fin			8.8	5	2		Percussion directe tendre 1	façonnage	
15.238	1	21	0	0	0		Ah	Fragmentaire	éclat 1	Calcédoine	gris pâle translucide	très fin			7	7.8	0		Percussion directe tendre 1	façonnage ?	fracture de l'éclat dans la partie mésiale
15.239	1	21	0	0	0		Ah	Entier	éclat 1	Calcédoine	gris translucide	très fin			5.9	4.4	0.8		pression 1	finition	
15.240	1	21	0	0	0		Ah	Entier	éclat 1	Calcédoine	blanc rosé	grossier		7	16.6	30.6	8.8		percussion directe dure 1	plein débitage	
15.241	1	21	0	0	0		Ah	Fragmentaire	éclat 1	Calcédoine	gris foncé translucide	très fin			16.3	7	3.2		indéterminée	indéterminée	talon absent
15.242	1	21	0	0	0		Ah	Entier	éclat 1	Calcédoine	blanc translucide	très fin			4.4	5.9	0		percussion directe tendre/pression 1	finition	
15.243	1	21	0	0	0		Ah	Entier	débris	Calcédoine	blanc translucide	très fin			4.9	4.7	0.7		Ne s'applique pas	éclat secondaire	
15.244	1	21	0	0	0		Ah	Entier	débris	Calcédoine	blanc-beige	très fin			7.9	3.8	1.5		Ne s'applique pas	éclat secondaire	
15.245	1	21	0	0	0		Ah	Entier	débris	Calcédoine	blanc	très fin			5.8	3.4	1.9		Ne s'applique pas	éclat secondaire	
15.246	1	21	0	0	0		Ah	Fragmentaire	débris	Calcédoine	blanc	très fin			3	4	0.3		Ne s'applique pas	éclat secondaire	
15.247	1	21	0	0	0		Ah	Entier	débris	Calcédoine	blanc	très fin			2.8	2.7	0.7		Ne s'applique pas	éclat secondaire	
15.248	1	12	13	20	15		Ah	Entier	éclat retouché	Calcédoine	gris	très fin		4	28	24	9		percussion directe dure 1		
15.249	1	15	10	27	0	1-2015	Ah	Fragmentaire	éclat retouché	Quartzite 1	blanc avec picots noir et enfumé	très fin		1	14.5	20	4.5		percussion directe tendre ?		objet incomplet, longueur résiduelle seulement, l'éclat semble avoir fracturé dans sa partie mésiale.
15.250	1	16	0	0	0		Ah	Fragmentaire	éclat retouché	Calcédoine	gris pâle rubané gris foncé	fin/très fin	3ième stade	3	21	23.5	5		Percussion directe tendre 1		l'éclat a peut-être fracturé lors de la réalisation des retouches
15.251	1	16	0	0	0		Ae	Entier	éclat retouché	Calcédoine	gris rubané gris foncé	très fin		1	23	14.5	4		Percussion bipolaire sur enclume ?		
15.252	1	23	9	37	8		Ae	Fragmentaire	éclat retouché	plutonique	gris et noir	moyen		8	34	33.5	8.5		indéterminée		talon incomplet
15.253	1	7	0	0	0		Ae	Fragmentaire	Éclat retouché	plutonique	noir	moyen/grossier			27.5	41	5		indéterminée		
15.254	1	13	0	0	0		Ah	Fragmentaire	grattoir	quartz hyalin	blanc	moyen			13.6	13.1	4.5		indéterminée		
15.255	1	20	48	4	17		Ae	Fragmentaire	percuteur 1	argilite ?	gris pâle rubané gris	moyen/grossier	100%	30	43.1	47.6	13.7		Ne s'applique pas		nodule fracturé

15.256	1	12	0	0	0		Ah	Entier	grattoir	Calcédoine	gris foncé translucide	très fin			12.3	11.2	4		percussion directe dure ?	éclat fracturé sur sa longueur avant la préparation de l'outil (accident à la taille ?), ébauche de grattoir, le front n'est pas terminé	
15.257	1	12	0	24	25		Ah	Entier	enclume ?	plutonique	beige rosé	très grossier		1144	182	138	36.5		Ne s'applique pas	5 empreintes en creux qui semblent résultés de la percussion d'objets sur la surface comme on peut le faire pour casser des noix ou se servir d'une pierre comme enclume pour en fendre une autre.	
15.258	1	16	13	27	18		Ae	Entier	ébauche ?	argilite	gris à picots noir	très grossier		569	185	68	45.5		Ne s'applique pas	l'objet ressemble à une tentative d'ébauche de hâche qui a rapidement été abandonnée puisqu'il y a seulement deux enlèvement.	
15.259	1	12	33	12	21		Ah	Fragmentaire	grattoir	chert 2	blanc	très fin		2	18	18.4	3.7		percussion directe dure 1		
15.260	1	13	2	20	33	1-2015	Ae	Entier	marteau ou percuteur	quartzite grossier	gris/blanc		95%	791	94.1	106.4	70.2		Ne s'applique pas		
15.261	1	12	27	40	15		humus	Entier	marteau ou percuteur	plutonique	noir et gris			1310	144.4	95.6	59		Ne s'applique pas		
15.262	1	12	21	27	20	1-2015	Ah	Entier	nucléus	Calcédoine	gris foncé translucide rubanné gris pâle	très fin	oui	60	53	46	33		4	lisse et cortical	
15.263	1	12	30	41	21		Ah	Entier	nucléus	Calcédoine	gris foncé translucide	très fin	oui	12	26	27	17		2	cortical et lisse	exploitation opportuniste du nucléus, remonte probablement avec le nucléus 15.401
15.264	1	12					interface Ah/Ae	Entier	nucléus	quartz 1	blanc laiteux avec teinte rosé et picots noir	grossier	oui	17	27	36	21		2	cortical et lisse	
15.265	1	8					Ah	Entier	nucléus	quartz 1	blanc laiteux	grossier		11	26	30	14		3	lisse	exploitation opportuniste du nucléus
15.266	1	8					Ah	Entier	nucléus	Calcédoine	gris foncé translucide	très fin	oui	5	15	29	15		2	cortical	exploitation opportuniste du nucléus
15.267	1	21	14	36	10		Ah	Entier	nucléus	Calcédoine	gris pâle translucide	très fin	oui	4	22	15	15		3	lisse et cortical	exploitation opportuniste du nucléus
15.268	1	13	2	19	26	surface	Ae	Entier	nucléus	quartz 1	blanc laiteux	grossier		39	47	33	18		3	lisse	taches de rouille dans les failles
15.269	1	19	6	19	12	1-2015	humus	Entier	nucléus	quartz 1	blanc laiteux avec rainures noires	grossier	oui	22	26	29	25		1	cortical	
15.270	1	12	27	14	15		humus	Entier	nucléus	argilite ?	gris pâle/foncé	grossier		255	138	57	27		2	lisse/cortical	

No objet	sondage	Localisation Nord	Localisation Est	Profondeur	Point de référence	Niveau	État	Typologie	matière première	Couleur	Texture	Cortex	Poids (g)	Longueur (mm)	Largeur (mm)	Épaisseur (mm)	traitement thermique	Technique présumée	Identification	Commentaires
15.001	sondage 29	0	0	0		Ae	Entier	éclat	quartzite	blanc enfumé noir	fin			11.8	13.2	1.8		percussion directe tendre	façonnage	
15.002	sondage 32	0	0	0		Ae	Fragmentaire	éclat	quartzite	blanc	fin			7.8	8.8	2.5		indéterminée	indéterminée	fragment mésio-distal
15.003	sondage 32	0	0	0		Ae	Entier	éclat	plutonique	gris	moyen/grossier		2	34.4	20	3		percussion directe tendre ?	plein débitage/façonnage	
15.004	sondage 32	0	0	0		Ae	Fragmentaire	éclat	plutonique	gris-noir	grossier		1	12.3	13.2	2.5		indéterminée	indéterminée	
15.005	sondage 32	0	0	0		Ae	Entier		plutonique	noir	grossier			27	13.4	12.4		indéterminée	fragment angulaire	
15.006	sondage 26	0	0	0		Ae	Entier	éclat	quartzite	blanc enfumé noir	fin/moyen			9	12.1	2.3		percussion directe tendre ?	façonnage	
15.007	sondage 26	0	0	0		Ae	Fragmentaire	éclat	quartzite	blanc	fin/moyen			5.7	7.4	1.2		percussion directe tendre/pression	façonnage/finition	fracture mésiale
15.008	sondage 26	0	0	0		Ae	Fragmentaire	éclat	plutonique	gris/noir	moyen			9.8	16.8	1.7		indéterminée	indéterminée	
15.009	sondage 26	0	0	0		Ae	Fragmentaire	éclat	quartzite	blanc	fin			7.2	8	0.9		indéterminée	indéterminé	
15.010	sondage 26	0	0	0		Ae	Fragmentaire	éclat	quartzite	blanc	fin			6.7	11.5	0		percussion directe dure	indéterminée	
15.011	sondage 26	0	0	0		Ae	Entier	débris	chert ?	beige	fin			12.8	9.2	4.1			fragment angulaire	
15.012	sondage 26	0	0	0		Ae	Fragmentaire	éclat	quartzite	blanc	fin			3.2	7.2	0		percussion directe tendre/pression	façonnage/finition	

Annexe 2 : Fiches de site

Documents disponibles auprès du ministère de la Culture et des Communications du Québec

Annexe 3 : Planches photos et catalogue

Catalogue des photographies
Inventaire archéologique, automne 2015
Projet 154-08-0424, municipalité de Dolbeau Mistassini

# de photo	Description	Portion de l'emprise	Orientation	Date
1	Plage, inspection visuelle	Sud-Ouest	S-So	27/11/2015
2	Érosion de talus	Sud-Ouest	N-Ne	27/11/2015
3	Plage, inspection visuelle	Sud-Ouest	N-Ne	27/11/2015
4	Artéfacts dans horizon Ah du sondage # 12	Sud-Ouest	N-Ne	28/11/2015
5	Sondage # 11	Sud-Ouest	Nord	28/11/2015
6	Sondage # 11, coin NW, rubéfié	Sud-Ouest	Nord	28/11/2015
7	Sondage # 12, éclats	Sud-Ouest	Nord	28/11/2015
8	Sondage # 12, détails	Sud-Ouest	Nord	28/11/2015
9	Sondage # 11	Sud-Ouest	Est	28/11/2015
10	Sondage # 14, pierres	Sud-Ouest	Nord	28/11/2015
11	Sondage # 14, détails sur pierres	Sud-Ouest	Nord	28/11/2015
12	Sondage # 12	Sud-Ouest	Nord	28/11/2015
13	Sondage # 12, détails	Sud-Ouest	Nord	28/11/2015
14	Vue en plan d'un sondage positif	Sud-Ouest	Nord	28/11/2015
15	Vue en plan d'un sondage positif	Sud-Ouest	Nord	28/11/2015
16	Sondage # 15, rubéfié	Sud-Ouest	Nord	29/11/2015
17	Sondage # 15, rubéfié	Sud-Ouest	Nord	29/11/2015
18	Sondage # 8	Sud-Ouest	Nord	29/11/2015
19	Sondage # 14	Sud-Ouest	Nord	29/11/2015
20	Sondage # 13	Sud-Ouest	Ouest	29/11/2015
21	Sondage # 12	Sud-Ouest	Nord	29/11/2015
22	Sondage # 7	Sud-Ouest	Sud	01/12/2015
23	Sondage # 17	Sud-Ouest	Sud	01/12/2015
24	Sondage # 18	Sud-Ouest	Nord	01/12/2015
25	Sondage # 22	Sud-Ouest	Nord	01/12/2015
26	Sondage # 19	Sud-Ouest	Nord	01/12/2015
27	Sondage # 21	Sud-Ouest	Sud	01/12/2015
28	Sondage test # 001	Sud-Ouest	Est	01/12/2015
29	Sondage # 9	Sud-Ouest	Nord	01/12/2015
30	Sondage # 16	Sud-Ouest	Nord	01/12/2015
31	Sondage # 10	Sud-Ouest	Nord	01/12/2015
32	Sondage # 20	Sud-Ouest	Ouest	01/12/2015

Catalogue des photographies
Inventaire archéologique, automne 2015
Projet 154-08-0424, municipalité de Dolbeau Mistassini

# de photo	Description	Portion de l'emprise	Orientation	Date
33	Sondage # 23	Sud-Ouest	Ouest	01/12/2015
34	Sondage # 15	Sud-Ouest	Nord	01/12/2015
35	Sondage # 24	Sud-Ouest	Ouest	01/12/2015
36	Terrasse sud-ouest	Sud-Ouest	N-Ne	01/12/2015
37	Terrasse sud-ouest	Sud-Ouest	Nord	01/12/2015
38	Sondage remblayé aux 3 mètres	Sud-Ouest	N-Ne	01/12/2015
39	Sondage positif # 19, ré-enterré	Sud-Ouest	N-Ne	01/12/2015
40	Sondage remblayé aux 3 mètres	Sud-Ouest	O-No	01/12/2015
41	Vue de la portion NE à partir de la portion SO	Sud-Ouest	O-No	01/12/2015
42	Vue de la portion SO à partir de la portion NE	Nord-Est	O-So	02/12/2015
43	Sondage # 37, vue en plan	Nord-Est	Est	02/12/2015
44	Sondage # 37,	Nord-Est	Est	02/12/2015
45	Bloc de matière première trouvé sur la plage	Nord-Est	Nord	02/12/2015
46	Bloc de matière première trouvé sur la plage	Nord-Est	Nord	02/12/2015
47	Sondage test # 002	Nord-Est	Nord	02/12/2015
48	Petite terrasse présente dans l'emprise de la portion Nord-est	Nord-Est	Nord-ouest	02/12/2015
49	Matériel historique récent mis au jour	Nord-Est	O-So	02/12/2015
50	Matériel historique récent mis au jour	Nord-Est	Ouest	02/12/2015
51	Terrasse, occupation historique, vue du rivage	Nord-Est	Ouest	02/12/2015
52	Terrasse, occupation paléohistorique, vue du rivage	Nord-Est	Nord	02/12/2015
53	Terrasse, occupation paléohistorique, vue du rivage	Nord-Est	Nord-est	02/12/2015
54	Sondage positif remblayé, terrasse d'occupation paléohistorique	Nord-Est	Ouest	02/12/2015



001.JPG



002.JPG



003.JPG



004.JPG



005.JPG



006.JPG



007.JPG



008.JPG



009.JPG



010.JPG



011.JPG



012.JPG



013.JPG



014.JPG



015.JPG



016.JPG



017.JPG



018.JPG



019.JPG



020.JPG



021.JPG



022.JPG



023.JPG



024.JPG



025.JPG



026.JPG



027.JPG



028.JPG



029.JPG



030.JPG



031.JPG



032.JPG



033.JPG



034.JPG



035.JPG



036.JPG



037.JPG



038.JPG



039.JPG



040.JPG



041.JPG



042.JPG



043.JPG



044.JPG



045.JPG



046.JPG



047.JPG



048.JPG



049.JPG



050.JPG



051.JPG



052.JPG



053.JPG



054.JPG

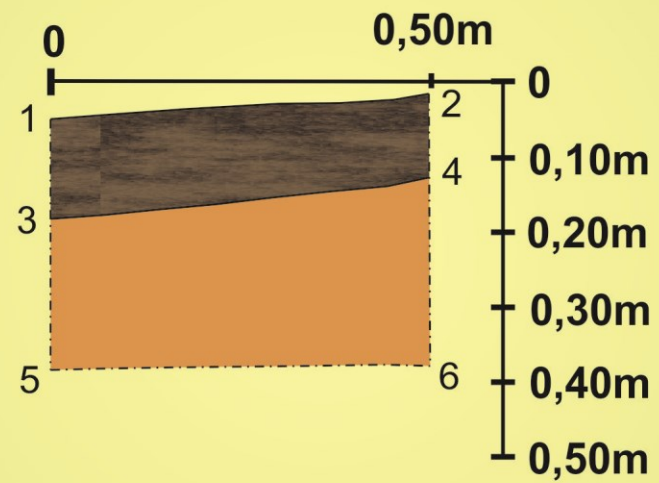
Annexe 4 : Photos de terrain et catalogue

Documents disponibles auprès du ministère de la Culture et des Communications du Québec

Annexe 5 : Plans stratigraphiques

**Projet 154-08-0424, Dolbeau, coupe stratigraphique,
Sondage test 1**

Sondage test 1
Paroi est



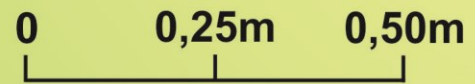
**Sondage test 1,
élevations réelles NMM:**

- 1- 109,13 m
- 2- 109,16 m
- 3- 109,00 m
- 4- 109,05 m
- 5- 108,80 m
- 6- 108,80 m

Légende:

-  Ah
-  B

Échelle:



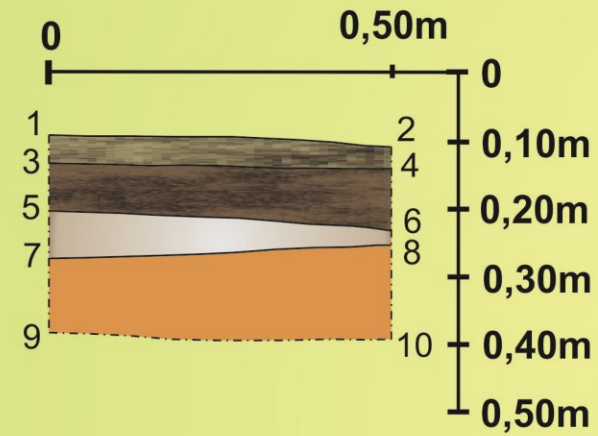
**Projet 154-08-0424, Dolbeau, coupes stratigraphiques,
Sondages positifs 7, 8 et 9**

Légende:

-  Ah
-  Ae
-  B
-  Pierres
-  B+Ae
-  LFH

Sondage 7

Paroi sud



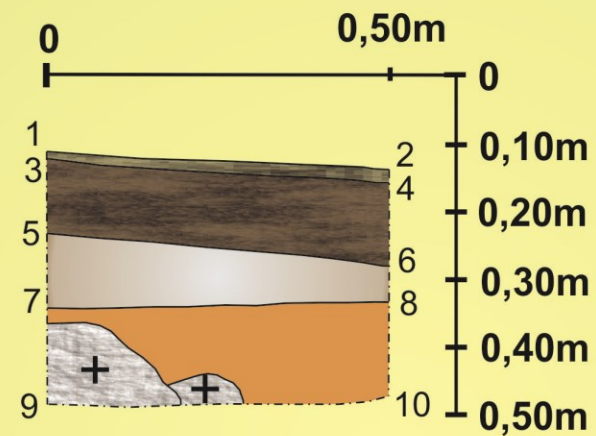
**Sondage 7,
élevations réelles NMM :**

- 1- 109,09
- 2- 109,07
- 3- 109,05
- 4- 109,04
- 5- 108,98
- 6- 108,95
- 7- 108,91
- 8- 108,93
- 9- 108,80
- 10-108,79



Sondage 8

Paroi nord



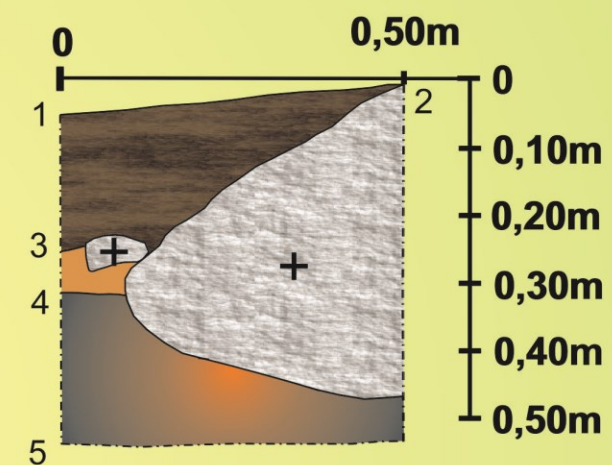
**Sondage 8,
élevations réelles NMM :**

- 1- 109,87
- 2- 109,84
- 3- 109,86
- 4- 109,82
- 5- 109,75
- 6- 109,70
- 7- 109,64
- 8- 109,65
- 9- 109,50
- 10- 109,51



Sondage 9

Paroi nord



**Sondage 9,
élevations réelles NMM :**

- 1- 110,23
- 2- 110,19
- 3- 110,03
- 4- 109,97
- 5- 109,75



Échelle:



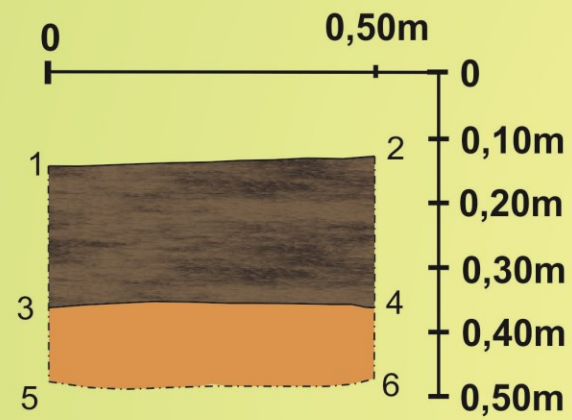
**Projet 154-08-0424, Dolbeau, coupes stratigraphiques,
Sondages positifs 12,13 et 15**

Légende:

-  Ah
-  Ae
-  B
-  Ae rubéfié

Sondage 12

Paroi nord



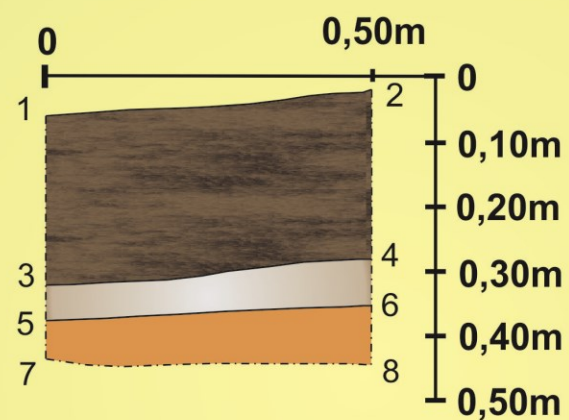
**Sondage 12,
élevations réelles NMM :**

- 1- 109,04
- 2- 109,05
- 3- 108,82
- 4- 108,82
- 5- 108,71
- 6- 108,71



Sondage 13

Paroi ouest



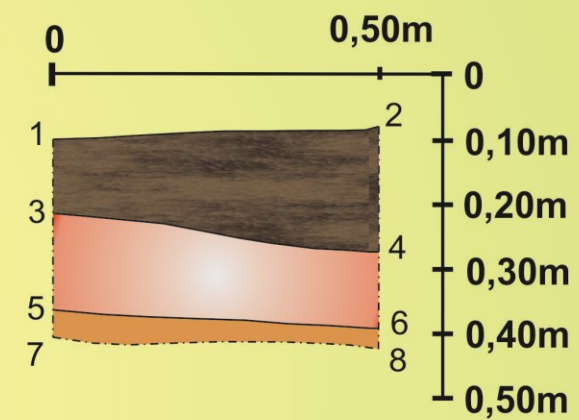
**Sondage 13,
élevations réelles NMM :**

- 1- 109,52
- 2- 109,56
- 3- 109,26
- 4- 109,30
- 5- 109,21
- 6- 109,23
- 7- 109,15
- 8- 109,14



Sondage 15

Paroi nord



**Sondage 15,
élevations réelles NMM:**

- 1- 110,28
- 2- 110,30
- 3- 110,17
- 4- 110,11
- 5- 110,02
- 6- 109,99
- 7- 109,98
- 8- 109,96



Échelle:



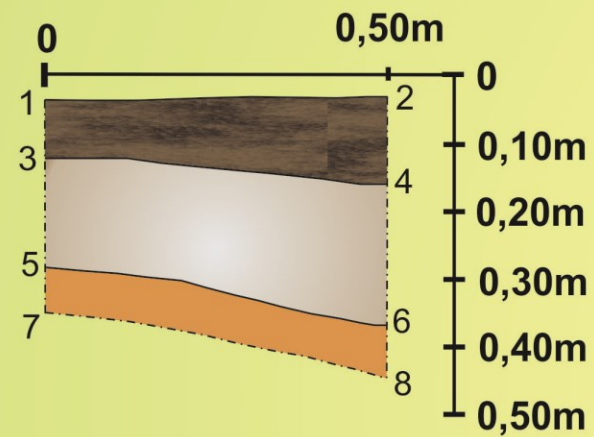
**Projet 154-08-0424, Dolbeau, coupes stratigraphiques,
Sondages positifs 16, 19 et 21**

Légende:

-  Ah
-  Ae
-  B
-  Pierres

Sondage 16

Paroi nord



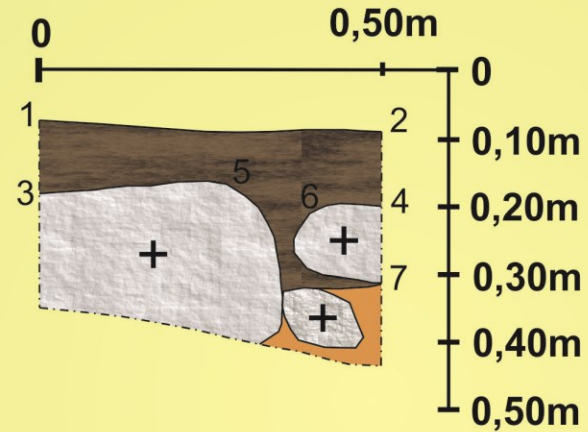
Sondage 16,
élevations réelles NMM :

1-	110,25
2-	110,25
3-	110,16
4-	110,11
5-	110,00
6-	109,92
7-	109,93
8-	109,84



Sondage 19

Paroi nord



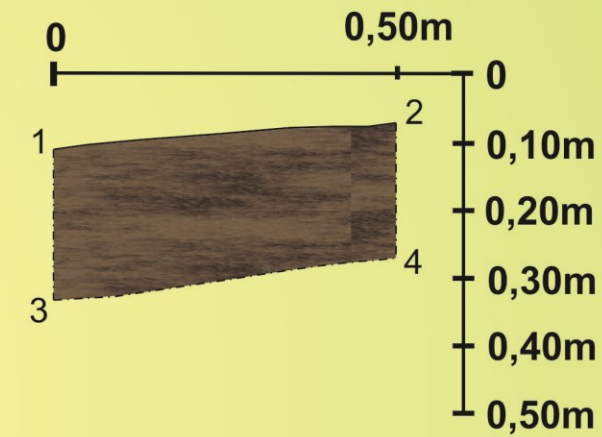
Sondage 19,
élevations réelles NMM :

1-	109,31
2-	109,29
3-	109,20
4-	109,18
5-	109,22
6-	109,19
7-	109,07



Sondage 21

Paroi sud



Sondage 21,
élevations réelles NMM :

1-	109,27
2-	109,31
3-	109,05
4-	109,11



Échelle:



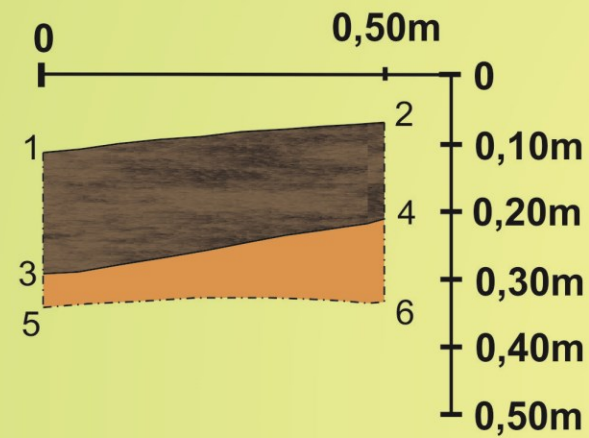
**Projet 154-08-0424, Dolbeau, coupes stratigraphiques,
Sondages positifs 22, 23 et 24**

Légende:

-  Ah
-  Ae
-  B

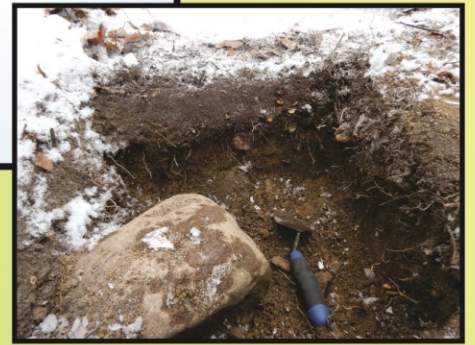
Sondage 22

Paroi nord



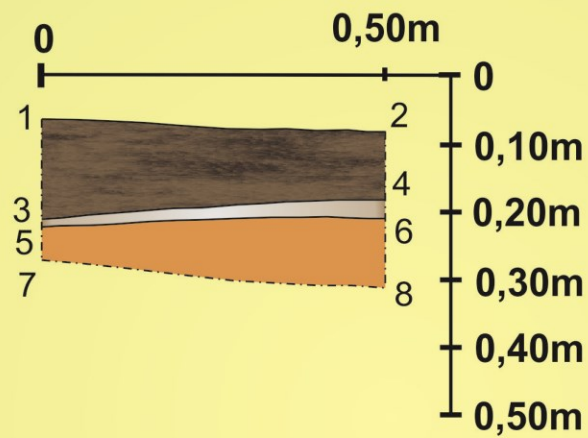
**Sondage 22,
élevations réelles NMM :**

- 1- 108,97
- 2- 109,01
- 3- 108,79
- 4- 108,87
- 5- 108,74
- 6- 108,75



Sondage 23

Paroi ouest



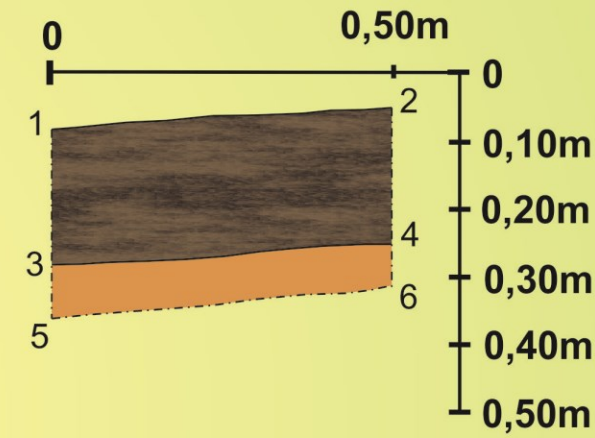
**Sondage 23,
élevations réelles NMM :**

- 1- 110,22
- 2- 110,07
- 3- 110,07
- 4- 110,10
- 5- 110,06
- 6- 110,07
- 7- 110,01
- 8- 109,97



Sondage 24

Paroi ouest



**Sondage 24,
élevations réelles NMM :**

- 1- 110,10
- 2- 110,13
- 3- 109,90
- 4- 109,93
- 5- 109,82
- 6- 109,86



Échelle:



Annexe 6 : Notes de terrain

① Polbeem

Matin avec neige pluvieuse

Débutons par l'inspection visuelle de la plage du secteur sud.

Beaucoup de matériel Recueil déchets cibétique plastique, verre, briques Feu recuits, pates, etc.

ZF1: Plage IV SSW 001
 Z20 Erosion talus NNE 002
 Z21 Plage IV NNE 003

photo: 246 25 01/12/15

② St-001(H) N 48° 53. 042'

Alt. 112m W 072° 13. 707'

+/- 3m PR: 1-2015

Profil: E 46cm profond. 0.68

③ 28/11/15

trou profond mais sec et crevaille -7°C.

La journée d'hier était très sporadique (pluie + neige tout le jour). La prise de notes fut impossible.

Concentration sur l'inventaire exclusivement 4 sondages positifs #7 + #3 + #9 et St-001

Le matériel mis au jour se situe principalement entre l'interstice Ah-Ac.

④ Deux matières premières principales

- Calcaire
- matière lithique avec 4 première use que des éclats de taille et outils.

* Les sondages à faire au trois mètres autour des sondages (A) sont implantés mais ne sont pas faits, qu'aujourd'hui.

* A noter que le #7 et le St-001 sont déjà à 3m de distance l'un de l'autre

⑤ Le PR est implanté aujourd'hui en bordure de la pente (W) à l'ouest du sondage #9

PRO1-2015 N 48° 53. 046'

Alt. 120m W 072° 13. 712'

+/- 0

N 48° 53. 041'

W 072° 13. 712'

⑥ Sondage positif autour du #9

St-003 3m de #10

⑦ Plan des sondages positifs et négatifs autour des #7 et #2

⑧ photo #222. objet dans horizon Ah. sondage #12 (N-NE)

#223: Sondage #12 niveau 005 Ac, (N)

#221: Sondage #12 niveau 006 Ac, coin NW de Rubefigios plan. (N)

* le Ac Rubefigios se retrouve à 12cm de la surface.

#225 #12 Ah. éclats (N)

#226 #12 Ah 20cm (N)

⑨ S-001 (-) Podes, Racines radicelles pierres

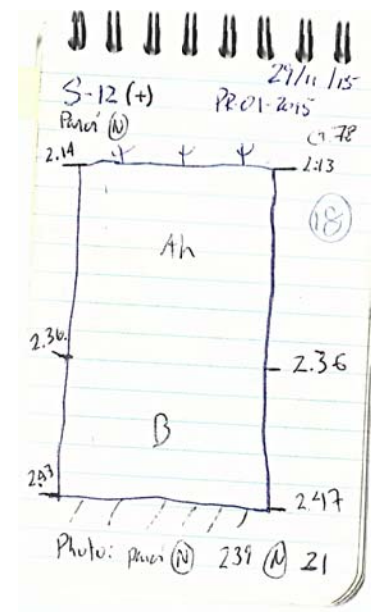
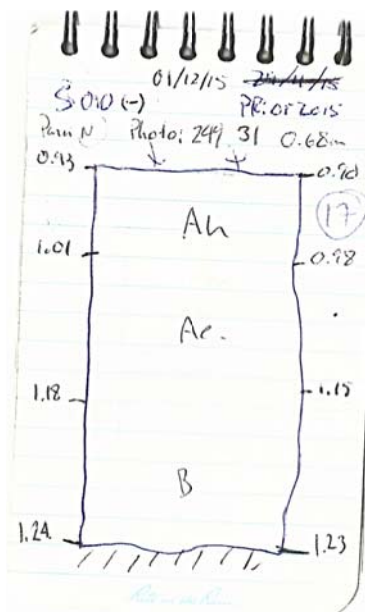
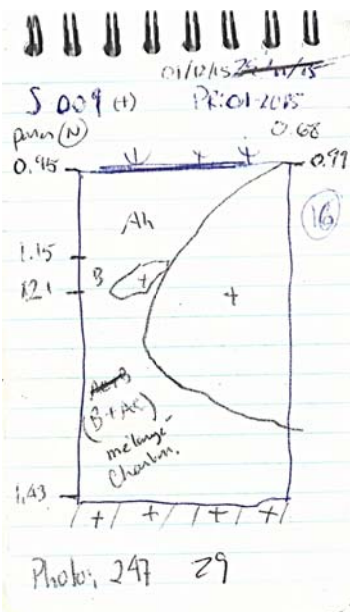
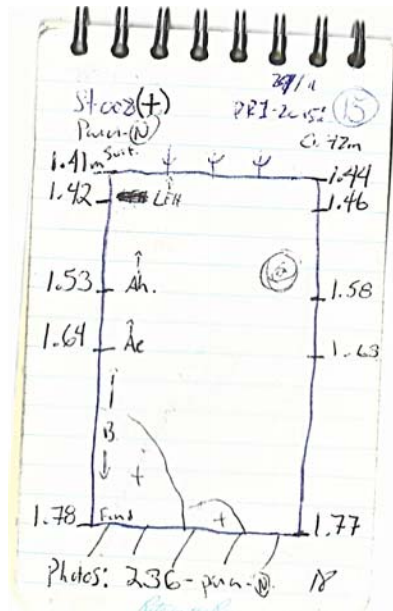
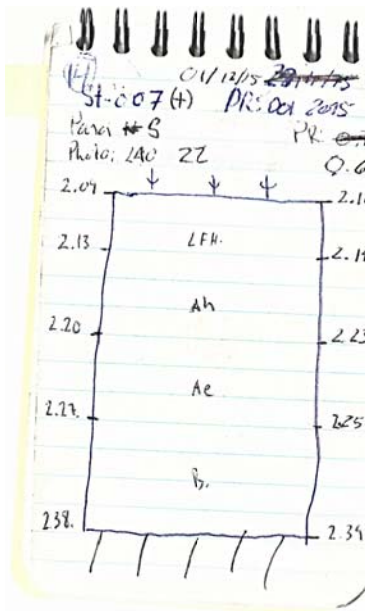
Photo #227: Sondage #12 pour (E) (E)

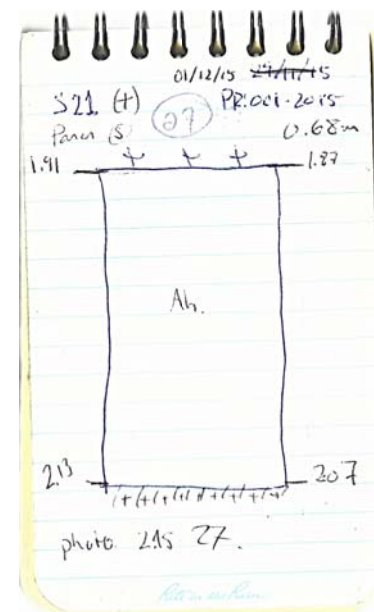
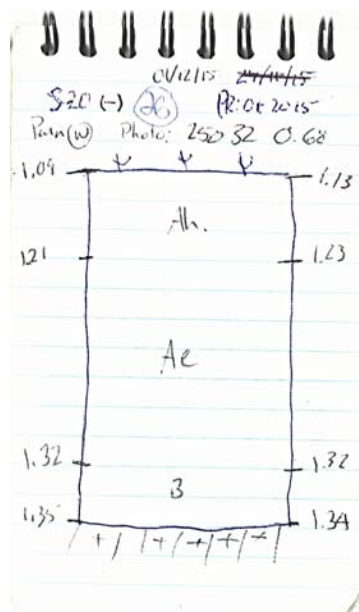
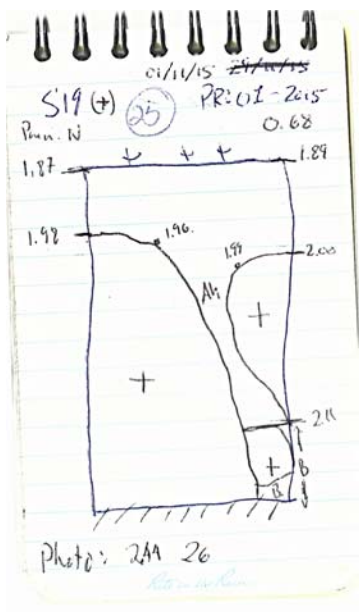
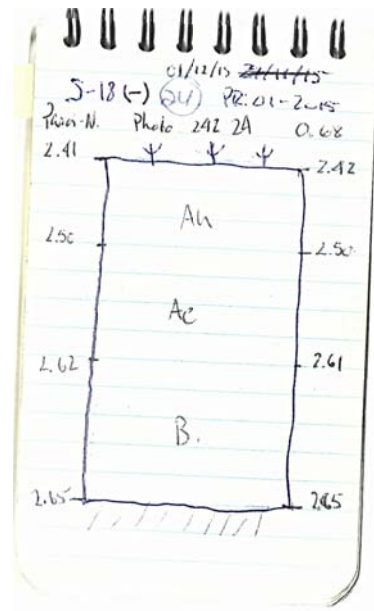
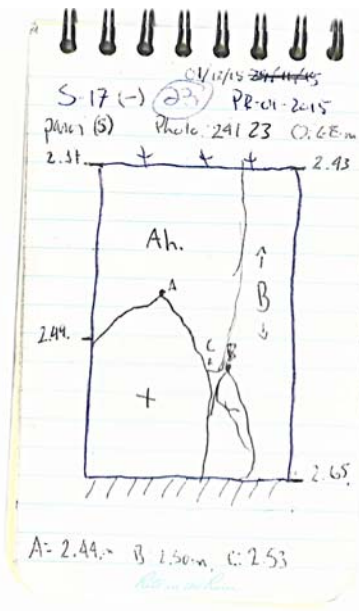
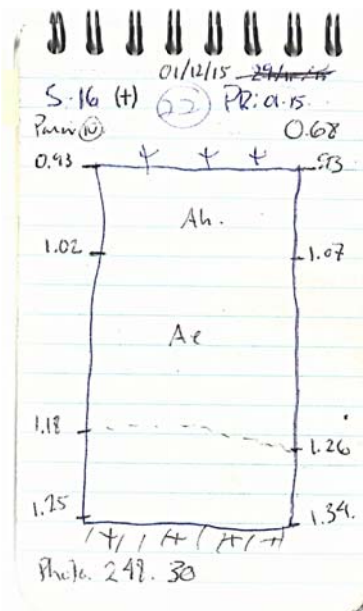
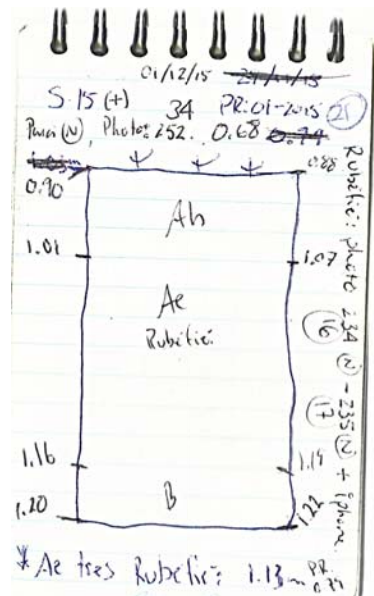
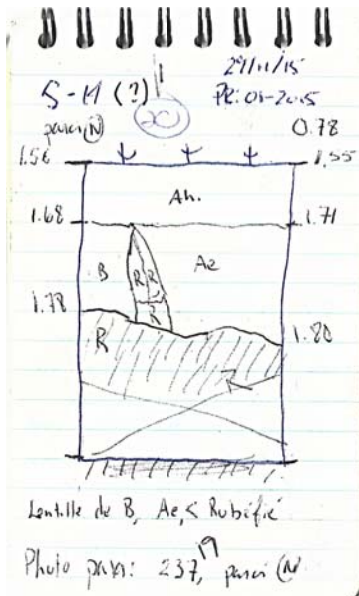
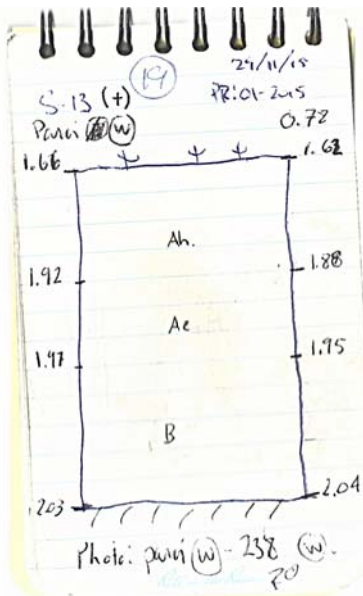
010
 # 227: Sondage #14 pierres, (10)
 # 229: Sondage #14 pierres, ZOOM (10)
 (10)
 Les pierres du sondage #14. peuvent p-t être en foyes, quelques pierres recuits, pierre 1: 15cm sur. Ah. pierre 2: 28cm prot. B Concentration: N: ≈ 20cm E: ≈ 26cm Z: ≈ 21cm.
 Le sondage #14 a quelques charbons.

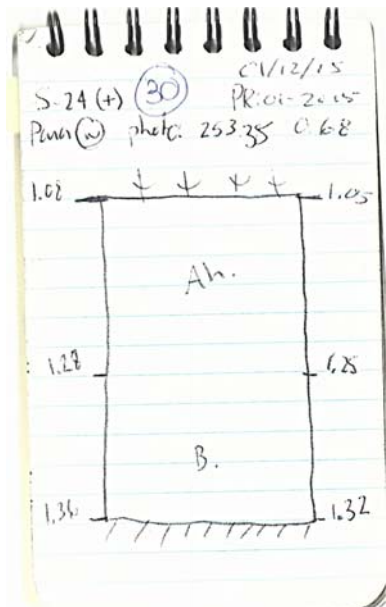
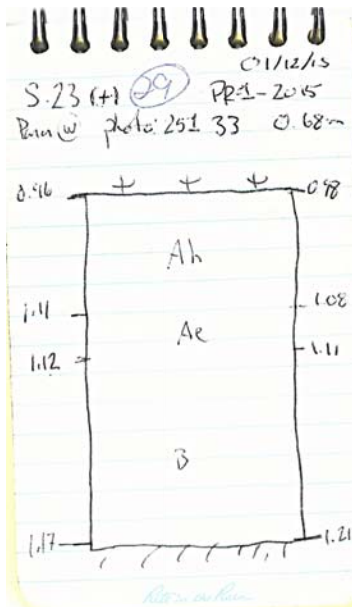
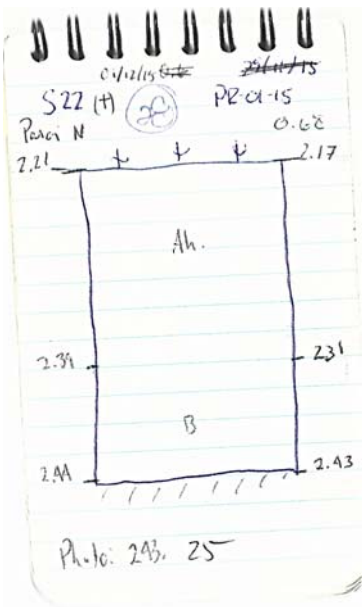
photo #12 (11)
 012
 # 230: Sondage #12 Ah+21 (N)
 # 231: " " Zoom (N)
 013
 * Le sondage #14 n'a livré que quelques fragments de charbon et quelques pierres rouges mais sans matière de foyes, ce matériau diagenétique comme a pu être en l'air les autres sondages autour. je le considère donc comme négatif, mais nous devrions lui accorder
 Attention

une attention particulière sur faille (12)
 Le sondage #16 (qui était un sondage de retour de l'un du sondage 11) donne positif.
 Le sondage #11 (négatif) donne et localiser, creusés de strati et réenterrés.

29/1/15 (15)
 Beau matin assez froid mais sec
 Journée de plans strati et de localisation des sondages







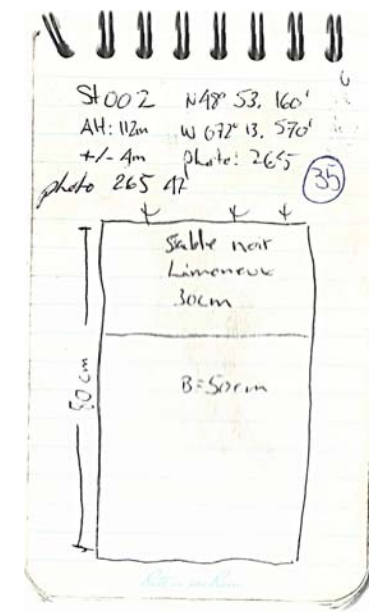
31 36
photo 254: Terrasse occupée, (N-NE)
37 255: " " (N)
38 256: Série de sondages
vécutives, au 3m (N-NE)
39 257: Sondage positif # 0019
vécutive, (N-NE)
40 258: Recensement de
sondages positifs sur
15 mètres, (N-NE)
259: Vue du secteur 0019
41 à inventaire de partie
du secteur sud, (N-NE)
260: Terrasse occupée sur
42 de la terrasse (N-NE)

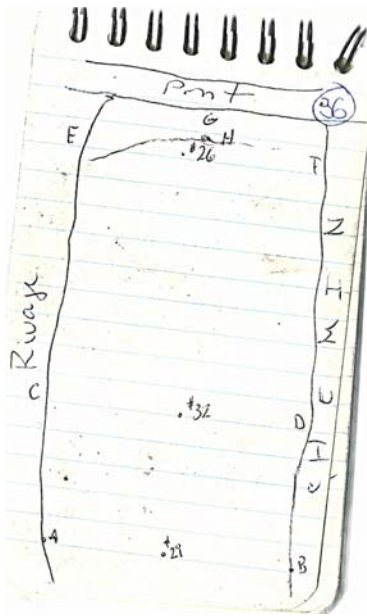
02/12/15
Dolbeau HQ 2015
terrasse (N-NE)
Matin chaud et quelque
peu pluvieux
Aujourd'hui nous nous
concentrons à l'ouest de
15 mètres la terrasse
Nord.
Un état a été mis
au jour dans le sondage
29.
29 -> état, gte, Ae.

Liste des sondages (+)
29 -> gte Ae
26 -> gte et al. Ae
32 -> gte et al. Ae.
37 -> gte -> ^{voix} (Remblai)
3A -> matériel, historique (Remblai?)
Bois - métal.
31 -> Calcaire (chaux)
4A -> FRG, métal, Ah, remblai.
45 -> Tuyau de métal Ah
+ 05 cément, FRG métal.
91 - 002: Matériel Historique
43 -> Chaux, matériel ferreux
52 -> métal.
55 -> Tête ferreux

154-08-0424
Dolbeau Restauration
Déplacement d'un pont.
Inventaire
à 7186 m²
nb sondage 57 (25 positifs)
27 novembre au 2 décembre
Résultats positif
01/05/1875.

43
Photo: 24, S 37, plan (C) (34)
4A 262: S 37, Stahl (C)
45 265: Bloc mal percé, plap (N)
46 264: Bloc mal percé, plap (N)
48 266: petite terrasse, S3-56 NW
49 267: Terrasse matériel histo.
W-SW
50 268: IDEM (N)
51 269: Terrasse, occupée, bien histo
Vue du rivage (W)
52 270: Terrasse, occupée, histo (N)
53 271: " " (NE)
54
272: Sondage (+) # 26 Remblai
terrasse occupée, histo
(W)





9.7

37

$A \rightarrow 1029 = 8m10$
 $A \rightarrow B = 24m70$
 $\#29 \rightarrow \#32 = 5m40$
 $\#32 \rightarrow \#26 = 10m40$
 $C \rightarrow \#32 = 7m10$
 $32 \rightarrow D = 12m$
 $E \rightarrow 26 = 8m$
 $26 \rightarrow F = 24m$
 $26 \rightarrow G = 37m10$
 $26 \rightarrow H = 15m$